



ใบรับรองวิทยานิพนธ์  
บัณฑิตวิทยาลัย มหาวิทยาลัยเกษตรศาสตร์

วิทยาศาสตร์มหานบันฑิต (พันธุ์วิศวกรรม)

ปริญญา

พันธุ์วิศวกรรม

โครงการสหวิทยาการระดับบัณฑิตศึกษา

สาขาวิชา

ภาควิชา

เรื่อง การโคลนและศึกษาการแสดงออกของยีนเลคตินจากกล้วยไม้สกุลสิงโต

Molecular Cloning and Expression of *Lectin* Genes from Bulbophyllum Orchids

นามผู้วิจัย นางสาวศิริกาญจน์ กอบเกียรติถวิล

ได้พิจารณาเห็นชอบโดย

อาจารย์ที่ปรึกษาวิทยานิพนธ์หลัก

( รองศาสตราจารย์พัฒนา ศรีฟ้า สุนเนอร์, Ph.D. )

ประธานสาขาวิชา

( ผู้ช่วยศาสตราจารย์ศิริวรรณ ปราพงษ์, Ph.D. )

บัณฑิตวิทยาลัย มหาวิทยาลัยเกษตรศาสตร์รับรองแล้ว

( รองศาสตราจารย์กัญญา ธีระกุล, D.Agr. )

คณะกรรมการ

วันที่ \_\_\_\_\_

เดือน \_\_\_\_\_

พ.ศ. \_\_\_\_\_

วิทยานิพนธ์

เรื่อง

การโคลนและศึกษาการแสดงออกของยีนเลคตินจากกล้วยไม้สกุลสิงโต

Molecular Cloning and Expression of *Lectin* Genes from Bulbophyllum Orchids

โดย

นางสาวศิริกาญจน์ กอบเกียรติวิล

เสนอ

บัณฑิตวิทยาลัย มหาวิทยาลัยเกษตรศาสตร์

เพื่อความสมบูรณ์แห่งปริญญาวิทยาศาสตร์มหาบัณฑิต (พันธุวิศวกรรม)

พ.ศ. 2554

สิงห์ นิติวิทยาลัยเกษตรศาสตร์

ศิริกาญจน์ กอบเกียรติคุวิล 2554: การโคลนและศึกษาการแสดงออกของยีนเลกตินจากกล้าวยไม้สกุลสิงโต ปริญญาวิทยาศาสตรมหาบัณฑิต (พันธุวิศวกรรม) สาขาวิชาพันธุวิศวกรรม โครงการสหวิทยาการระดับบัณฑิตศึกษา อาจารย์ที่ปรึกษาวิทยานิพนธ์หลัก: รองศาสตราจารย์พัฒนา ศรีฟ้า อุณเนอร์, Ph.D. 79 หน้า

สารโพลีแซคคาไรด์ในกล้าวยไม้เป็นปัญหาหลักต่อการสกัดกรดอนิวคลีอิก การศึกษาในครั้งนี้ได้พัฒนาเทคนิคการสกัดอาร์เอ็นเอจากกล้าวยไม้อ่อนย่างง่ายและมีประสิทธิภาพ โดยการใช้โซเดียมเพอริโอเดต ( $\text{NaIO}_4$ ) ในการกำจัดสารโพลีแซคคาไรด์ อาร์เอ็นเอที่แยกໄດ້ມีคุณภาพดีพอที่จะนำไปโคลนยืนได้ ดังนั้นการโคลนยีนเลกตินแบบครบสมบูรณ์จากกล้าวยไม้สิงโตร่วงข้าวจึงประสบความสำเร็จ ยืนที่โคลนได้มีขนาดความยาว 806 คู่เบส กำหนดลำดับกรดอะมิโนของสายโพลีเปปไทด์ที่มี 1 open reading frame (ORF) ขนาด 176 เรสซิติดิวส์ นอกจากนี้ยังได้โคลนยีนเลกตินบางส่วนจากปลาย 5' ในกล้าวยไม้สิงโตร่วงทอง และปลาย 3' จากกล้าวยไม้สิงโตสมอหิน ขนาด 245 และ 363 คู่เบส ตามลำดับ เมื่อนำมาลำดับกรดอะมิโนของโปรตีนเลกตินที่ได้จากกล้าวยไม้สิงโตร่วงข้าวกล้าวยไม้สิงโตร่วงทอง และกล้าวยไม้สิงโตสมอหิน มีความใกล้เคียงกับโปรตีนเลกตินของกล้าวยไม้ลูกผสมซึ่งบิเดียม ร้อยละ 62, 73 และ 74 ตามลำดับ จากการทำนายโครงสร้างติดภูมิของโปรตีนเลกตินในกล้าวยไม้สิงโตร่วงข้าวประกอบด้วย 3 domain ซึ่งมีโครงสร้างของโปรตีนเป็นแผ่นช้อนกันแบบ  $\beta$ -sheets ในแต่ละ domain เป็นบริเวณ mannose-binding site และจากการศึกษาการแสดงออกของยีนเลกตินในกล้าวยไม้สิงโตร่วงข้าว พบมากที่สุดในส่วนใบ เมื่อเปรียบเทียบกับอาร์เอ็นเอที่แยกจากลำลูกกล้าวย และราก ด้วยวิธี Real-Time Quantitative PCR

Sirikan Kobkeattawin 2011: Molecular Cloning and Expression of *Lectin* Genes from  
Bulbophyllum Orchids. Master of Science (Genetic Engineering), Major Field:  
Genetic Engineering, Interdisciplinary Graduate Program. Thesis Advisor:  
Associate Professor Pattana Srifah Huehne, Ph.D. 79 pages.

High concentration of polysaccharide in orchid was the main problem of nucleic acid extraction from orchid. In this study, a simple and efficiency protocol for high quality RNA extraction from orchid by adding sodium periodate ( $\text{NaIO}_4$ ) to eliminate polysaccharides was developed. Therefore, the full-length of *lectin* gene cloning from *Bulbophyllum morphologorum* Kraenzl. orchid was achieved. The obtained *lectin* gene isolated from *B. morphologorum* Kraenzl. was 806 base pair (bp) in length which encoded for 176 residues polypeptide of one open reading frame (ORF). In addition, the partial *lectin* genes of *B. orientale* Seidenf. and *B. blepharisters* Rchb.f. orchids were 245 bp at 5'-end and 363 bp at 3'-end were also cloned, respectively. However, the derived amino acids from *B. morphologorum* Kraenzl., *B. orientale* Seidenf. and *B. blepharisters* Rchb.f orchids showed 62%, 73% and 74% identity with *Cymbidium* hybrid, respectively. Furthermore, analysis of tertiary protein structure prediction demonstrated *B. morphologorum* lectin consisted of three  $\beta$ -sheets domains containing mannose-binding site. The expression of *lectin* gene was the most abundant in leaf when compared with pseudobulb and root of *B. morphologorum* Kraenzl. orchid determined by Real-Time Quantitative PCR.

---

Student's signature

---

Thesis Advisor's signature

## กิตติกรรมประกาศ

ข้าพเจ้าขอกราบขอบพระคุณ รองศาสตราจารย์พัฒนา ศรีฟ้า สุนเนอร์ ประธานกรรมการที่ปรึกษาวิทยานิพนธ์หลัก ที่ได้ช่วยในการวางแผนการวิจัย ให้กำปรึกษาแนะนำและชี้แนวทางการแก้ปัญหา ตลอดจนตรวจสอบแก้ไขข้อบกพร่องต่างๆ ในการทำวิทยานิพนธ์ฉบับนี้

ขอขอบพระคุณคณาจารย์ และเจ้าหน้าที่ภาควิชาพันธุศาสตร์ คณะวิทยาศาสตร์ และโครงการสหวิทยาการ สาขาวิชาพันธุวิศวกรรม และนักวิจัยของสถาบันวิจัยจุฬาภรณ์ ที่ให้ความช่วยเหลือและอำนวยความสะดวกในการทำวิทยานิพนธ์ครั้งนี้จนสำเร็จ

ขอขอบคุณสำนักงานโครงการทุนวิจัยมหาบัณฑิต (สกว.) ที่ให้ทุนการศึกษาสนับสนุนในการทำวิทยานิพนธ์ครั้งนี้

ขอขอบคุณเพื่อน พี่ น้อง ในภาควิชาพันธุศาสตร์และสาขาวิชาพันธุวิศวกรรม ที่เคยให้ความช่วยเหลือและเป็นกำลังใจในการทำวิทยานิพนธ์ครั้งนี้มาโดยตลอด

สุดท้ายนี้ขอกราบขอบพระคุณเป็นอย่างสูงสำหรับคุณพ่อ คุณแม่ และน้องสาว ทุกคนในครอบครัวที่ให้ความรัก ความเข้าใจและกำลังใจ ให้การสนับสนุนในการศึกษาตลอดมา

ศรีกาญจน์ กอบเกียรติถวิล

พฤษภาคม 2554

(1)

## สารบัญ

หน้า

สารบัญ	(1)
สารบัญตาราง	(2)
สารบัญภาพ	(3)
คำนำ	1
วัตถุประสงค์	2
การตรวจเอกสาร	3
อุปกรณ์และวิธีการ	14
ผลและวิจารณ์	25
สรุป	59
เอกสารและสิ่งอ้างอิง	60
ภาคผนวก	69
ประวัติการศึกษาและการทำงาน	79

## สารบัญตาราง

ตารางที่	หน้า
1 ไพรเมอร์ตำแหน่งกลางยีน, ปลาย 5' และไพรเมอร์เพื่อใช้ในการตรวจสอบการแสวงออกของยีน <i>lectin</i>	26
2 คุณภาพอาร์เอ็นเอ, ตัวอย่างพืชในแต่ละส่วนและวิธีสกัดอาร์เอ็นเอ	29
3 ตำแหน่งตัดด้วยเอนไซม์ตัดจำเพาะที่สำคัญบนยีน <i>lectin</i> ของกล้วยไม้สิงโตสมอหิน สิงโตรวมทอง และสิงโตรวมข้าว	43
4 ผลการเปรียบเทียบเบอร์เซ็นต์ความเหมือนของกรดอะมิโนองค์ประกอบของยีน <i>lectin</i> ของกล้วยไม้สิงโตสมอหิน ( <i>Bulbophyllum blepharisters</i> Rchb.f.) กับพืชชนิดอื่น	45
5 ผลการเปรียบเทียบเบอร์เซ็นต์ความเหมือนของกรดอะมิโนองค์ประกอบของยีน <i>lectin</i> ของกล้วยไม้สิงโตรวมทอง ( <i>Bulbophyllum orientale</i> Seidenf.) กับพืชชนิดอื่น	46
6 ผลการเปรียบเทียบเบอร์เซ็นต์ความเหมือนของกรดอะมิโนองค์ประกอบของยีน <i>lectin</i> ของกล้วยไม้สิงโตรวมข้าว ( <i>Bulbophyllum morphologorum</i> Kraenzl.) กับพืชชนิดอื่น	48
7 เปรียบเทียบความเหมือนและแตกต่างของลำดับอะมิโนในกล้วยไม้ทั้ง 3 ชนิด	56

## ตารางผนวกที่

1 ค่า expression ratio ที่ได้จากการทำ qPCR โดยคำนวณค่าตามวิธีการของ Livak and Schmittgen (2001)	77
2 ค่า expression ratio ที่ได้จากการทำ qPCR	78

## สารบัญภาพ

ภาพที่	หน้า
1 เกลอิเล็กโทรไฟรีซึ่งของสารสักด้อาร์เอ็นเอด้วยวิธี LiCl ที่เติม Sodium periodate และวิธี Hot phenol ในส่วนลำลูกกล้ำย	29
2 การสังเคราะห์ส่วนของยีน lectin ปลาย 3' ของกล้ำยไม่สิงトイسمอหินด้วยวิธีพีซีอาร์	31
3 การสังเคราะห์ส่วนของยีน lectin ปลาย 3' ของกล้ำยไม่สิงトイร่วงข้าว ด้วยวิธีพีซีอาร์	31
4 การสังเคราะห์ส่วนของยีน lectin ปลาย 5' ของกล้ำยไม่สิงトイร่วงทอง ด้วยวิธีพีซีอาร์	33
5 การสังเคราะห์ส่วนของยีน lectin ปลาย 5' ของกล้ำยไม่สิงトイร่วงข้าว ด้วยวิธีพีซีอาร์	33
6 การสังเคราะห์ส่วนของยีน lectin เติมยีน ของกล้ำยไม่สิงトイร่วงข้าว ด้วยวิธีพีซีอาร์	34
7 การตรวจสอบพลาสมิดที่ได้รับชิ้นดีเอ็นเอปลาย 3' ยีน lectin ของสิงトイสมอหิน	36
8 การตรวจสอบพลาสมิดที่ได้รับชิ้นดีเอ็นเอปลาย 5' ยีน lectin ของสิงトイร่วงทอง	37
9 การตรวจสอบพลาสมิดที่ได้รับชิ้นดีเอ็นเอปลาย 3' และปลาย 5' ยีน lectin ของสิงトイร่วงข้าว	38
10 การตรวจสอบพลาสมิดที่ได้รับชิ้นดีเอ็นเอยีน lectin เติมยีนของกล้ำยไม่สิงトイร่วงข้าว	39
11 ลำดับนิวคลีโอไทด์ของยีน lectin ที่ได้จากการกล้ำยไม่สิงトイสมอหิน	40
12 ลำดับนิวคลีโอไทด์ของยีน lectin ที่ได้จากการกล้ำยไม่สิงトイร่วงทอง	41
13 ลำดับนิวคลีโอไทด์ของยีน lectin ที่ได้จากการกล้ำยไม่สิงトイร่วงข้าว	42
14 แผนภาพตำแหน่งตัดของเอนไซม์ตัดจำเพาะของยีน lectin จากกล้ำยไม่สิงトイสมอหินกล้ำยไม่สิงトイร่วงทอง และกล้ำยไม่สิงトイร่วงข้าว	44
15 Phylogenetic tree แสดงระดับความสัมพันธ์ของลำดับกรดอะมิโนองค์ประกอบระหว่างโปรตีน Lectin ในกล้ำยไม่สิงトイร่วงข้าวกับพืชชนิดอื่น	49
16 การวิเคราะห์ตำแหน่ง mannose binding lectin domain ในกล้ำยไม่สิงトイร่วงข้าว	50
17 แสดงโครงสร้างตดิภูมิ ของโปรตีน lectin จากกล้ำยไม่สิงトイร่วงข้าว ซึ่งประกอบไปด้วย 3 domain	52
18 แสดงโครงสร้างแบบ $\beta$ -sheet ในแต่ละ domain	53
19 โครงสร้างตดิภูมิของโปรตีน mannose-binding lectin จากกล้ำยไม่สิงトイร่วงข้าว Gastrodia elata เปรียบเทียบโครงสร้างของโปรตีน lectin จากกล้ำยไม่สิงトイร่วงข้าว	53

## สารบัญภาพ (ต่อ)

ภาพที่	หน้า
20 การเปรียบเทียบโปรตีน lectin จากกล้วยไม้สิงโตตรวจข้าว กับรายงานโครงสร้างตัดขึ้นในฐานข้อมูล ด้วยโปรแกรม SWISS-MODEL	54
21 เปรียบเทียบลำดับกรดอะมิโนของ Lectin ที่แยกจากกล้วยไม้สกุลสิงโต 3 ชนิด	55
22 ระดับการแสดงออกของยีน lectin ในเนื้อเยื่อ ใน ลำลูกกล้วย และราก ของกล้วยไม้สิงโตตรวจข้าว ตรวจสอบด้วยวิธี qPCR	57
23 ปริมาณคีอีนของยีน lectin ที่สังเคราะห์ จากเนื้อเยื่อส่วนต่างๆ ของกล้วยไม้สิงโตตรวจข้าว ด้วยวิธี qPCR ได้แก่ ใน ลำลูกกล้วย และราก และใช้ 5.8S rRNA เป็นมาตรฐาน (control) เปรียบเทียบ	57
ภาพผนวกที่	
1 การแสดงโครงสร้างของเลกตินตามโครงสร้างในธรรมชาติ	70
2 สิงโตสมอพิน ( <i>Bulbophyllum blepharistes</i> Rchb.f.)	71
3 สิงโตตรวจข้าว ( <i>Bulbophyllum morphologorum</i> Kraenzl.)	71
4 สิงโตตรวจทอง ( <i>Bulbophyllum orientale</i> Seidenf.)	72
5 แผนที่ยีนของพลาสมิด pGEM®-T Easy	73
6 multiple alignment ของยีน lectin และส่วนอนุรักษ์ในการออกแบบไพรเมอร์ปลาย 3'	74
7 multiple alignment ของยีน lectin และส่วนอนุรักษ์ในการออกแบบไพรเมอร์ปลาย 5' และไพรเมอร์สำหรับตรวจสอบการแสดงออก	75
8 ข้อมูลคิบที่ได้จากการทำ qPCR	76

# การโคลนและศึกษาการแสดงออกของยีนเลคตินจากกล้วยไม้สกุลสิงโต

## Molecular Cloning and Expression of *Lectin* Genes from *Bulbophyllum* Orchids

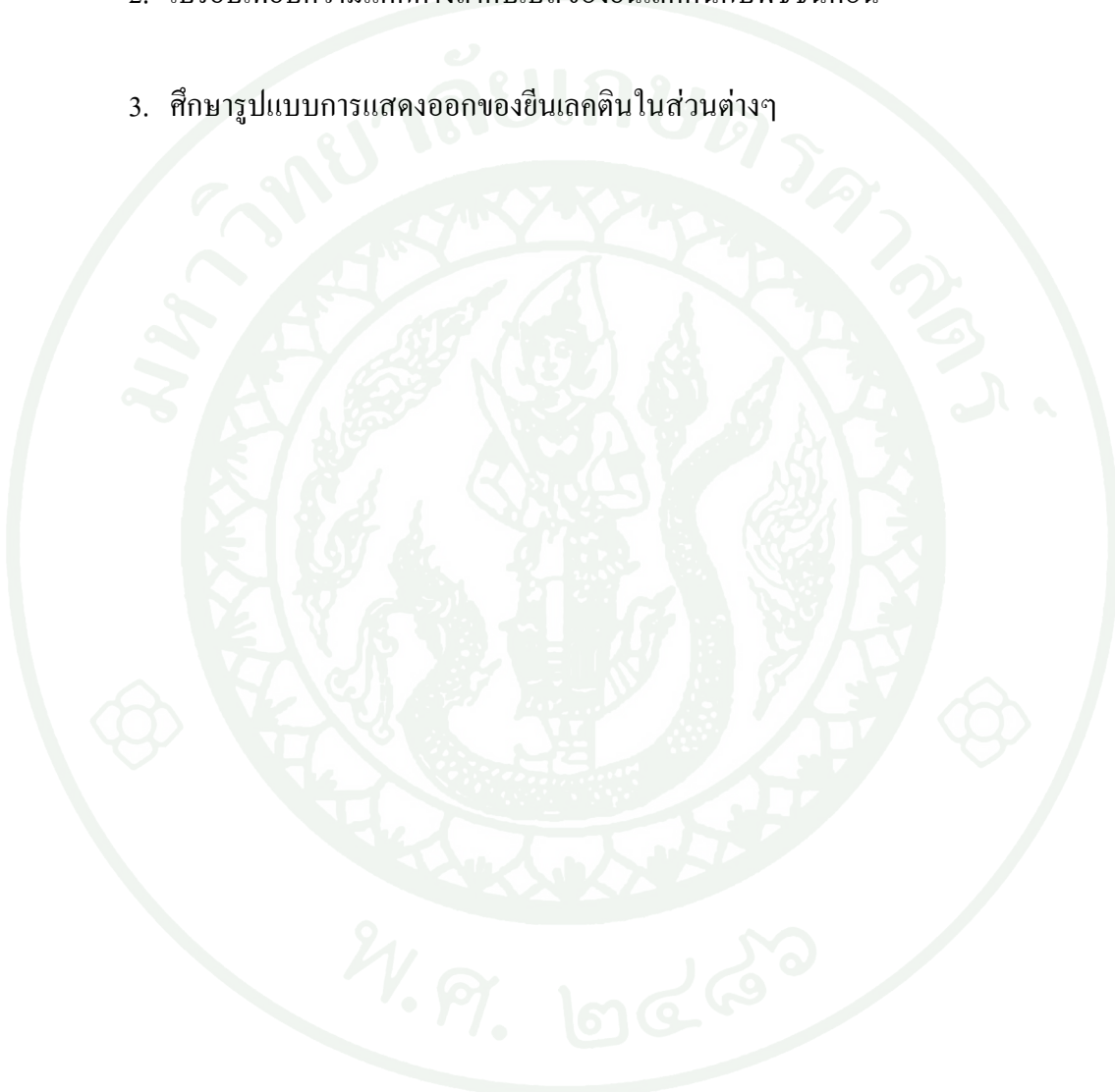
### คำนำ

เลคติน (lectin) เป็นกลุ่มโปรตีนหรือไกลโคโปรตีน ที่มีความสามารถในการจับกับโปรไอกเรตได้อ่าย่างจำเพาะ ไม่เกี่ยวข้องกับระบบภูมิคุ้มกัน, เอนไซม์ และฮอร์โมน มีผลทำให้เซลล์死去 หรือทำให้โนมเลกุลที่มีการโปรไอกเรตเป็นองค์ประกอบตกตะกอนได้ โดยเลคตินจับกับการโปรไอกเรตบริเวณผิวน้ำของเซลล์ ซึ่งพบได้ทั่วไปในสั่งมีชีวิต เช่น ไวรัส, ผนังเซลล์และไซโทพลาสซึมของแบคทีเรีย, เชื้อรา, บิสต์, โปรตอซัว, สตว์และพืช เลคตินที่แยกจากพืชมีบทบาทสำคัญอย่างประการ ได้แก่ เป็นโปรตีนสะสมในเมล็ด ช่วยในการขนส่งน้ำตาล การมีปฏิสัมพันธ์ระหว่างเซลล์ และควบคุมการแบ่งเซลล์ นอกจากนี้เลคตินยังทำหน้าที่เป็นโนมเลกุลป้องกันการเข้าทำลายของจุลินทรีย์ และไวรัสได้ เช่น เลคตินที่จับกับน้ำตาลmannoseแยกได้จากฟืชในเลี้ยงเดี่ยวพากลิลี'และกล้วยไม้ ทำหน้าที่ต้านทาน retrovirus ของมนุษย์ได้ (Wood *et al.*, 1999) นอกจากนี้ยังมีการศึกษาเลคตินในพืชเกี่ยวกับการจับกับการโปรไอกเรตบริเวณผิวเซลล์ที่เจริญพิດปกติและนำเข้าสู่กระบวนการ apoptosis ของเซลล์ ซึ่งอาจจะเป็นวิธีหนึ่งที่จะสามารถนำมาประยุกต์ใช้ในการรักษาโรคมะเร็งต่อไปในอนาคตได้ (Liu *et al.*, 2010)

เนื่องจากในประเทศไทยยังไม่มีข้อมูลในการศึกษาโปรตีนเลคตินในกล้วยไม้สกุลสิงโต (*Bulbophyllum* sp.) ซึ่งกล้วยไม้สกุลสิงโตบางชนิดจัดเป็นพืชสมุนไพร การทดลองในครั้งนี้จึงมุ่งเน้นการโคลนยีนเลคตินจากกล้วยไม้สกุลสิงโต ข้อมูลและยีนที่โคลนได้จากการทดลองครั้งนี้จะเป็นข้อมูลทางพันธุกรรมเบื้องต้น เพื่อนำไปสร้างโปรตีนเลคตินและศึกษาคุณสมบัติในการต้านทานโรคของเลคติน และการนำไปใช้ในการปรับปรุงพันธุ์พืชให้มีการสร้างเลคตินที่มีประโยชน์ต่อมนุษย์ในที่สุด

## วัตถุประสงค์

- เพื่อศึกษาและโคลนยืนเลคตินจากกล้าวยไม้ที่ใช้เป็นสมุนไพรในสกุลสิงโต
- เปรียบเทียบความแตกต่างลำดับเบสของยืนเลคตินกับพืชชนิดอื่น
- ศึกษารูปแบบการแสดงออกของยืนเลคตินในส่วนต่างๆ



## การตรวจเอกสาร

### 1. เลคติน

#### 1.1 การศึกษาเลคติน

เลคตินมีการศึกษาริ้งแรกโดย Peter Hermann Stillmark ในปี ค.ศ. 1888 ซึ่งในขณะนั้นกำลังศึกษาระดับปริญญาเอก ที่มหาวิทยาลัย Dorpat ซึ่งเป็นมหาวิทยาลัยเก่าแก่แห่งหนึ่งในเมือง czarist ประเทศ รัสเซีย จากการแยกสารพิษจากเมล็ดคละหุ่ง (*Ricinus communis*) ซึ่งเป็นพืชในวงศ์ Euphorbiaceae จึงได้ตั้งชื่อว่า ริซิน (Ricin) (Sharon and Lis, 2004) Stillmark พบว่าเลคตินที่สกัดจากเมล็ดคละหุ่งสามารถทำให้เซลล์เม็ดเลือดแดงของกระต่าย ม้า สุนัข และแมว เกาะกลุ่มกันได้ (Rüdiger and Gabius, 2001) ต่อมา H. Hellin ซึ่งศึกษาอยู่มหาวิทยาลัยแห่งเดียวกันได้ทดลองให้เห็นว่า เลคตินที่ศึกษาจากอะบราวน (Abrin) ซึ่งแยกได้จาก Jequirity bean (*Abrus precatorius*) สามารถทำให้เซลล์เม็ดเลือดแดงเกาะกลุ่มได้เช่นเดียวกัน (Sharon and Lis, 2004) นอกจากนี้ยังพบว่าเลคตินสามารถทำให้เซลล์ชนิดอื่นๆ จับกลุ่มกันได้อีกด้วย เช่น เซลล์ไฟbroblast (fibroblast), เซลล์ลิมโฟไซท์ (lymphocyte), เซลล์เนื้องอก (tumor cell) และจุลินทรีย์ต่างๆ เป็นต้น ลักษณะการจับของเลคตินกับน้ำตาลเกิดขึ้นแบบหลวมๆ (glycoconjugate) โดยเลกตินสามารถแยกออกจากกันได้ (Sharon, 1977; Barondes, 1988)

เลคติน เป็นคำที่มาจากภาษาลาติน คือ “Legere” หมายถึง เลือก (to select) (Peumans and Van Damme, 1995) ซึ่งจากการศึกษาเลคตินครั้งแรกในพืช จึงเรียกโปรตีนดังกล่าวว่า “ไฟโต อีมแอกกลูตินิน” (phytohemagglutinin) หรือ “ฮีมแอกกลูตินิน” (hemagglutinin) ต่อมาได้มีการพบ เลคตินทั้งใน สัตว์, แบคทีเรีย, ไวรัส และรา จึงเรียกโปรตีนดังกล่าวว่า “Agglutinin” (Kocourek, 1986) ความหมายของเลคติน จึงถูกขยายเป็นโปรตีนที่ได้จากพืช สัตว์ หรือจุลินทรีย์ อาจจะอยู่ในรูปของสารละลาย หรือส่วนประกอบของเมมเบรน (membrane) มีความสามารถจับจำเพาะกับน้ำตาลและทำให้เซลล์เกาะกลุ่มได้ (Sharon and Lis, 1972) ซึ่ง Peumans and Van Damme (1995) ได้นิยามความหมายของเลคติน ไว้ว่าคือ โปรตีนที่จับกับคาร์โบไฮเดรตได้อย่างจำเพาะและสามารถทำให้เซลล์เกาะกลุ่ม (agglutinate) ซึ่งไม่เกี่ยวข้องกับระบบภูมิคุ้มกัน และไม่ได้เป็นเอนไซม์ หรือ ออร์โนน เนื่องจากการศึกษาเลคตินมีมาตั้งแต่ปี ค.ศ. 1888 จนถึงปัจจุบัน ความรู้เกี่ยวกับเลคตินเพิ่มมากขึ้น ดังนั้นคณะกรรมการตั้งขึ้นของ International Union of Biochemistry ยอมรับคำจำกัด

ความของเลคตินซึ่งเสนอโดย Goldstien *et al.* (1980) ว่า เลคติน หมายถึง โปรตีนหรือไกลโค โปรตีนที่ไม่ได้มาจากระบบภูมิคุ้มกันซึ่งจับกับคาร์โบไฮเดรต (carbohydrate binding protein) และสามารถทำให้เซลล์死去หรือทำให้สารประกอบการ์โบไฮเดรตตกตะกอนได้

เลคตินที่พบในธรรมชาติประกอบด้วย โปรตีนหนึ่งหน่วย หรือมากกว่าหนึ่งหน่วย Peumans and Van Damme (1995) ได้จัดแบ่งชนิดเลคตินออกเป็น 3 กลุ่ม (ภาพผนวกรที่ 1) คือ Merolectins, Hololectin และ Chimerolectins ซึ่ง Merolectins เป็นโปรตีนที่จับกับการ์โบไฮเดรต 1 ตำแหน่ง ซึ่งไม่สามารถทำให้เกิดการตกตะกอนของเซลล์ได้ เช่น ในพืช hevein และในกล้วยไม้ บางชนิด Hololectins เป็นโปรตีนที่จับกับการ์โบไฮเดรต 2 ตำแหน่ง หรือมากกว่า 2 ตำแหน่ง สามารถทำให้เกิดการตกตะกอนของเซลล์ได้ ซึ่งในพืชส่วนใหญ่จะเป็นชนิด Hololectins และชนิด Chimerolectins จะมีส่วน fusion proteins ซึ่งเป็นตำแหน่ง domain ของ carbohydrate-binding domain เลคตินชนิดนี้จะคล้ายกับใน Merolectins และ Hololectins ซึ่งบีบอุ้ยกับการ์โบไฮเดรตที่มาจับ เช่น Type 2-RIPs ที่มีบริเวณจับกับการ์โบไฮเดรต 2 ตำแหน่งในบริเวณ B-chain (เช่น ริชิน) สามารถตกตะกอนเซลล์ได้ ในขณะที่ Chimerolectins ชนิด CLASS I-chitinases เป็นโปรตีนที่จับ กับการ์โบไฮเดรต 1 ตำแหน่ง และไม่สามารถตกตะกอนเซลล์ได้ เช่นเดียวกับใน Merolectins แต่จาก การศึกษาของ สุภากรณ์ (2553) ที่กล่าวว่าขั้นตอนการศึกษาชนิดของเลคตินใน Peumans and Van Damme (1995) และ Van Damme *et al.* (1998) ได้แบ่งชนิดเลคติน ออกเป็น 4 กลุ่ม ที่เพิ่มขึ้นมาในกลุ่มที่ 4 คือ Superlectins เป็น Chimerolectins ชนิดพิเศษที่มีการสร้าง fusion proteins ต่อจากบริเวณจับกับ การ์โบไฮเดรต (carbohydrate-binding domain) ทำให้โครงสร้าง โปรตีนเปลี่ยนและจัดโครงสร้าง ที่ไม่เกี่ยวกับน้ำตาล เช่น tulip lectin เป็นเลคตินที่พบในหัวทิวลิป

ซึ่งจากการแบ่งชนิดเลคตินเป็นกลุ่มนี้ Peumans และ Van Damme (1995) ได้ให้คำ นิยาม เลคติน ไว้ว่า เป็นโปรตีนที่สามารถจับกับการ์โบไฮเดรต หนึ่งตำแหน่งหรือมากกว่าหนึ่ง ตำแหน่งอย่างจำเพาะ

## 1.2 การศึกษาพืชเลคตินในประเทศไทย

มีการศึกษาคุณสมบัติเลคตินมากมาย เพื่อนำไปใช้ประโยชน์ในด้านต่างๆ จันทนา และคณะ (2546) ได้ศึกษาสมบัติของ cDNA ที่เป็นรหัสของ เลคตินในใบหม่อน โดย แยกเลคตินจากใบหม่อนน้อยให้บริสุทธิ์และนำไปทำการคัดมิโนทางปลายเอ็น ลำดับกรดอะมิโน ทางปลายเอ็นมีเปอร์เซ็นต์ความเหมือนกับเลคตินที่มีความจำเพาะกับน้ำตาลกาแลค โทสจาก *Morus*

*nigra* และเลคตินจาก *Maclura pomifera* สูงถึง 85 และ 80 เปอร์เซ็นต์ตามลำดับ ขนาดชิ้นดีอีนเอของยีนเลคติน MLL1 จากใบหม่อนน้อยที่ได้มีความยาว 353 คู่เบส มีเปอร์เซ็นต์ความเหมือนของลำดับนิวคลีโอไทด์เป็น 93, 81 และ 64 เมื่อเปรียบเทียบกับ *Morus nigra* galactose-binding lectin jacalin และ *Morus nigra* mannose-binding lectin ตามลำดับ จากลำดับนิวคลีโอไทด์ของยีนเลคตินบางส่วนนี้ยังสามารถใช้ประโยชน์ในการหาลำดับนิวคลีโอไทด์ลดลงของเลคตินจากใบหม่อนในเซลล์แบปคทีเรียและเซลล์เมล็ด พบร่วมกับ *Morus rotundifolia* Koidz.) สามารถจับกับกรดเชียลิกได้ โดยทั่วไปจะพบกรดเชียลิกเป็นน้ำตาลที่อยู่บนผิวเซลล์ของแบปคทีเรียก่อโรคบางชนิดและเซลล์มะเร็ง งานวิจัยนี้สนใจที่จะผลิตโปรตีน MLL1 ในปริมาณมาก และทำให้เลคตินนี้มีความจำเพาะต่อกรดเชียลิกเพิ่มมากขึ้น จึงโคลนยีนของ MLL1 เพื่อทำให้โปรตีนสามารถแสดงออกปริมาณมากในเซลล์แบปคทีเรียและเซลล์เมล็ด และได้ศึกษาการจับกันระหว่างเลคตินและกรดเชียลิก (Neu5Gc) ด้วยคอมพิวเตอร์ ซึ่งความรู้ที่ได้นี้สามารถนำไปปรับปรุงเลคตินเพื่อให้ได้โปรตีนที่มีประโยชน์ในการแพทย์ต่อไป

นอกจากนี้ได้มีการศึกษาเลคตินโดยการทำบริสุทธิ์และศึกษาคุณลักษณะโดยตรง สักดิ์ (2546) ได้ศึกษาเลคตินชนิดไม่ละลายน้ำจากถั่วฝักยาว และเรียกชื่อเลคตินชนิดนี้ว่า *Vigna susquipedalis* agglutinin (VSA) โดยได้ทำการสกัดและทำบริสุทธิ์ VSA ด้วยวิธีสกัดโปรตีโอลิปิดจากถั่วฝักยาวอบแห้ง เมื่อศึกษาสมบัติของ VSA พบร่วมกับหนีบวนาการเกาเกลุ่มเม็ดเลือดแดงของกระต่ายได้เท่ากับหนู แต่ไม่สามารถเหนี่ยวนำการเกาเกลุ่มเม็ดเลือดแดงของคน (A, B, AB, O) และพบว่าแอกติวิตี้ของ VSA ไม่สามารถยับยั้งด้วยน้ำตาลโมเลกุลเดียวได้ นอกจากนี้ VSA สามารถเหนี่ยวนำการเกาเกลุ่มของอนุภาคยางจากต้นยางพารา รวมทั้งจากพืชสร้างน้ำยางชนิดอื่นๆ ได้ เช่นเดียวกับปฐม (2543) ได้ศึกษาการประยุกต์ใช้เลคตินจากเมล็ดจำปาตะ (Artocarpus integer seeds) นำไปทำบริสุทธิ์ พบร่วมกับบริสุทธิ์มีแอกติวิตี้ของการเกาเกลุ่มเม็ดเลือดแดงกระต่ายสูง และยังสามารถทำให้ตัวอสุจิหนูที่ยังไม่เจริญพันธุ์เกิดการเกาเกลุ่มได้ดีกว่าตัวอสุจิหนูที่เจริญพันธุ์ และอุบล (2541) ได้ศึกษาการวิเคราะห์สมบัติทางชีวเคมีของเลคตินจากเมล็ดจำปาตะ เช่นเดียวกับสารสกัดเลคตินที่ได้มีแอกติวิตี้ของการเกาเกลุ่มเม็ดเลือดแดงกระต่ายสูงสุด และจากการนำไปทำบริสุทธิ์สามารถทำให้มีค่าเดื่องของคนหมู่ A, B, O และ AB เก้าเกลุ่มได้เท่ากัน และสามารถทำให้มีค่าเดื่องของหนู แกะ และหมูเกิดการเกาเกลุ่ม แต่ไม่สามารถทำให้มีค่าเดื่องของแพะเกาเกลุ่ม นอกจากนี้ยังพบว่าเลคตินบริสุทธิ์สามารถทำปฏิกิริยาตกต่องกับ IgA ของคน แต่ไม่ทำปฏิกิริยากับ IgG ของคนและโภวินชีรัมอัลบูมินใน gel double diffusion และยังมีการศึกษาของไฟฟ์ทูร์ (2536) ที่ศึกษาการทำบริสุทธิ์และคุณสมบัติของเลคตินจากเมล็ดเหรียง ผลการทดลอง

พบว่าสารสกัดเลคตินที่ได้จะมีความว่องไว จำเพาะสูงสุดในการจับกลุ่มเม็ดเลือดแดงกระต่ายสามารถทำให้มีเม็ดเลือดแดงกระต่ายจับกลุ่มดีที่สุด (251.10 หน่วย/mg. โปรตีน) รองลงมา ได้แก่ เม็ดเลือดแดงของหนูขาว (3.92 หน่วย/mg. โปรตีน) แต่ไม่ทำให้มีเม็ดเลือดแดงของคน แกะ หรือห่าน เกิดการจับกลุ่ม เช่นเดียวกับการศึกษาของสุปรีดี (2534) ที่ได้ศึกษาเลคตินจากยางพารา โดยการทำบริสุทธิ์เลคตินจากเปลือกไม้ และน้ำยางพารา พบว่า เลคตินจากยางพาราสามารถเห็นยาน้ำการเกะกลุ่มของเม็ดเลือดแดงของหนู, คน, แพะ, แกะ และกระต่าย ความสามารถในการเห็นยาน้ำการเกะกลุ่มของเม็ดเลือดแดงต้องอาศัย  $\text{Ca}^{2+}$ ,  $\text{Ba}^{2+}$  หรือ  $\text{Sr}^{2+}$  และพบว่าเลคตินเสถียรต่ออุณหภูมิสูง นำตาลที่จำเพาะต่อเลคตินสูง คือ กรดไฮอาลิค และอนุพันธ์ของกรดไฮอาลิค คือสามารถยับยั้งการเกะกลุ่มของเม็ดเลือดแดงได้ 100% ที่ความเข้มข้น 6.25 และ 0.625 mM ตามลำดับ ซึ่งเพียงสุข (2538) ศึกษาแตกต่างของมาโดยศึกษาการกระตุนการแบ่งตัวของเซลล์ลิมไฟไซต์ พบร่วมกับเลคตินบริสุทธิ์จากสัตว์สามารถกระตุนการแบ่งตัวของเซลล์ลิมไฟไซต์จากคนปกติและผู้ป่วยโรคมะเร็ง หลอดอาหาร ได้ ผลการศึกษายังพบว่าสารเลคตินบริสุทธิ์ที่สกัดได้มีความสามารถในการทำให้มีเม็ดเลือดแดงของหนู (Wistar rat) เกาะกลุ่มได้ 320 หน่วยต่อมิลลิกรัม โปรตีน เลคตินบริสุทธิ์จากสัตว์ที่ความเข้มข้น 10-80  $\mu\text{g}/\text{ml}$  สามารถกระตุนการแบ่งตัวของเซลล์ลิมไฟไซต์จากคนปกติและผู้ป่วยมะเร็งหลอดอาหาร โดยตรวจวัดอัตราการแบ่งตัวของเซลล์ (Proliferation index = PI) มีค่า PI  $> 3$  ได้  $= 57.1$  (8/14 ราย) และ  $62.5$  (5/8 ราย) เปอร์เซ็นต์มีค่า PI สูงสุดตั้งแต่  $3.0-8.8$  เฉลี่ย  $= 4.6$  และ  $3.3-1.52$  เฉลี่ย  $= 33.5$  ตามลำดับ

### 1.3 เลคตินในกล้วยไม้

Van Damme *et al.* (1987) พบว่าเลคตินที่แยกจากใบกล้วยไม้ดิน Twayblade (*Listera ovata*) ประกอบด้วย โปรตีน 2 โมเลกุลที่มีขนาดโมเลกุลละ 12,500 Dalton ซึ่งจับกับน้ำตาล mannose ต่ำมา Saito *et al.* (1993) ศึกษาวิเคราะห์คุณลักษณะของเลคตินที่แยกจากใบกล้วยไม้ดิน Twayblade (*Listera ovata*) พบว่าเลคตินที่แยกเป็นประเภท  $\alpha$ -D-mannose-lectin ที่มีความจำเพาะกับ  $\alpha$ 1 -3 mannosidic linkages โดยทำปฏิกิริยากับ  $\alpha$ 1-3-mannan (D. P. 15) และ  $\alpha$ 1-3-mannoheptasaccharide จากการศึกษาโครงสร้าง พบว่าโครงสร้างของ  $\alpha$ -mannosyl ประกอบด้วย polysaccharides และ glycoconjugates และเลคตินของกล้วยไม้ไม่ทำให้มีเม็ดเลือดแดงตกตะกอน พืชใบเลี้ยงเดียวหลายชนิด ได้แก่ สโนดรอป (snowdrop : *Galanthus nivalis*), เดือปไฟคิด (daffodil : *Narcissus pseudonarcissus*), ว่านสีทิศ (amaryllis : *Hippeastrum hybr.*), กระเทียม (garlic : *Allium sativum*) มีเลคตินที่เป็น  $\alpha$ -D-mannosyl-specific lectins เช่นเดียวกับ

การศึกษาของ Van Damme *et al.* (1994) ที่โคลนและศึกษาใน mannose-bining lectin ที่แยกจากกล้วยไม้ดิน Twayblade (*Listera ovata*), *Epipactis helleborine* (broad-leaved helleborine) และกล้วยไม้ชิมบิเดียม *Cymbidium* hybrid โดยพบว่า ยืนเลคตินมีขนาด 800 คู่เบส ที่กำหนดการสร้างโปรตีนขนาด 12-13 kDa 2 โมเลกุล ที่มีความจำเพาะกับ mannose อย่างไรก็ตามเลคตินของกล้วยไม้ทั้งสามชนิดแตกต่างกันถึงร้อยละ 50 ทั้งในลำดับกรดนิวคลีอิกและลำดับกรดอะมิโน ซึ่งควบคุมด้วยยีนที่เป็น family gene จึงมีผลให้องค์ประกอบของยืนในกล้วยไม้ต่างชนิดมีความแตกต่างกัน อย่างไรก็ตามใน *L. ovata* มีการแสดงออกของยืนมากที่สุดในรังไจ ใบ และลำต้นได้ดิน (rhizome) ซึ่งต่างจากกล้วยไม้ *E. helleborine* ที่มีการแสดงออกของยืนในลำต้นมากที่สุด นอกจากนี้ Chen *et al.* (2005) โคลนยืนเลคตินจากกล้วยไม้หวย (*Dendrobium officinale*) ได้ครบสมบูรณ์ขนาด 777 คู่เบส ที่กำหนดการสร้างสายโพลีเปปไทด์ขนาด 170 เรสซิติวัส เรียกยีนที่โคลนได้ว่า *Dendrobium officinale* agglutinin2 (DOA2) เมื่อเปรียบองค์ประกอบของโปรตีนเทียบกับโปรตีนที่เกี่ยวข้องมีองค์ประกอบของ mannose-bining lectin superfamily 3 ตำแหน่ง เมื่อตรวจสอบระดับการแสดงออกของยืนจะพบได้ทุกส่วนของพืช ได้แก่ รากและลำต้นมากกว่าใบ โปรตีนเลคตินที่สังเคราะห์ในระบบแบคทีเรีย พบว่ามีฤทธิ์ในการยับยั้งเชื้อร้า *Gibberella zaeae*

#### 1.4 บทบาทเลคตินในพืช

ในเซลล์จะพบเลคตินในส่วนของโปรตีน บอดี้ (protein bodies) ซึ่งกลุ่มของโปรตีนทึ้งหมดจะถูกสังเคราะห์ในเอนโดพลาسمิคเตติคิวลัม (endoplasmic reticulum : ER) และส่งต่อมาสั่งกอโลจิ แอบพาราตัส (Golgi apparatus) ก่อนที่จะถูกแบ่งย่อยในส่วนแวดคิวโอล (vacuole) ซึ่งโปรตีนบอดี้จะทำหน้าที่ในการเก็บรักษาโปรตีน และจะเกี่ยวข้องกับส่วนไลโซโซม (lysosomes) นอกจากจะพบโปรตีนเลคตินในส่วนของโปรตีน บอดี้แล้วยังพบเลคตินในส่วนไซโตพลาสซัม (cytoplasm) และพื้นที่ระหว่างเซลล์ (intercellular space) อิกตัวย ซึ่งเลคตินจะทำหน้าที่ภายในเซลล์โดยทำปฏิกิริยากับเอนไซม์และทำปฏิกิริยากับโปรตีน บอดี้ นอกจากนี้ยังพบว่า การทำหน้าที่ของเลคตินในแต่ละสิ่งมีชีวิตแตกต่างกัน ขึ้นอยู่กับปัจจัยต่างๆ เช่น การโภไธสงตเนพะที่เข้ามายับ, ตำแหน่งที่จับ และเวลาจับที่แตกต่างกัน ซึ่งเลคตินสามารถจับกับการ์โนไอกเรตบิเวนผิวเซลล์ของสิ่งมีชีวิตอื่นได้ เช่น ในไวรัส แบคทีเรีย และรา เป็นต้น จึงทำให้เลคตินมีหน้าที่ภายนอกเซลล์ ต่างๆ ดังนี้กือ (Rüdiger and Gabius, 2001)

1.4.1 ต้านทานไวรัส (Antiviral activity) จากการศึกษาของ Peng *et al.* (2009) พบว่าเลคตินที่แยกได้จาก *Clematis montana* ซึ่งเป็นพืชสมุนไพรจีนมีคุณสมบัติในการต้านทานไวรัสหลายชนิดเมื่อทดลองกับ cell culture เช่นเดียวกับการทดลองของ Ooi *et al.* (2004) ที่ศึกษา mannose-binding lectin ที่แยกจากส่วนหัวใต้ดินของ *Sarsaparilla Smilax glabra Roxb.* ซึ่งเป็นพืชสมุนไพรจีน สามารถยับยั้งไวรัสได้ 2 ชนิด คือ herpes simplex virus type 1 (HSV-1) และ respiratory syncytial virus (RSV)

1.4.2 ต้านทานแบคทีเรีย (Antibacterial activity) Charungchittrak *et al.* (2011) ศึกษาคุณสมบัติในการต้านทานแบคทีเรียของเลคตินที่แยกได้จากเมล็ด *Archidendron jiringa* Nielsen พบว่าต้านทานต่อ *Bacillus subtilis*, *Staphylococcus aureus* และ *Candida albicans* ที่ความเข้มข้น 0.227, 0.0567 และ 0.0567 mg/ml ตามลำดับและยังต้านทานต่อเห็ดราชนิด *Exserohilum turcicum*, *Fusarium oxysporum* และ *Colletotrichum cassiicola* ได้อีกด้วย

1.4.3 ต้านทานเห็ดรา (Antifungal activity) ในการศึกษา mannose-binding proteins จากกล้วยไม้ *Gastrodia elata* ของ Wang *et al.* (2001) พบว่ามีคุณสมบัติในการต้านทานเห็ดราชนิด *Armillaria mellea* ซึ่งสอดคล้องกับการศึกษาของ Chen *et al.* (2005) ที่โคลนยืนและศึกษาการแสดงออกของ mannose-binding lectin จากกล้วยไม้หวาน *Dendrobium officinale* ซึ่งพบว่า โปรตีนเลคตินที่สังเคราะห์ในระบบแบคทีเรียมีฤทธิ์ในการยับยั้งเชื้อรา *Gibberella zeae*

1.4.4 สามารถขัดนำเข้าสู่กระบวนการ apoptosis ของเซลล์ เลคตินสามารถจับกับผิวเซลล์ที่มีลักษณะผิดปกติและขัดนำเข้าสู่โปรแกรมตายของเซลล์ได้ สอดคล้องกับการศึกษาของ Peng *et al.* (2009) ที่ศึกษาเลคตินที่แยกได้จาก *Clematis montana* ซึ่งเป็นพืชสมุนไพรจีนพบว่า เลคตินจากพืชสมุนไพรที่ได้ไปยับยั้งที่ caspase ซึ่งพบว่า caspase เป็นตัวที่มีบทบาทสำคัญในกลไก apoptotic

1.4.5 สามารถทำให้เซลล์ภาวะกลุ่มตกตระกอน เลคตินที่แยกได้จากส่วนหัวใต้ดินของ *Sarsaparilla Smilax glabra Roxb.* ซึ่งเป็นพืชสมุนไพรจีน สามารถตกตระกอนเซลล์เม็ดเลือดแดงของกระต่ายได้ (Ooi *et al.*, 2004)

## 2. พืชที่ใช้ในศึกษา

กล้วยไม้เป็นพืชส่องออกที่สำคัญพืชหนึ่งของประเทศไทย กระทรวงเกษตรและสหกรณ์ กำหนดให้กล้วยไม้เป็นหนึ่งในสี่ของพืช Product Champion เนื่องจากเป็นพืชที่ทำรายได้สูงและปริมาณเพิ่มขึ้นทุกปี อุตสาหกรรมกล้วยไม้ของประเทศไทยได้เจริญก้าวหน้าอย่างมาก และทำรายได้เข้าสู่ประเทศเป็นอันดับหนึ่งในจำนวนไม้คอกไม้ประดับทั้งหมดที่มีการส่องออก ซึ่งการส่องออกดอกกล้วยไม้และต้นกล้วยไม้มีปริมาณและมูลค่าเพิ่มขึ้นโดยตลอด ในระยะแรกเป็นการส่องออกไปจำหน่ายยังต่างประเทศ โดยส่งขายมากที่สุดที่ประเทศไทยและออร์แลนด์และเยอร์มัน ปัจจุบันได้ขยายตลาดออกไปมากกว่า 50 ประเทศ ในปี พ.ศ. 2542 มีการส่องออกดอกกล้วยไม้จากไทยปริมาณ 11,178 ตัน (ประมาณ 317 ล้านช่อ) มูลค่า 1,061.1 ล้านบาท ลูกค้ารายใหญ่ที่สุดคือ สหพัน อันดับรองลงมาคืออิตาลี อเมริกา ได้หัวน และในปี พ.ศ. 2543 ไทยส่องออกปริมาณ 13,124.7 ตัน มูลค่า 1,231.2 ล้านบาท (จิตรพรวณ, 2546) ในปี พ.ศ. 2550-2553 มีมูลค่าการส่องออก 3,670 ล้านบาท, 3,449 ล้านบาท, 378 ล้านบาท, 496 ล้านบาท ตามลำดับ (กรมส่งเสริมการส่องออก, 2553) จากสถิติ การส่องออกกล้วยไม้ไทยไปยังตลาดโลกมีมูลค่าลดลงทุกปีเนื่องจากสภาพเศรษฐกิจและสภาพแวดล้อมในธรรมชาติ ค่าแรงร้อนตวีจึงได้มีมติผลักดันการส่องออกกล้วยไม้ไทยในปีพ.ศ. 2554-2559 ปีละ 10,000 ล้านบาท เพื่อเพิ่มประสิทธิภาพการผลิต และเพิ่มขีดความสามารถด้านการตลาด (บ้านเมือง, 2553)

กล้วยไม้ถือเป็นไม้คอกไม้ประดับที่สวยงาม มีหลากหลายสายพันธุ์ ปลูกเลี้ยงง่าย และยังเป็นไม้ส่องออกสำคัญที่สร้างรายได้ให้กับประเทศไทยเป็นมหาศาลอีกด้วย อีกทั้งกล้วยไม้ส่วนใหญ่ไม่เพียงมีประโยชน์ในแง่ของความสวยงามเท่านั้น แต่ก็ยังมีประโยชน์ในด้านอื่นๆด้วย เช่น ชาวจีนนิยมนำกล้วยไม้สกุลเอื้องดำต่อ (*Pholidota*) มาทำอาหารและรักษาอาการหอบหืด ส่วนชาวอินเดียนำสกุลกระร่อน (*Cymbidium*) มาปรุงอาหาร ขณะที่ชาวอีสานของไทยนิยมรับประทานเอื้องแพรงสีฟัน (*Dendrobium secundum* Lindl.) และเอื้องครั้งแสด (*Dendrobium unicum* Scienf.) เป็นผัก เคียงนำ้พริก ไม่เพียงเป็นอาหารเท่านั้นกล้วยไม้บางสกุลยังมีสรรพคุณเป็นยาอีกด้วย (ข้อมูลดักษณ์, 2553)

### 2.1 กล้วยไม้ที่มีสรรพคุณทางด้านสมุนไพร

ในอดีตชนเผ่าชาไก้นำหัวของเหลืองพิศมร (*Spathoglottis affinis* de Vries) ไปต้มกับน้ำดื่มรักษาอาการปวดตามข้อ กล้วยไม้สกุล *Calanthe* สามารถนำลำลูกกล้วยมาต้มน้ำดื่มรักษา

อาการไข้เรื้อรัง ฝักของสิงโต宦วดยา (*Bulbophyllum vaginatum* (Lindl.) Rchb.f.) นำไปย่างกันน้ำใช้รักษาอาการปวดหู (สำนักงานอุทายานการเรียนรู้ สังกัดสำนักงานบริหารและพัฒนาองค์ความรู้ (องค์การมหาชน), 2006) ในทางอีสาน มีตำรายาพื้นบ้าน ใช้หั้งต้นของ เอื้องตะขابใหญ่ (*Dendrobium leonis* Lindl.) ตำพอกศีรษะแก้ปวดหัว (ออร์คิด-ชูกิ, 2553) นอกจากนี้ ยังมีกลวยไม้ อิก hairy ชนิดที่มีสรรพคุณทางด้านสมุนไพร ได้แก่ เอื้องพวงอ่อน (*Robiquetia succisa* (Lindl.) Seidenf. & Garay.) รักษาโรคโลหิตจาง โลหิตเป็นพิษ โดยสามารถใช้ต้น ต้มในน้ำเดือดแล้วดื่มน้ำยังอ่อนแทนน้ำ ช่วยบำรุงโลหิตให้ดีขึ้น และช่วยให้โลหิตกลับสู่ภาวะปกติได้ (กลวยไม้ไทย ชุมพร, 2549) เอื้องสายสีคอก (*Dendrobium cumulatum* Lindl.) มีสรรพคุณทางสมุนไพรคือแก้อาการหืดหอบ โดยใช้ลำต้นครั้งละ 1 ต้น ตัดเป็นท่อน สักๆ ต้มกับน้ำจันเดือด ดื่มแทนน้ำชา (ไทยรัฐ, 2552) กระยะร่อง (*Cymbidium aloifolium* ( L ) Sw. EO) ช่วยแก้อาการแก้หูน้ำหนวก ได้ โดยใช้ใบลงไฟให้นิ่ม แล้วบีบเอาน้ำหายอดหู ช่วยบรรเทาอาการหูน้ำหนวก (สำนักบริหาร จัดการพื้นที่ป่าอนุรักษ์ 6 นครสวรรค์, 2550) จุหลัน (*Cymbidium ensifolium* (L.) SW.) เป็นกลวยไม้ ดินปุกง่าย หาง่าย มีดอกสวยงาม มีกลิ่นหอมเป็นเอกลักษณ์เฉพาะตัว และยังมีสรรพคุณเป็น สมุนไพร ใช้รักษาโรค “ไตพิการ” โดยใช้ราก จำนวนมากหรือน้อยตามต้องการ ถ้างาน้ำจะสะอาดแล้ว นำไปต้มกับน้ำจันเดือด ดื่มน้ำยังอ่อนๆ วันละ 3 เวลา ก่อนหรือหลังอาหารก็ได้ ต้มดื่มน้ำไปเรื่อยๆ จะช่วยทำให้อาการดีขึ้น (ไทยรัฐ, 2552) และมีกลวยไม้ที่ใหญ่ที่สุดในโลกจากป่าไทย ซึ่งก็คือ ว่าน เพชรทิง (*Grammatophyllum specinocum* BL.) ก็ยังมีสรรพคุณทางด้านสมุนไพร โดยใช้ส่วนใบ 3 ใน ปรงเป็นยาต้ม ใช้เป็นขาระบายน้ำอุจจาระและรักษาโรคดูพิการของผู้หญิงได้ดี ส่วนเหง้าให้ใช้เหง้า แห้งประมาณ 5-10 กรัม นำไปต้มหรืออบดเป็นผงกิน หรือใช้สด โดยการตำคั้นอาบน้ำสำหรับดื่มน้ำส่วนที่ใช้เป็นยาภายนอก นำไปบดให้เป็นผง หรือใช้ผสานา ล้วนของเหง้าจะมีรสขม และเย็นจัด แต่มีฤทธิ์ใช้เป็นยารักษาอาการต่างๆ ดังนี้คือ

2.1.1 รักษาโรคคางทูม โดยใช้เหง้าสดประมาณ 10-15 กรัม นำไปต้มกินหลังอาการ วันละ 2 เวลา

2.1.2 รักษาอาการท้องนาน โดยใช้เหง้าสด นำมาคั้นอาบน้ำ ดื่มน้ำบ่อยๆ

2.1.3 รักษาอาการเจ็บคอ โดยใช้เหง้าสดประมาณ 15 กรัม ผสมกับน้ำส้มสายชู ตำ และคั้นอาบน้ำ อมหรือกัดลีนเฉพาะน้ำ จิบครั้งละน้อยๆ

2.1.4 รักษาฟื้นเต้านม บวมหรือมีหนองในระยะเริ่มแรก ให้ใช้เหง้าแห้ง 1 เหง้า รากดอกไม้จันแห้งประมาณ 10 กรัม นำมารวมกันบดให้เป็นผง แล้วผสมน้ำผึ้งกิน

2.1.5 รักษาฟีประคำร้อย ให้ใช้เหง้าแห้งเหลืองเกี้ยว แห่งโกราเช่าแห้ง อย่างละเอียด กัน นำไปบดเป็นผง ผสมทำเป็นยาเม็ด กินครั้งละ 6 กรัม หลังอาหาร

2.1.6 รักษาอาการผื่นคันมีน้ำเหลืองที่ขา ใช้เหง้าแห้ง ใส่น้ำแล้วต้มให้เดือดผสมเกลือ แกงเล็กน้อย เลี้ยวทางตามบริเวณที่เป็น ทาวันละ 2 เวลา เช้า-เย็น (ข้อมูลลักษณ์, 2553)

นอกจากนี้เมื่อ 2,000 กรัมปีศาจแล้วในประเทศไทยได้ใช้กลีบไม้ *Gastrodia elata* ใน การรักษาเรthetaอาการปวดและยังใช้เป็นยาระงับประสาท ใช้รักษาโรคที่เกิดอาการชักกระดูก เช่น โรคลมบ้าหมู โดยใช้ส่วนแห้งๆ ตำต้น และหัวใต้ดิน (Hsieh et al., 2007)

เนื่องจากในประเทศไทยยังไม่มีข้อมูลและการศึกษาเรื่อง lectin ในกลีบไม้ และจาก ข้อมูลพบว่ากลีบไม้สิงโตหนวดยาวมีสรรพคุณในการรักษาอาการปวดหู อีกทั้งจากการทดลองใน ห้องปฏิบัติการสถาบันวิจัยจุฬาภรณ์ในเบื้องต้นพบว่า กลีบไม้สกุลสิงโตสามารถยับยั้งการ เจริญเติบโตของเซลล์มะเร็งได้ งานวิจัยในครั้งนี้จึงเลือกใช้กลีบไม้สกุลสิงโตเพื่อที่จะ โคลนและ ศึกษาการแสดงออกของยีน

## 2.2 กลีบไม้สกุลสิงโต

สกุลบูลบูลีฟิลลัม หรือ บูลบูลฟิลลัม (*Bulbophyllum* = bul - bo - fil - lum) สกุมนี้มี จำนวนชนิดมาก รองจากสกุลเด็น โครนิอุม ส่วนใหญ่เป็นกลีบไม้อิงอาศัย ในประเทศไทยพบ มากกว่า 130 ชนิด (รวมสกุล *Cirrhopetalum* และอื่นๆ) มักจะเรียกว่า สิงโตกลอกตา หรือใช้ชื่อ สิงโตหนาน้ำคำอื่นๆ ตามลักษณะดอกหรือชื่อดอก เช่น สิงโตดวงข้าว ซึ่งเป็นชื่อเรียกกลีบไม้หาย ชนิดที่ชื่อดอกมีลักษณะคล้ายดวงข้าว ต้นของกลีบไม้สกุลนี้โดยทั่วๆไปมีขนาดกลาง ไปจนถึง ขนาดค่อนข้างเล็ก หัวเจริญอยู่บนเหง้า แต่ละหัวเปลี่ยนแปลงมาจากการขยายขนาดของปล้องเพียง 1 ปล้อง มีรูปลักษณะและขนาดแตกต่างหลากหลายมาก หัวใหม่เกิดจากเหง้า ปลายสุดมีใบ 1-2 ใบ ใบมักจะเป็นรูปแฉบ มีทั้งพวงที่ทึ่งใบและพวงที่ใบอายุยืนนาน ชื่อดอกเกิดจากเหง้าไกลั่วหรือไกล จากโคนหัว ลักษณะเฉพาะของดอกกลีบไม้สกุลนี้ คือ กลีบปากติดกับส่วนปลายคงของเส้าเกรสริ่ม

ขีดตัวอักษรไปในลักษณะคล้ายบานพับ ทำให้กลีบปากสันไหว้ได้ง่าย กลุ่มอับเรณูมี 2 คู่ แต่ละคู่มีเยื่อบางๆยึดติดกัน เส้าเกสรค่อนข้างสั้น (ฉบับที่ 2543)

2.2.1 สิงโตสมอหิน (*Bulbophyllum blepharistes* Rchb.f.) (ภาพภาคผนวกที่ 2)  
(สำนักงานพัฒนาเศรษฐกิจจากฐานชีวภาพ, 2553)

ชื่อท้องถิ่น : สิงโตสมอหิน, สิงโตกลอกตา

ลักษณะทางพฤกษศาสตร์ : ลำ躉กลอกล้ำยรูปกลมหรือรูปไข่ ปลาย尖มีใบ 2 ใบอยู่ตรงกันข้าม แผ่นใบรูปขอบขนานแคนรูปไข่กลับ ช่อดอกเดี่ยวแบบช่อซี่ร่ม เกิดจากที่ปลายเหง้าดอก 10-14 ดอก กลีบประดับรูปคล้ายสามเหลี่ยม ดอกสีเหลืองอ่อน กลีบปากสีชมพู กลีบเลี้ยงกลีบบนรูปใบหอกแคนรูปไข่ กลีบคู่ข้างเชื่อมติดกันรูปไข่กว้าง ปลายแยกเป็นแฉกตื้น กลีบดอกรูปเกือบกลม ขอบมีขนสีแดงกระจายเกือบไป กลีบปากเป็นจะงอยรูปไข่

ถุดอก : ดอกบานเดือนตุลาคมถึงเดือนธันวาคม

การกระจายพันธุ์ : พบรตามป่าผลัดใบหรือป่าดิบแล้ง ทางภาคเหนือ ภาคใต้ และภาคตะวันออกเฉียงเหนือ

2.2.2 สิงโตรวงข้าว (*Bulbophyllum morphologorum* Kraenzl.) (ภาพภาคผนวกที่ 3)  
(สำนักงานพัฒนาเศรษฐกิจจากฐานชีวภาพ, 2553)

ชื่อท้องถิ่น : สิงโตรวงข้าว

ลักษณะทางพฤกษศาสตร์ : ลำ躉กลอกล้ำยรูปกรวยกลับหรือรูปไข่ กว้างประมาณ 3.5 เซนติเมตร ยาวประมาณ 5.5 เซนติเมตร มีกาบสีน้ำตาลและขนสันๆ ที่โคนลำ ปลาย尖 เป็นใบเดียว ในรูปรีเคน ช่อดอก 1 ช่อเกิดจากโคนลำลูกกล้ำย ดอกเกิดเป็นกระจุกแน่นที่ปลายช่อ มีดอก 30-50 ดอก ดอกสีเหลืองอมน้ำตาลมีประสีน้ำตาลแดงกระจายเกือบไป กลีบเลี้ยงคู่มีโถงกลีบบนรูปขอบขนาน กลีบคู่ข้างรูปแคนเบี้ยง ขอบกลีบด้านในเชื่อมติดกัน กลีบดอกรูปสามเหลี่ยม กลีบปากเป็นจะงอยสีส้มแดง

ถุดอก : ดอกบานเดือนกุมภาพันธ์ถึงเดือนมีนาคม

การกระจายพันธุ์ : พบรตามป่าสนและป่าดิบเข้า ทางภาคเหนือ ภาคตะวันออกเฉียงเหนือ

2.2.3 สิงโตราชท้อง (*Bulbophyllum orientale* Seidenf.) (ภาพภาคพนวกที่ 4) (ฉบับลั้นท์, 2543)

ชื่อท้องถิ่น : สิงโตราชท้อง

ลักษณะทางพฤกษศาสตร์ : คล้ายสิงโตราชข้าว แต่ขนาดเล็กกว่า หัวรูปไข่ขนาด  $2.5-3 \times 2$  เซนติเมตร เรียงตัวห่างกัน  $2-6$  เซนติเมตร ผิวเขียวคล้ำหรือเขียวอมม่วง ใบรูปปีรี มี 1 ใบ ขนาด  $8-12 \times 2.5$  เซนติเมตร แผ่นใบหนาและแข็ง ข้อดอกโถงเล็กน้อย ยาว  $10-12$  เซนติเมตร คอกในช่อแน่น นานพร้อมกัน มีกลิ่นหอมฉุนเล็กน้อย

ถูกดอก : เดือนตุลาคมถึงเดือนพฤษจิกายน

การกระจายพันธุ์ : ป่าเบญจพรรณในภาคเหนือ และภาคตะวันออกเฉียงเหนือ

## อุปกรณ์และวิธีการ

### 1. ชนิดพืชและแหล่งที่มา

แหล่งที่มาจากสถาบันวิจัยพัฒนาฯ กล่าวไม้สิงโตสมอหินและสิงโตราชทอง ใช้ส่วนของใบจากการเพาะเลี้ยงเนื้อเยื่อ กล่าวไม้สิงโตราชข้าวใช้ส่วนในลำลูกกล้ำย และراكจากการเพาะเลี้ยงเนื้อเยื่อ

#### ชนิดกล่าวไม้

1. กล่าวไม้สิงโตสมอหิน (*Bulbophyllum blepharistes* Rchb.f.)

2. กล่าวไม้สิงโตราชทอง (*Bulbophyllum orientale* Seidenf.)

3. กล่าวไม้สิงโตราชข้าว (*Bulbophyllum morphologorum* Kraenzl.)

#### ชนิดไพรเมอร์

1. ไพรเมอร์สำหรับสังเคราะห์ยีน *lectin* บริเวณปลาย 5' ได้แก่

LectBul-F(12)            5'-ATGAGTAGCTTCTCCATTAT- 3'

LectBul-R(62)            5'-GACATAGCAGCTGAGCCTT- 3'

2. ไพรเมอร์สำหรับสังเคราะห์ยีน *lectin* บริเวณปลาย 3' ได้แก่

LectLO165S            5'-GACTGCAACCTCGTCCTCTA- 3'

3'RACE(T)233            5'-GACTCGAGTCGACATCGTTTTTTTTTTTT-3'

(T<sub>12</sub>)Bam H1            5'-TTGGATCCTTTTTTTTT-3'

3. ไพรเมอร์สำหรับการตรวจสอบการแสดงออกของยีน *lectin* ได้แก่

LectLO165S            5'-GACTGCAACCTCGTCCTCTA- 3'

LectBul-R(62)            5'-GACATAGCAGCTGAGCCTT- 3'

5.8rRNA(F)            5'-ATGACTCTGACAATGGATT-3'  
 5.8rRNA(R)            5'-GCTTGAAGCCCCAGGCAGACG-3'

#### 4. ไพรเมอร์สำหรับการหาลำดับนิวคลีโอไฮด์ ได้แก่

T7                    5'-ACGTTGTAAAACGACGG-3'  
 SP6                    5' GATAAGAATTCACACA-3'

### วิธีการ

#### 1. การออกแบบไพรเมอร์

หาข้อมูลยืนเลกตินของพืชที่มีรายงานอยู่ในฐานข้อมูล National Center for Biotechnology Information (NCBI) ([www.ncbi.nlm.nih.gov](http://www.ncbi.nlm.nih.gov)) นำข้อมูลลำดับของกรดอะมิโนที่ได้มาวิเคราะห์ multiple alignment โดยโปรแกรม ClustalW ที่เวปไซต์ <http://www.ebi.ac.uk> เลือกส่วนอนุรักษ์ เพื่อกับกับลำดับกรดอะมิโนและนิวคลีโอไฮด์ จากเวปไซต์ของ European Bioinformatics Institute (EMBL) ([www.ebi.ac.uk/clustalw/index.html](http://www.ebi.ac.uk/clustalw/index.html)) เลือกส่วนอนุรักษ์ เพื่อออกแบบไพรเมอร์ ทำการตรวจสอบระดับอุณหภูมิที่เหมาะสมในการแยกเป็นเด็นเซ่นเอฟายเดี่ยวของไพรเมอร์ ปริมาณของ G/C content ที่เหมาะสม การเกิดโครงสร้างทุติกัญมิ และการจับกันเองของไพรเมอร์โดยใช้โปรแกรม netprimer ที่เวปไซต์ <http://www.netprimer.com> แล้วทำการเลือกคู่ไพรเมอร์ที่เหมาะสม ให้มีขนาดความยาวประมาณ 15-25 นิวคลีโอไฮด์

#### 2. วิธีการแยกอาร์เอ็นเอจากกลวยไม้สกุลสิงโต

##### 2.1 วิธีการแยกอาร์เอ็นเอรวมด้วยวิธี LiCl (Lievens *et al.*, 1997)

บดตัวอย่างกลวยไม้ 450 มิลลิกรัม ในในโตรเจนเหลวให้ละอียดเป็นผง ตักใส่หลอดไมโครเซนติฟิวเข็งนาด 1.5 มิลลิลิตร ประมาณ 1 ใน 3 ของหลอด (ประมาณ 100 มิลลิกรัมของตัวอย่าง) สะัดอาร์เอ็นเอด้วยสารละลายบัฟเฟอร์ (0.2M Tris-HCl, pH7.5, 0.1M LiCl, 5mM EDTA, 1% SDS) 500 ไมโครลิตร ผสมให้เข้ากันด้วยเครื่องผสมสาร บ่มที่อุณหภูมิห้องนาน 10 นาที เติมฟีนอลคลอโรฟอร์มไオโซเอมิล อัตราส่วน 25: 24: 1 ปริมาตร 500 ไมโครลิตร ผสมให้เข้ากันด้วยเครื่องผสมสาร บ่มที่อุณหภูมิห้องนาน 10 นาที หมุนเหวี่งด้วยความเร็ว 11,000 g ที่อุณหภูมิ 4

องค่าเซลเซียส นาน 5 นาที ดูดสารละลายด้านบนใส่หลอดใหม่ 300 ไมโครลิตร ตกตะกอน อาร์เอ็นเอด้วย 6M LiCl ปริมาตร 300 ไมโครลิตร กลับหลอดไปมาเบาๆ 30 วินาที บ่มที่ 4 องค่า เซลเซียส นานข้ามคืน หมุนเหวี่ยงด้วยความเร็ว 11,000 g ที่อุณหภูมิ 4 องค่าเซลเซียส นาน 5 นาที ล้างตะกอนด้วย 3M LiCl ปริมาตร 500 ไมโครลิตร ผสมให้เข้ากัน หมุนเหวี่ยงด้วยความเร็ว 11,000 g ที่อุณหภูมิ 4 องค่าเซลเซียส นาน 10 นาที ล้างตะกอนด้วย 70 เปอร์เซ็นต์ เอทานอล หมุนเหวี่ยง ด้วยความเร็ว 11,000 g ที่อุณหภูมิ 4 องค่าเซลเซียส นาน 10 นาที เทสารละลายทึบແล็กวิชัน spin ให้สารละลายที่เหลือตกลงมาที่ก้นหลอดแล้วใช้ปีเปตดูดออกให้หมด ทำให้ตะกอนอาร์เอ็นเอแห้ง ด้วยเครื่องดูดอากาศ นาน 5-10 นาที แล้วลากายตะกอนอาร์เอ็นเอด้วยน้ำ 31 ไมโครลิตร นำ 1 ไมโครลิตร ไปตรวจสอบผลที่ได้ด้วยการทำอาหารสเจลอะลูมิโนฟอร์ฟิลิก และนำสารละลายอาร์เอ็นเอที่เหลือเติม 0.1M NaOAc, pH 5.2 ปริมาตร 0.1 เท่า และเอทานอลบริสุทธิ์ปริมาตร 2 เท่า เพื่อเก็บอาร์เอ็นเอ โดยเก็บที่อุณหภูมิ -30 องค่าเซลเซียส

2.2 วิธีการแยกอาร์เอ็นเอรวมด้วยวิธี LiCl ที่เติม Sodium periodate ( ดัดแปลงวิธี Lievens *et al.*, 1997)

เตรียมบัฟเฟอร์โดยละลาย Sodium periodate ( $\text{NaIO}_4$ ) 213.89 มิลลิกรัม ในน้ำ DNase-RNase free 1000 มิลลิลิตร นำมาผสมกับบัฟเฟอร์ LiCl (0.2M Tris-HCl, pH7.5, 0.1M LiCl, 5mM EDTA, 1% SDS) ในอัตราส่วน 10 ไมโครลิตรในบัฟเฟอร์ 500 ไมโครลิตร

บดตัวอย่างกลวยไม้ 450 มิลลิกรัม ในไนโตรเจนเหลวให้ละเอียดเป็นผง ตักใส่หลอด ไมโครเซนทริฟิวจ์นานาด 1.5 มิลลิลิตร ประมาณ 1 ใน 3 ของหลอด (ประมาณ 100 มิลลิกรัมของตัวอย่าง) สะัดอาร์เอ็นเอด้วยสารละลายบัฟเฟอร์ ที่เติม 20 mM  $\text{NaIO}_4$  500 ไมโครลิตร ผสมให้เข้ากันด้วยเครื่องผสมสาร บ่มที่อุณหภูมิห้องนาน 10 นาที เติมฟีนอลคลอโรฟอร์ม ไอโซเออมิล อัตราส่วน 25: 24: 1 ปริมาตร 500 ไมโครลิตร ผสมให้เข้ากันด้วยเครื่องผสมสาร บ่มที่อุณหภูมิห้องนาน 10 นาที หมุนเหวี่ยงด้วยความเร็ว 11,000 g ที่อุณหภูมิ 4 องค่าเซลเซียส นาน 5 นาที ดูดสารละลายด้านบนใส่หลอดใหม่ 300 ไมโครลิตร ตกตะกอนอาร์เอ็นเอด้วย 6M LiCl ปริมาตร 300 ไมโครลิตร กลับหลอดไปมาเบาๆ 30 วินาที บ่มที่ 4 องค่าเซลเซียส นานข้ามคืน หมุนเหวี่ยงด้วยความเร็ว 11,000 g ที่อุณหภูมิ 4 องค่าเซลเซียส นาน 5 นาที ล้างตะกอนด้วย 3M LiCl ปริมาตร 500 ไมโครลิตร ผสมให้เข้ากัน หมุนเหวี่ยงด้วยความเร็ว 11,000 g ที่อุณหภูมิ 4 องค่าเซลเซียส นาน 10 นาที ล้างตะกอนด้วย 70 เปอร์เซ็นต์ เอทานอล หมุนเหวี่ยงด้วยความเร็ว 11,000 g ที่อุณหภูมิ 4 องค่าเซลเซียส นาน 10 นาที เทสารละลายทึบແล็กวิชัน spin ให้สารละลายที่เหลือตกลงมาที่ก้นหลอดแล้วใช้ปีเปตดูดออกให้หมด ทำให้ตะกอนอาร์เอ็นเอแห้ง ด้วยเครื่องดูดอากาศ นาน 5-10 นาที

แล้วละลายตะกอนอาร์เอ็นเอด้วยน้ำ 31 ไมโครลิตร นำ 1 ไมโครลิตร ไปตรวจสอบผลที่ได้ด้วยการทำอาหารสเจลอิเลคโทร ไฟฟ์ซิส และนำสารละลายอาร์เอ็นเอที่เหลือเติม 0.1M NaOAc, pH 5.2 ปริมาตร 0.1 เท่า และอุ่นolanบริสุทธิ์ปริมาตร 2 เท่า เพื่อกีบอาร์เอ็นเอ โดยเก็บที่อุณหภูมิ -30 องศาเซลเซียส

2.3 วิธีการแยกอาร์เอ็นเอรวมด้วยวิธี Hot Phenol (เป็นวิธีดัดแปลงจากห้องปฏิบัติการของศาสตราจารย์ Shou-Wei Ding; Center for Plant Cell Biology, Department of Plant Pathology and Microbiology, University of California, Riverside, CA 92521.)

บดตัวอย่างกลีบ翼ไม้ 2000 มิลลิกรัมในไนโตรเจนเหลวให้ละเอียดเป็นผง ตักใส่หลอดขนาด 50 มิลลิลิตร ประมาณ 1 ใน 3 ของหลอด (ประมาณ 500 - 1000 มิลลิกรัมของตัวอย่าง) สารละลายอาร์เอ็นเอด้วยสารละลายบัฟเฟอร์(100mM Tris-HCl, pH8.0, 0.1M LiCl, 10mM EDTA, 1% SDS) ที่เติมสารละลายฟีโนล และสารละลายบัฟเฟอร์ 5 มิลลิลิตร อุ่นที่ 80 องศาเซลเซียสก่อนใช้ 30 นาที ผสมให้เข้ากันด้วยเครื่องผสมสารเป็นเวลา 20 วินาที เติมคลอโรฟอร์ม ปริมาตร 2.5 มิลลิลิตร ผสมให้เข้ากันด้วยเครื่องผสมสาร 20 วินาที หมุนให้วิ่งด้วยความเร็ว 10,000 g ที่อุณหภูมิห้อง นาน 10 นาที ดูดสารละลายด้านบนใส่หลอดใหม่ 3 มิลลิลิตร ตกตะกอนอาร์เอ็นเอด้วย 4M LiCl ปริมาตร 3 มิลลิลิตร กลับหลอดไปมาเบาๆ 30 วินาที บ่มที่ -20 องศาเซลเซียส นานข้ามคืน หมุนให้วิ่งด้วยความเร็ว 10,000 g ที่อุณหภูมิ 4 องศาเซลเซียส นาน 15 นาที ล้างตะกอนด้วย DEPC-treated TE buffer 300 ไมโครลิตร ผสมให้เข้ากัน หมุนให้วิ่งด้วยความเร็ว 11,000 g ที่อุณหภูมิ 4 องศาเซลเซียส นาน 10 นาที ตกตะกอนอาร์เอ็นเอด้วย 3M NaOAc, pH 5.2 ปริมาตร 0.1 เท่า และอุ่นolanบริสุทธิ์ปริมาตร 2 เท่า ที่อุณหภูมิ -20 องศาเซลเซียสเป็นเวลา 3 ชั่วโมง หมุนให้วิ่งด้วยความเร็ว 10,000 g ที่อุณหภูมิ 4 องศาเซลเซียส นาน 15 นาที ล้างตะกอนด้วย 70 เปอร์เซ็นต์ เอทานอล หมุนให้วิ่งด้วยความเร็ว 10,000 g ที่อุณหภูมิ 4 องศาเซลเซียส นาน 10 นาที เทสารละลายทึบแล้ว brief spin ให้สารละลายที่เหลือตกลงมาที่ก้นหลอดแล้วใช้ปีเปตดูดออกให้หมด ทำให้ตะกอนอาร์เอ็นเอแห้งด้วยเครื่องดูดอากาศ นาน 5-10 นาที แล้วละลายตะกอนอาร์เอ็นเอด้วยน้ำ 31 ไมโครลิตร นำ 1 ไมโครลิตร ไปตรวจสอบผลที่ได้ด้วยการทำอาหารสเจลอิเลคโทร ไฟฟ์ซิส และนำสารละลายอาร์เอ็นเอที่เหลือเติม เพื่อกีบอาร์เอ็นเอ โดยเก็บที่อุณหภูมิ -30 องศาเซลเซียส

### 3. การสังเคราะห์ดีเอ็นเอจากอาร์เอ็นเอด้วยวิธี Reverse Transcription Polymerase Chain Reaction (RT-PCR)

#### 3.1 การสังเคราะห์ดีเอ็นเอสายแรกจากอาร์เอ็นเอของกล้ายไม้

การสังเคราะห์ดีเอ็นเอสายแรก (first strand synthesis) โดยใช้ Ready-To-Go You-Prime first strand beads (GE Healthcare Biosciences, สหรัฐอเมริกา) อาร์เอ็นเอที่ได้จากตัวอย่างในของกล้ายไม้ ในข้อ 2 นำไปอุ่นที่ 65 องศาเซลเซียส เป็นเวลา 10 นาที จากนั้นนำไปแช่น้ำแข็ง 2 นาที ดูดอาร์เอ็นเอ 29 ไมโครลิตร ผสมร่วมกับ ไพรเมอร์ RACE233 ( $5'$ - GAC TCG AGT CGA CAT CG( $T_{17}$ ) $-3'$ ) จำนวน 2 ไมโครลิตร และ ไพรเมอร์ BamHI( $T_{12}$ ) ( $5'$ -TTG GAT CCT TTT TTT TTT TT- $3'$ ) จำนวน 2 ไมโครลิตร ผสมให้เข้ากัน ใส่ลงในหลอดสำหรับสังเคราะห์ดีเอ็นเอสายแรก บ่มที่อุณหภูมิ 37 องศาเซลเซียส เป็นเวลา 60 นาที

#### 3.2 การสังเคราะห์ยืดด้านปลาย $5'$ และ $3'$ ด้วยวิธี Polymerase Chain Reaction (PCR)

เพิ่มปริมาณของดีเอ็นเอด้วยวิธีพีซีอาร์ในครึ่งเพิ่มปริมาณดีเอ็นเอ (Mastercycler<sup>®</sup> gradient, Eppendorf, สหรัฐอเมริกา) โดยใช้อ่อนไชม์ i-Taq DNA Polymerase (Intron Biotechnology, เกาหลี) นำดีเอ็นเอสายแรก (cDNA) ที่ได้มาใช้เป็นต้นแบบในการสังเคราะห์ยืนเลกติน ด้วยไพรเมอร์ sense และ antisense ที่ได้ออกแบบไว้ โดยผสม PCR reaction mix (น้ำ 16.9 ไมโครลิตร, 10X PCR บัฟเฟอร์ 2.5 ไมโครลิตร, 10mM dNTP 2.5 ไมโครลิตร, i-Taq DNA Polymerase 0.3 ไมโครลิตร, ไพรเมอร์ sense และ antisense อย่างละ 0.4 ไมโครลิตร และ cDNA 2 ไมโครลิตร) ในหลอดพิซีอาร์ขนาด 200 ไมโครลิตร ทำพีซีอาร์ครั้งแรกโดยใช้โปรแกรม step up (โปรแกรมที่ 1 ที่ความร้อน 95 องศาเซลเซียส นาน 5 นาที จำนวน 1 รอบ โปรแกรมที่ 2 ที่ 95 องศาเซลเซียส นาน 30 วินาที 48 องศาเซลเซียส นาน 1 นาที และ 72 องศาเซลเซียส นาน 2 นาที จำนวน 10 รอบ โปรแกรมที่ 3 ที่ 95 องศาเซลเซียส นาน 30 วินาที 53 องศาเซลเซียส นาน 1 นาที 72 องศาเซลเซียส นาน 2 นาที จำนวน 20 รอบ และ โปรแกรมที่ 4 ที่ 72 องศาเซลเซียส นาน 10 นาที ) นำมาตรวจสอบโดยวิธีอเล็ก troponin T บนเจลอะกัวโรส 0.8% เปรียบเทียบขนาดของดีเอ็นเอกับ 1 Kb DNA ladder marker (Fermantas, แคนาดา) เมื่อได้ແບฤทธิ์ดีเอ็นเอของยืนตามที่ออกแบบไว้ นำมาเพิ่มปริมาณด้วยวิธีพีซีอาร์ด้วยโปรแกรมที่ 1 ที่ความร้อน 95 องศาเซลเซียส นาน 10 นาที จำนวน 1 รอบ โปรแกรมที่ 2 ที่ 95 องศาเซลเซียส นาน 30 วินาที 50 องศาเซลเซียส นาน 1 นาที และ 72 องศาเซลเซียส นาน 2 นาที จำนวน 30 รอบ และ โปรแกรมที่ 3 ที่ 72 องศาเซลเซียส นาน 10 นาที นำผล

พิชีอาร์ที่ได้มานตรวจสอบโดยวิธีอิเล็กโทรโฟรีซิส บนเจลอะก้าโรส 0.8% เปรียบเทียบขนาดของดีเอ็นเอกับ 1 Kb DNA ladder marker

#### 4. การโคลนยืนที่สังเคราะห์ได้ในเชื้อแบคทีเรีย *E. coli*

##### 4.1 การเขื่อมต่อชิ้นยืนกับพลาสมิด

นำดีเอ็นเอรวมที่สังเคราะห์ได้จากการพิชีอาร์มาทำอิเล็กโทรโฟรีซิสเพื่อแยกขนาดดีเอ็นที่สังเคราะห์ได้บนเจลอะก้าโรส 1% สกัดແນບดีเอ็นเอออกจากเจลโดยใช้ชุด HiYield Gel/PCR DNA Fragment Extraction Kit (RBC Bioscience, สาธารณรัฐอเมริกา) ตัดเจลใส่ในหลอดไนโตรเซนต्रิฟิวจ์ขนาด 1.5 มิลลิลิตร เดิมบัฟเฟอร์ DF 500 ไมโครลิตร บ่มที่อุณหภูมิ 55 องศาเซลเซียส นาน 10 นาที กลับหลอดทุกๆ 2-3 นาที จนเจลละลายผสมให้เข้ากัน ดูดสารละลายใส่คอลัมน์ นำไปหมุนเหวี่ยงที่ 10,000 g นาน 30 วินาที เทสารละลายทึ้ง ล้างด้วย wash buffer 500 ไมโครลิตร หมุนเหวี่ยงที่ 10,000 g นาน 30 วินาที เทบัฟเฟอร์ทึ้งแล้วหมุนเหวี่ยงอีกครั้งนาน 2 นาที เปลี่ยนคอลัมน์ใส่หลอดใหม่ ละลายตะกอนด้วยบัฟเฟอร์ elution buffer 30 ไมโครลิตร ตึงทึ้งไว้ 2 นาที นำไปหมุนเหวี่ยงที่ความเร็วสูงสุด นาน 1 นาที นำสารละลายดีเอ็นเอไปตรวจสอบด้วยวิธีอิเล็กโทรโฟรีซิส บนเจลอะก้าโรส 0.8% นำดีเอ็นเอที่ได้หลังจากการสกัดเจลนำมาเขื่อมต่อกับโคลนนิ่งเวคเตอร์ พลาสมิด pGEM®-T Easy vector (บริษัท Promega, สาธารณรัฐอเมริกา) ที่ประกอบด้วยโพรโนเมเตอร์ T7 และ SP6 ที่ควบคุมการแสดงออกของยีน LacZ ยืนด้านหนันต่อ ya ปฏิชีวนะแอมพิซิลลิน และมีตำแหน่งตัดด้วยเอนไซม์ตัดจำพวกที่ multiple cloning site (ภาคภาชนะที่ 5) เขื่อมต่อดีเอ็นเอกับพลาสมิดด้วยเอนไซม์ T4 DNA ligase (2.5 ยูนิต ต่อ 100 ไมโครลิตร) ผสมกับ 2X reaction buffer (Promega, สาธารณรัฐอเมริกา) นำไปบ่มข้ามคืนที่อุณหภูมิ 14 องศาเซลเซียส

##### 4.2 การเตรียมเชื้อแบคทีเรียเจ้าบ้าน (competent cell) สำหรับเพิ่มปริมาณพลาสมิด

การเตรียมแบคทีเรียเจ้าบ้าน โดยดัดแปลงจากวิธีมาตรฐานของ Sambrook *et al.* (1989) เกลี่ยเชื้อแบคทีเรีย *Escherichia coli* สายพันธุ์ XL1-Blue ให้ได้โคลoniเดี่ยว บนอาหาร Luria-Bertani agar (LA) นำไปบ่มที่อุณหภูมิ 37 องศาเซลเซียส นาน 16 ชั่วโมง ปลูกเชื้อแบคทีเรียโคลoniเดี่ยวลงในอาหาร Luria-Bertani broth (LB) ปริมาณ 3 มิลลิลิตร เบ่าด้วยความเร็ว 250 รอบต่อนาที ที่ 37 องศาเซลเซียส นาน 16 ชั่วโมง นำเชื้อ 500 ไมโครลิตร ลงในอาหาร LB 50 มิลลิลิตร

(อัตรา 1:100) และนำเชื้อไปเลี้ยงต่อเนา 3-4 ชั่วโมง จนเซลล์มีความเข้มข้น  $1 \times 10^8$  เซลล์ต่อ มิลลิลิตร หรือ มีค่า OD<sub>600</sub> ประมาณ 0.4-0.6 ข่ายเชื้อใส่หลอดทดลองขนาด 50 มิลลิลิตร แช่น้ำแข็ง ที่ 4 องศาเซลเซียส นาน 20 นาที ตกลดกอนเซลล์โดยการหมุนเหวี่ยง 4,000 รอบต่อนาที นาน 5 นาที ที่ 4 องศาเซลเซียส เทอาหารทึ้ง ถังเซลล์ด้วยสารละลาย TSS (LB, 10% (w/v) PEG, 5% (v/v) DMSO, 20 mM MgCl<sub>2</sub>) ที่เย็นจัด 10 มิลลิลิตร แช่น้ำแข็ง นาน 5 นาที ตกลดกอนเซลล์ แบบค์ที่เรียกว่าครั้งโดยนำมามาหมุนเหวี่ยงที่ 4,000 รอบต่อนาที นาน 5 นาที ที่ 4 องศาเซลเซียส เทอาหารทึ้ง ละลายตกลดกอนเซลล์ด้วย TSS 1 มิลลิลิตร แช่น้ำแข็งนาน 5 นาที แบ่งเซลล์ที่ได้ 100 ไมโครลิตร ใส่หลอดไมโครเซนติฟิวชันขนาด 1.5 มิลลิลิตร สำหรับนำไปใช้ต่อไป

#### 4.3 การนำดีเอ็นเอสายพสมเข้าสู่เซลล์เจ้าบ้านด้วยวิธี heat shock

นำเซลล์ 100 ไมโครลิตร ที่ผ่านการเตรียม competent cell ผสมกับ ดีเอ็นเอสายพสมที่ได้ในข้อ 4.1 จำนวน 5 ไมโครลิตร แช่ในน้ำแข็งนาน 30 นาที ทำ heat shock โดยบ่มในน้ำที่มีอุณหภูมิ 42 องศาเซลเซียส นาน 1 นาที ข่ายเซลล์แช่น้ำแข็งทันที นาน 2 นาที นำเซลล์ที่ผ่านการทำ heat shock เลี้ยงในอาหาร Luria-Bertani Broth (LB broth) จำนวน 800 ไมโครลิตร เบ่าที่อุณหภูมิ 37 องศาเซลเซียส ความเร็ว 250 รอบต่อนาที นาน 60-90 นาที นำมาตกลดกอนโดยหมุนเหวี่ยงที่ความเร็ว 3,000 g นาน 1 นาที เทอาหารส่วนบนทึ้ง ดูอาหารเลี้ยงแบบค์ที่เรียกว่าครั้งเซลล์ แบบค์ที่เรียกว่าครั้ง LA ที่ผสมยาปฏิชีวนะแอมพิชลิน 50 ไมโครกรัมต่อมิลลิลิตร เติม IPTG (isopropylthio- $\beta$ -D-galactoside) 200 ไมโครกรัมต่อมิลลิลิตร และ X-gal (5-bromo-4-chloro-3-indoyl- $\beta$ -D-galactoside) 20 นาโนกรัมต่อมิลลิลิตร บ่มที่อุณหภูมิ 37 องศาเซลเซียส นานข้ามคืน

#### 4.4 การตรวจสอบโโคโลนีที่คาดว่าได้รับพลาสมิดสายพสม

การตรวจสอบโโคโลนีที่คาดว่าได้รับพลาสมิดสายพสมโดยวิธีพีซีอาร์ ด้วยไพรเมอร์ SP6 และ T7 นำโโคโลนีสีขาวที่คาดว่าได้รับพลาสมิดสายพสมเพิ่มปริมาณบนอาหาร LA ที่ผสมยาปฏิชีวนะแอมพิชลินความเข้มข้น 50 ไมโครกรัมต่อมิลลิลิตร บ่มข้ามคืนที่อุณหภูมิ 37 องศาเซลเซียส บูดเซลล์แบบค์ที่เรียกว่าครั้งแบบละลายในน้ำ 7 ไมโครลิตร ผสมกับ 10X PCR บัฟเฟอร์ 1 ไมโครลิตร, 10mM dNTP 1 ไมโครลิตร, i-Taq DNA Polymerase 0.1 ไมโครลิตร, ไพรเมอร์ SP6 ( $5'$ -GAT AAG AAT TTC ACA CA- $3'$ ) และไพรเมอร์ T7 ( $5'$ -ACG TTG TAA AAC GAC GG- $3'$ ) อัตรา 0.2 ไมโครลิตร และ DMSO 0.5 ไมโครลิตร ทำพีซีอาร์ โดยใช้โปรแกรม 94 องศา

เชลเซียส 5 นาที จำนวน 1 รอบ ต่อด้วย 94 องศาเซลเซียส 30 วินาที 55 องศาเซลเซียส 30 วินาที 72 องศาเซลเซียส 2 นาที จำนวน 30 รอบ และที่ 72 องศาเซลเซียส 10 นาที นำผลพิชีอาร์มาตรวจสอบโดยวิธีอเล็กโโทร โฟร์ซิส บนเจลอะกาโรส 0.8% เปรียบเทียบขนาดของดีเอ็นเอกับ 1 Kb DNA ladder marker

#### 4.5 สกัดพลาสมิดจากแบคทีเรียด้วยวิธีอัลคาไลน์ไลซิส (alkaline lysis)

เลี้ยงแบคทีเรียในอาหาร LB 2 มิลลิลิตร บ่มที่อุณหภูมิ 37 องศาเซลเซียส เข่าด้วยความเร็ว 250 รอบต่อนาที เป็นเวลา 16 ชั่วโมง ตกละกอนเซลล์ที่ความเร็ว 3,000 g เป็นเวลา 5 นาที ละลายเซลล์ด้วย GTE (50 mM glucose, 10 mM EDTA และ 25 mM Tris-HCl pH 8.0) 400 ไมโครลิตร เติมสารละลาย alkaline/SDS solution (0.2 N NaOH และ 1% SDS เตรียมก่อนใช้) 400 ไมโครลิตร ผสมให้เข้ากันโดยกลับหลอดไปมา แซ่ในน้ำแข็งนาน 5 นาที เติม 3 M KOAc (29.4 กรัม Potassium acetate (MW 98.14), 11.5 Glacial acetic acid ) 150 ไมโครลิตร ผสมให้เข้ากันโดยกลับหลอดไปมาแซ่น้ำแข็งนาน 5 นาที นำไปหมุนเหวี่ยงที่ 11,000 g นาน 5 นาที ที่อุณหภูมิห้อง ดูดสารละลายใส่หลอดใหม่ เติม DNase-free RNase (10 มิลลิกรัมต่อมิลลิลิตร) 5 ไมโครลิตร บ่มที่ 37 องศาเซลเซียส นาน 20 นาที สกัดน้ำใสด้วยฟีนอล : คลอโรฟอร์ม (1:1) 400 ไมโครลิตร นำไปหมุนเหวี่ยงที่ 11,000 g เป็นเวลา 2 นาที ที่อุณหภูมิห้อง ดูดน้ำใสส่วนบนมาเติม คลอโรฟอร์ม 400 ไมโครลิตร นำไปหมุนเหวี่ยงที่ 11,000 g เป็นเวลา 2 นาที ที่อุณหภูมิห้อง ดูดน้ำใสส่วนบนมาเติม เอทานอล 95% 1 มิลลิลิตร ที่เย็นจัด ผสมให้เข้ากัน นำไปหมุนเหวี่ยงที่ 10 นาที ที่อุณหภูมิ 4 องศาเซลเซียส ล้างตะกอนด้วย เอทานอล 70% 1 มิลลิลิตร นำไปหมุนเหวี่ยง 1 นาที ที่อุณหภูมิห้อง ดูดเอทานอลทิ้งไป ทำให้ตะกอนแห้ง ละลายตะกอนในน้ำหรือ TE 50 ไมโครลิตร

#### 4.6 การหาลำดับนิวคลีโอไทด์

นำแบคทีเรียที่มีพลาสมิดสายพัฒน์ที่คาดว่าได้รับชิ้นดีเอ็นเอมาแยกสกัดให้ได้ พลาสมิดบริสุทธิ์โดยวิธีอัลคาไลน์ไลซิสด้วย AxyPrep Plasmid Miniprep kit (Axygen Bioscience, สหรัฐอเมริกา) เลี้ยงเชื้อจากโภคินที่ถูกต้องในอาหาร LB ที่มียาปฏิชีวนะแอมพิชลินเข้มข้น 50 ไมโครกรัมต่อมิลลิลิตร ที่อุณหภูมิ 37 องศาเซลเซียส บนเครื่องเขย่าข้ามคืน นำมาหมุนเหวี่ยงเพื่อ ตกละกอนเซลล์แบคทีเรีย ละลายเซลล์ 250 ไมโครลิตร ของ บัฟเฟอร์ S1 แล้วเติม 250 ไมโครลิตร ของ S2 ผสมให้เข้ากัน เติม 350 ไมโครลิตร ของ บัฟเฟอร์ S3 ผสมให้เข้ากัน นำไปหมุนเหวี่ยง 11,000 g นาน 10 นาที นำน้ำใสบรรจุลงในคอนเดนเซอร์ นำไปหมุนเหวี่ยง 1 นาที ล้างตะกอนด้วย

บัฟเฟอร์ W2 หมุนเหวี่ยงอีกรังสีเพื่อให้ก้อนมันแน่น จากนั้นจึงเติม TE ปริมาตร 75 ไมโครลิตร ที่ อุณหภูมิ 65 องศาเซลเซียส นำไปหมุนเหวี่ยงเก็บน้ำใส่ส่วนที่มีพลาสมิคละลายอยู่ นำมาตรวจสอบ ความเข้มข้นโดยวิธีอเล็กโโทรฟอเรซิส เพิ่มปริมาณชิ้นดีอีนเอกสารด้วยเทคนิคพีซีอาร์และ BigDye Terminator v3.1 Cycle Sequencing Kit (Applied BioSystems, สหรัฐอเมริกา) ด้วยไพรเมอร์ SP6 (5'-GAT AAG AAT TTC ACA CA-3') และไพรเมอร์ T7 (5'-ACG TTG TAA AAC GAC GG-3') โดยโปรแกรมที่ 1 ที่ 94 องศาเซลเซียส 5 นาที จำนวน 1 รอบ โปรแกรมที่ 2 ที่ 94 องศาเซลเซียส 30 วินาที 55 องศาเซลเซียส 30 วินาที 72 องศาเซลเซียส 2 วินาที จำนวน 30 รอบ และโปรแกรมที่ 3 ที่ 72 องศาเซลเซียส 10 นาที จำนวน 1 รอบ นำไปศึกษาการเรียงลำดับนิวคลีโอไทด์โดยใช้ เครื่อง ABI 373A Automatic DNA sequencer

นำข้อมูลลำดับนิวคลีโอไทด์ของดีอีนเอที่ได้บางส่วนมาวิเคราะห์ด้วยโปรแกรม คอมพิวเตอร์ เปรียบเทียบความเหมือนและความแตกต่างของลำดับนิวคลีโอไทด์กับยีนที่มีรายงาน โดยเปรียบเทียบกับฐานข้อมูล GenBank ใช้เป็นข้อมูลในการคัดเลือกโคลนเพื่อศึกษาลำดับนิวคลีโอไทด์ให้ครบถ้วนโคลนต่อไป

## 5. การเปลี่ยนเทียบลำดับนิวคลีโอไทด์ และกรดอะมิโนของยีนที่ได้

นำข้อมูลลำดับนิวคลีโอไทด์ของยีนแลคตินที่ได้มาแปลรหัสเป็นกรดอะมิโนด้วย 6 frame translation (<http://searchlauncher.bcm.tmc.edu/seq-util/seq-util.html>) เปรียบเทียบลำดับเบสกับ ข้อมูลใน Genbank โดยใช้โปรแกรม Basic Local Alignment Search Tool (<http://www.ncbi.nlm.nih.gov/blast/>) หากตำแหน่งตัดด้วยเอ็น ใช้ม์ตัดจำเพาะของยีนที่ได้ด้วย โปรแกรม webcutter 2.0 (<http://rna.lundberg.gu.se/cutter2>) เพื่อตรวจสอบความถูกต้องของยีน เลคติน ทั้งในระดับนิวคลีโอไทด์และกรดอะมิโน เปรียบเทียบความเหมือนของโปรตีนแลคตินใน กล้ายไม้สกุลสิงโตที่ได้กับโปรตีนที่มีรายงานในฐานข้อมูลด้วยโปรแกรม ClustalW(2) และสร้าง ความสัมพันธ์ระหว่างโปรตีนของยีนที่โคลนได้โดยการสร้าง phylogenetic tree ด้วยโปรแกรม MEGA4.

### 5.1 การทำนายโครงสร้างตดิยภูมิ

นำข้อมูลลำดับกรดอะมิโนมาทำนายโครงสร้างตดิยภูมิด้วยโปรแกรม SWISS-MODEL ([http://swissmodel.expasy.org/workspace/index.php?func=modelling\\_simple1](http://swissmodel.expasy.org/workspace/index.php?func=modelling_simple1)) เมื่อได้

โครงสร้างที่มีนามสกุล .pdb นำมายังเคราะห์ ตกแต่งโครงสร้างด้วยโปรแกรม spdbv (DeepView / Swiss-PdbViewer 3.7 (SP5)) ในโปรแกรม spdbv สามารถระบุตำแหน่งชนิดของกรดอะมิโน และปรับเปลี่ยนลักษณะโครงสร้างตามต้องการได้

## 6. การศึกษาการแสดงออกของยีน *lectin* ในส่วนต่างๆ ของกลีวัยไม้ ด้วยวิธี Relative Quantification PCR (qPCR)

### 6.1 การเตรียมตัวอย่างอาร์เอ็นเอ

ทำการสักด้าาร์เอ็นเอรวมของกลีวัยไม้จากใบ, ลำลูกกลีวัย และราก โดยใช้วิธี LiCl (Lievens *et al.*, 1997) ในข้อ 2.

ทำการสังเคราะห์ดีเอ็นเอสายแรก ด้วยไพรเมอร์ LectBul-R(62) (*5'*GACATAGCAG CTGAGCCTT $3'$ ) และไพรเมอร์ 5.8rRNA(R) (*5'*GCTTGAAGCCCAGGCAGACG-*3'*) โดยใช้ชุด Ready-To-Go You-Prime first strand kit (GE Healthcare Biosciences, สหรัฐอเมริกา) โดยคละลาย อาร์เอ็นเอปริมาณ 5 ไมโครกรัม ที่ได้จากการแยกดอกกลีวัยไม้ ด้วยน้ำกลั่นหรือ TE buffer (DEPC) 30 ไมโครลิตร นำไปอุ่นที่ 65 องศาเซลเซียส 15 นาที จากนั้นนำไปแช่น้ำแข็งทันที เป็นเวลา 2 นาที เติมอาร์เอ็นเอ 30 ไมโครลิตร และไพรเมอร์ LectBul-R(62) สำหรับยีน *lectin* และไพรเมอร์ 5.8rRNA(R) อย่างละ 1 ไมโครลิตร ใส่ลงในหลอด first strand kit ผสมให้เข้ากัน หมุนเหวี่ยงอย่างรวดเร็วเพื่อให้สารอยู่ที่ก้นหลอด แล้วบ่มที่ 37 องศาเซลเซียส 60 นาที

### 6.2 การศึกษารูปแบบการแสดงออกของยีน *lectin* โดยใช้เทคนิค qPCR

นำดีเอ็นเอสายแรกที่ได้จากการสังเคราะห์จากข้อ 6.1 มาใช้เป็น templates และใช้ specific primers ของยีน *lectin* คือ LectBul-R(62) และ LectLO165S และทำการเบรย์เทิร์บบีน 5.8 rRNA ซึ่งทำให้เป็น normalizer มีลำดับนิวคลีโอไทด์ของ specific primers คือ 5.8 rRNA (F) และ 5.8 rRNA (R) โดยมีส่วนผสมของสารคละลายที่ใช้ทำปฏิกิริยา ดังนี้ First strand DNA (conc.) 0.7 ไมโครลิตร forward primer (conc.) 0.25 ไมโครลิตร reverse primer (conc.) 0.25 ไมโครลิตร buffer Quantimix Easy SYG Kit (Biotools B&M Labs.S.A., สเปน) 5 ไมโครลิตร และ distilled water 3.8 ไมโครลิตร ให้ได้ปริมาตรรวม 10 ไมโครลิตร

ใส่สารละลายที่เตรียมไว้ลงในหลอด qPCR ขนาด 200 ไมโครลิตร ปริมาตร 10 ไมโครลิตร จากนั้นนำไปทำปฏิกิริยาใน Mastercycler Realplex (Eppendorf, สาธารณรัฐอเมริกา) ที่กำหนดให้มีสภาวะการทำงานโดยโปรแกรมที่ 1 ที่ 94 องศาเซลเซียส 4นาที จำนวน 1 รอบ โปรแกรมที่ 2 ที่ 94 องศาเซลเซียส 30 วินาที 51 องศาเซลเซียส 10 วินาที 72 องศาเซลเซียส 20 วินาที จำนวน 40 รอบ และโปรแกรมที่ 3 ที่ 94 องศาเซลเซียส 15 วินาที 60 องศาเซลเซียส 15 วินาที จำนวน 1 รอบ บันทึกผลค่า threshold cycle หรือ  $C_T$  ที่ได้เพื่อใช้ในการวิเคราะห์รูปแบบการแสดงออกของยีน *lectin* ในเนื้อเยื่อส่วนต่างๆ ของกล้วยไม้

### 6.3 การวิเคราะห์ผลที่ได้จาก qPCR

นำค่า  $C_T$  ที่ได้ของทุก ๆ ตัวอย่าง มาทำการคำนวณเพื่อหาค่า relative expression ratio ตามวิธีการของ Livak and Schmittgen (2001) ซึ่งค่า relative expression ratio จะมีสูตรในการคำนวณ ดังนี้

$$\text{Relative expression ratio} = 2^{-\Delta\Delta C_T}$$

นำค่า  $\Delta C_T$  ของรากรกล้วยไม้สิงโตร่วงข้าว ( $(\Delta C_T)_{root}$ ) มาใช้เป็น calibrator สำหรับคำนวณค่า relative expression ratio เพื่อปรับค่า  $\Delta C_T$  ของแต่ละส่วนของกล้วยไม้ ( $(\Delta C_T)_{tissue}$ ) ให้ได้ค่าที่มีฐานเดียวกัน โดยค่าที่ได้จากการคำนวณดังกล่าว เรียกว่า  $\Delta\Delta C_T$

$$\begin{aligned} (\Delta C_T)_{tissue} &= (C_T)_{tissue} - (C_T)_{5.8 \text{ rRNA}} \\ \Delta\Delta C_T &= (\Delta C_T)_{tissue} - (\Delta C_T)_{root} \end{aligned}$$

นำค่า  $\Delta\Delta C_T$  ที่ได้มาคำนวณหาค่า relative expression ratio ตามสูตรการคำนวณข้างต้น โดยใช้โปรแกรม microsoft exel (Microsoft, สาธารณรัฐอเมริกา)

## ผลและวิจารณ์

### 1. การออกแบบไพรเมอร์

1.1 การออกแบบไพรเมอร์ในตำแหน่งกลางยีน *lectin* โดยการเปรียบเทียบลำดับกรดอะมิโนของโปรตีน *lectin* ที่มีรายงานในฐานข้อมูล GenBank ด้วยโปรแกรม ClustalW(2) ในพืช 6 ชนิด คือ กล้วยไม้ *Listera ovata* (accession# gi|431097), กล้วยไม้ *Epipactis helleborine* (accession# gi|436825), กล้วยไม้ *Cymbidium hybrid* (accession# gi|436827), ทิวลิป (*Tulipa* sp.) (accession# gi|1141765), *Crinum asiaticum* var. *sinicum* (accession# gi|28932747), *Typhonium divaricatum* (accession# gi|33943121) ผลจากการทำ multiple alignment พบว่ามีส่วนอนุรักษ์ของลำดับอะมิโน ที่จะนำมาออกแบบไพรเมอร์ (ภาพผนวกที่ 6) มีลำดับกรดอะมิโน DCNLVLY ที่ตำแหน่ง 57-63 บริเวณกลางยีน เหมาะสำหรับใช้เป็นตำแหน่งไพรเมอร์บริเวณกลางยีน

1.2 การออกแบบไพรเมอร์ในตำแหน่งปลาย 5' ของยีน *lectin* โดยการเปรียบเทียบลำดับกรดอะมิโนของโปรตีน *lectin* ที่มีรายงานในฐานข้อมูล GenBank ด้วยโปรแกรม ClustalW(2) ในกล้วยไม้ 3 ชนิด คือ กล้วยไม้ *Listera ovata* (accession# gi|431097), กล้วยไม้ *Epipactis helleborine* (accession# gi|436825), กล้วยไม้ *Cymbidium hybrid* (accession# gi|436827) ผลจากการทำ multiple alignment พบว่ามีส่วนอนุรักษ์ของลำดับอะมิโน ที่จะนำมาออกแบบไพรเมอร์ สำหรับปลาย 5' ของยีน (ภาพผนวกที่ 7) มีลำดับกรดอะมิโน TKNGFSI ที่ตำแหน่ง 3-9 บริเวณหัวยีน และ ลำดับกรดอะมิโน QGSGCYVT ที่ตำแหน่ง 77-84 บริเวณกลางยีน เหมาะสำหรับใช้เป็นตำแหน่งไพรเมอร์บริเวณปลาย 5' ของยีน

1.3 การออกแบบไพรเมอร์ในตำแหน่งกลางยีนเพื่อการตรวจสอบการแสดงออกของยีน *lectin* (ภาพผนวกที่ 7) โดยการนำไพรเมอร์ในข้อ 1.1 คือส่วนอนุรักษ์ของลำดับอะมิโน DCNLVLY ที่ตำแหน่ง 57-63 และออกแบบไพรเมอร์ต้านปลาย 3' ในตำแหน่งอนุรักษ์ที่มีลำดับอะมิโน QGSGCYVT ที่ตำแหน่ง 77-84 สำหรับการสังเคราะห์ดีเอ็นเอขนาด 84 คู่บส เหมาะสำหรับใช้เป็นตัวตรวจสอบการแสดงออกของยีน *lectin*

หลังจากได้ตำแหน่งอนุรักษ์ของลำดับอะมิโนที่เหมาะสมในการสังเคราะห์ยีนแล้วแปลงลำดับกรดอะมิโนให้เป็นลำดับนิวคลีโอไทด์ ทราบนำไปวิเคราะห์การเลือกใช้ลำดับนิวคลีโอไทด์ (codon usage) ให้มีความใกล้เคียงกับตัวอย่างพืชที่ใช้ในการศึกษา แล้วนำไปตรวจสอบค่า  $T_m$

ของไพรเมอร์ควรอยู่ระหว่าง 55-65 องศาเซลเซียส คู่ไพรเมอร์ที่ใช้ในปฏิกิริยาไม่ควรต่างกันเกิน 5 องศาเซลเซียส ปริมาณของ G/C content ไพรเมอร์ที่มี G/C สูง จะเกากับดีเอ็นเอต้นแบบได้อย่างสมบูรณ์ และมีเสถียรภาพ ส่วนไพรเมอร์ที่มี A/T สูง จะให้ค่า  $T_m$  ของไพรเมอร์ต่ำ ต้องทำปฏิกิริยาที่อุณหภูมิต่ำกว่าไป ทำให้คำแนะนำจะไม่ถูกต้อง G/C content ควรอยู่ที่ประมาณ 40-60 เปอร์เซ็นต์ นอกจากนี้นำไปตรวจสอบการเกิดโครงสร้างทุติยภูมิ และการจับกันของของคู่ไพรเมอร์ ด้วยโปรแกรม Net primer ไพรเมอร์ที่ดีต้องไม่เกิดโครงสร้างทุติยภูมิ หรือ ค่า  $\Delta G$  ไม่ควรต่ำกว่า -3 kcal/mol ถ้าต่ำกว่านี้จะมีโอกาสเกิด hairpin loop ได้ การจับกันของของไพรเมอร์ไม่ควรเกิน 4 พันนา และแต่ละช่วงไม่ควรติดกัน ตลอดสายไม่ควรเกิน 8 พันนา (กิตติยา, 2553)

**ตารางที่ 1** ไพรเมอร์ตำแหน่งกลางchein, ปลาย 5' และไพรเมอร์เพื่อใช้ในการตรวจสอบการแสดงออกของยีน *lectin*

	ไพรเมอร์	% G/C content	$\Delta G$	$T_m$ (°C)
LectLO165S	5'-GACTGCAACCTCGCCTCTA- 3'	55.0	-31.92	54.93
LectBul-F(12)	5'-ATGAGTAGCTTCTCCATTAT- 3'	35.0	-28.31	45.66
LectBul-R(62)	5'-GACATAGCAGCTGAGCCTT- 3'	55.0	-33.78	57.05

## 2. การแยกอาร์เอ็นเอจากกลัวยไม้สกุลสิงโต

ในการสกัดอาร์เอ็นเอจากกลัวยไม้สกุลสิงโตจากใบ ลำลูกกลัวย และราก น้ำหนัก 0.45 กรัม ด้วย Lithium chloride (Lievens *et al.*, 1997) สารละลายที่ได้มีลักษณะเหมือนน้ำ หนึ่ง ลิตร เข้ม ตกตะกอนอาร์เอ็นเอด้วย 3M LiCl นาน 24 ชั่วโมง ไม่สามารถแยกอาร์เอ็นเอที่มีคุณภาพดีได้ จึงได้ดัดแปลงวิธีการสกัดอาร์เอ็นเอของ Lievens *et al.* โดยการเติม 20 mM Sodium periodate ( $\text{NaIO}_4$ ) ลงไปในบัฟเฟอร์ เพื่อช่วยในการกำจัดโพลีแซคคาไรด์ (Janjic *et al.*, 2009; Liu *et al.*, 2001; Nikolic *et al.*, 2010) ซึ่งจากผลการทดลองที่สามารถทำให้ดัวอย่างที่ผ่านบัฟเฟอร์มีความหนืดแน่นอย่าง อาร์เอ็นเอที่แยกจากใบของกลัวยไม้สิงโตร่วงข้าว มีปริมาณ 47.3 นาโนกรัมต่อ ไมโครลิตร ลำลูกกลัวย ปริมาณ 38.8 นาโนกรัมต่อ ไมโครลิตร และราก 45.0 นาโนกรัมต่อ ไมโครลิตร จำนวนทั้งหมด 30 ไมโครลิตร โดยประมาณ อาร์เอ็นเอที่แยกได้จากใบกลัวยไม้สิงโต สมอหิน ปริมาณ 41.0 นาโนกรัมต่อ ไมโครลิตร และอาร์เอ็นเอที่แยกได้จากใบกลัวยไม้สิงโต ทอง ปริมาณ 49.1 นาโนกรัมต่อ ไมโครลิตร อย่างไรก็ตาม อาร์เอ็นเอที่แยกได้ทั้งหมดมีคุณภาพค่อนข้างดี (ภาพที่ 1) มีค่า  $A_{260}/A_{280}$  อยู่ในช่วง 1.75-2.1 (ตารางที่ 2)

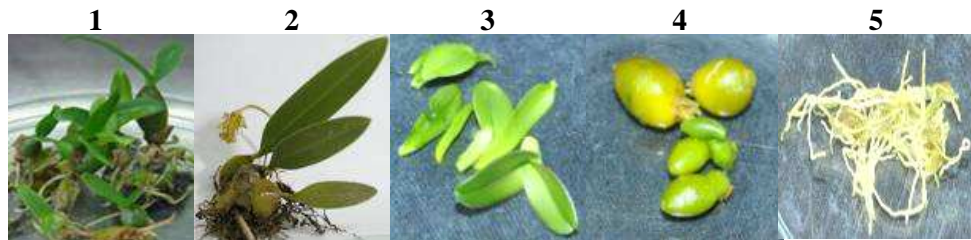
ด้วยวิธีการตกลอกอนอาร์อีนเอ็ดดี้ Lithium chloride สามารถแยกอาร์อีนออกจากกลัวยไม่ได้ทุกส่วน ยกเว้นอาร์อีนจากคำลูกลัวยมีปริมาณน้อย แก้ไขด้วยการแยกอาร์อีนออกจากกลัวยไม่ที่ได้จากการเพาะเลี้ยงเนื้อเยื่อ เพราะทุกส่วนของกลัวยไม่จากการเพาะเลี้ยงเนื้อเยื่อมีความอ่อนกว่ากลัวยไม่ในธรรมชาติ และแยกอาร์อีนเอ็ดดี้วิธี Hot phenol โดยการผสมฟินอลในบัฟเฟอร์ในอัตราส่วนเท่ากันและบ่มที่อุณหภูมิ 80 องศาเซลเซียสก่อนเติมน้ำฟเฟอร์ลงในตัวอย่าง ได้ปริมาณอาร์อีนเอ็ดดี้มีคุณภาพดี 38.8 นาโนกรัมต่อไมโครลิตร ผลการทดลองครั้งนี้พบว่าการแยกอาร์อีนเอจากเนื้อเยื่อในอ่อนได้ปริมาณอาร์อีนเอมากกว่าอาร์อีนเอในแก่ ซึ่งสอดคล้องกับการทดลองของ Sharma *et al.* (2003) ที่แยกอาร์อีนเอจากพืชที่มีโพลีแซคคาไรด์สูงโดยใช้ส่วนต่างๆ ของพืชที่ได้จากการเพาะเลี้ยงเนื้อเยื่อ นอกจากนี้การวัดค่า Optical Density (O.D.) ที่สามารถบอกคุณภาพของอาร์อีนเอที่แยกได้ว่ามีคุณภาพดีหรือไม่ โดยอาร์อีนเอที่มีคุณภาพดี สะอาด ไม่เจือปนโปรตีน และโพลีแซคคาไรด์ต้องมีค่า  $A_{260} / A_{240}$  มากกว่า 1 และมีค่า  $A_{260} / A_{280}$  อยู่ในช่วง 1.8 - 2.0 (Sharma *et al.*, 2003) ซึ่งจากผลการทดลอง อาร์อีนเอจากส่วนใบของกลัวยไม่สิงโต มีคุณภาพค่อนข้างดี มีค่า O.D. อยู่ในช่วง 1.75 - 2.1 แสดงให้เห็นว่า อาร์อีนเอยังมีการปนเปื้อนของโปรตีน และการโบนไซเดรตปริมาณเล็กน้อย ในรากมีค่า O.D. อยู่ในช่วง 1.75 – 1.92 อาร์อีนเอมีคุณภาพดี มีการปนเปื้อนของโปรตีนเล็กน้อย ส่วนในคำลูกลัวย มีค่า O.D. อยู่ในช่วง 1.64 – 2.50 อาร์อีนเอ มีคุณภาพไม่ดี เพราะมีการปนเปื้อนของโปรตีนและการโบนไซเดรตปริมาณมาก อาจเป็นเพราะว่า ในส่วนคำลูกลัวย (pseudobulb) ของกลัวยไม่น้ำเป็นที่เก็บสะสมอาหารและน้ำ (วีระชัย และ สุรางค์รัชต์, 2552) จึงทำให้มีสารอาหารจำพวกโปรตีนและการโบนไซเดรตอยู่ปริมาณมาก การสกัดอาร์อีนเอจากส่วนนี้จึงทำได้ยาก

การแยกอาร์อีนเอด้วย LiCl ตามวิธีของ Lievens *et al.* (1997) บัฟเฟอร์จะประกอบด้วย Tris-HCl ทำหน้าที่รักษาสภาพของอาร์อีนเอ SDS ทำหน้าที่ทำลายโครงสร้างของเชลล์ EDTA ทำหน้าที่เป็น chelator ช่วยยับยั้งการทำงานของไโรบินิวคลีอส ร่วมกับฟินอลที่ทำให้โปรตีนเสียสภาพ 3M LiCl ช่วยในการตกลอกตอกอนอาร์อีนเอ ในขณะที่การตกลอกตอกอนด้วย NaOAc และ เอทานอลจะสามารถช่วยลดปริมาณของสารโพลีแซคคาไรด์ได้ การเติมเอนไซม์ DnaseI จะสามารถกำจัดจีโนมิกดีเอ็นเอที่ปนเปื้อน (Manickavelu *et al.*, 2007) ซึ่งการแยกอาร์อีนเอจากกลัวยไม่โดยใช้ LiCl เป็นวิธีที่เหมาะสม เพราะในกลัวยไม่ส่วนใหญ่มีโพลีแซคคาไรด์ปริมาณมาก เช่นเดียวกับงานวิจัยของ Wanqian *et al.* (2005) ที่แยกอาร์อีนเอจากแคลลัสของกลัวยไม้สกุล *Dendrobium candidum* ซึ่งมีปริมาณโพลีแซคคาไรด์สูง ด้วย LiCl อาร์อีนเอที่ได้มีคุณภาพดี เพราะมีค่า  $A_{260}/A_{230} = 3.98$  และค่า  $A_{260}/A_{280} = 1.953$  และถ้าต้องการอาร์อีนเอในปริมาณมากต้องเพิ่ม

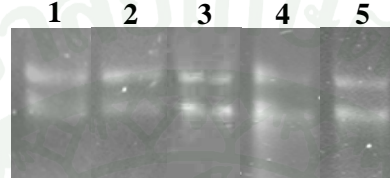
ปริมาณพืชและเพิ่มปริมาณบัฟเฟอร์ การเพิ่มปริมาณบัฟเฟอร์จะช่วยลดความหนืดของสารละลาย ในขั้นตอนการแยกอาร์เอ็นเอได้ (Salzman *et al.*, 1999)

สิ่งสำคัญในการแยกอาร์เอ็นเอ คือการป้องกันการสลายตัวของอาร์เอ็นเอในระหว่าง ขั้นตอนการสกัด วิธีการแยกอาร์เอ็นเอในพืชเริ่มต้นจากการทำลายโครงสร้างของผนังเซลล์พืช ซึ่ง ประกอบด้วย cellulose, pectin และ xyloglucans การใช้วิธีกลีเซอร์ที่มีประสิทธิภาพในการ ทำลายโครงสร้างผนังเซลล์ โดยการบดชิ้นส่วนพืชที่ต้องการแยกอาร์เอ็นเอด้วยไนโตรเจนเหลว ใน สภาพอุณหภูมิต่ำเย็น ไชม์ ribonuclease ไม่สามารถทำงานได้ การสกัดจะทำร่วมกับการเติม extraction buffer ที่ประกอบด้วยสารเคมีหลายชนิดที่มีคุณสมบัติช่วยในการทำงานของเอนไซม์ย่อย ดีเอ็นเอ (nuclease) รักษาสภาพของอาร์เอ็นเอ ทำลายโครงสร้างของเซลล์เมมเบรน ที่ประกอบด้วย โปรตีน และไขมันเพื่อทำให้เซลล์แตกออก และปลดปล่อยอาร์เอ็นเอออกจากสู่ภายนอกเซลล์ ซึ่งการ ทำลายเซลล์เมมเบรนนี้มีผลต่อปริมาณของอาร์เอ็นเอที่แยกได้ (อัญชรีร์, 2548) นอกจากนี้อุปกรณ์ ที่ใช้ในการสกัดอาร์เอ็นเอกล่าวผ่านกระบวนการทำให้ปลอดจากเอนไซม์ RNase รวมทั้งการใส่ถุง มือทุกครั้งที่ต้องจับอุปกรณ์ที่ใช้สำหรับการสกัดอาร์เอ็นเอ เพื่อลดการปนเปื้อนของเอนไซม์ RNase จากผิวน้ำ เนื่องจากเอนไซม์ RNase มีผลทำให้อาร์เอ็นเอสลายตัว มีผลต่อปริมาณอาร์เอ็นเอที่แยกได้ เช่นเดียวกับที่ Surzycki (2000) กล่าวไว้ว่า การกำจัดโปรตีนที่ปนเปื้อนออกจากเซลล์ โดยใช้ สารที่มีคุณสมบัติในการทำให้โปรตีนเสื่อมสภาพ เช่น guanidium hydrochloride, guanidium isothiocyanate, คลอโรฟอร์ม และฟีนอล เป็นส่วนผสมในบัฟเฟอร์ ขั้นตอนต่อมาเป็นการ ตกรตะกอนแยกเฉพาะส่วนที่เป็นอาร์เอ็นเอออกจากดีเอ็นเอ และโปรตีน ด้วยไอโซไฟฟ์ฟานอล หรือ เกลือที่มีความเข้มข้นสูง เช่น NaOAc หรือ LiCl หลังจากนั้นจะเป็นขั้นตอนการทำความสะอาด อาร์เอ็นเอ เพื่อให้ได้อาร์เอ็นเอที่มีคุณภาพดี นอกจากนี้ขั้นตอนการแยกอาร์เอ็นเอจำเป็นต้อง ระมัดระวังการปนเปื้อนของเอนไซม์ RNase ทุกขั้นตอน รวมทั้งอุปกรณ์และสารเคมีที่ใช้ บัฟเฟอร์ และน้ำกลั่นที่ใช้ต้องเตรียมจากน้ำกลั่นที่เติมสาร DEPC (Diethyl pyrocarbonate) 0.1% เนื่องจาก สาร DEPC มีคุณสมบัติช่วยยับยั้งการทำงานของเอนไซม์ RNase โดยการทำลายโปรตีนให้เสื่อมสภาพ

ก



ข



**ภาพที่ 1** ตัวอย่างกล้วยไม้และเจลอิเล็กโทร โพร์ซีสของ การสกัดสารอีนเอื่อย LiCl ที่เติม Sodium periodate และวิธี Hot phenol ในส่วนลำลูกกล้วย (ก,ข)

- (1) ใบกล้วยไม้สิงโตสมอหิน
- (2) ใบกล้วยไม้สิงโตวางทอง
- (3) ใบกล้วยไม้สิงโตวางข้าว
- (4) ลำลูกกล้วยกล้วยไม้สิงโตวางข้าว
- (5) รากกล้วยไม้สิงโตวางข้าว

**ตารางที่ 2** คุณภาพอาร์อีนเอ, ตัวอย่างพืชในแต่ละส่วนและวิธีสกัดสารอีนเอ

ตัวอย่าง	$A_{260}/A_{280}$	$A_{260}/A_{230}$	ng/ $\mu$ l	วิธีสกัด
ใบกล้วยไม้สิงโตวางข้าว	1.92	1.49	47.3	LiCl+ NaIO <sub>4</sub>
ใบกล้วยไม้สิงโตสมอหิน	2.01	1.78	41.0	LiCl+ NaIO <sub>4</sub>
ใบกล้วยไม้สิงโตวางทอง	2.02	1.85	49.1	LiCl+ NaIO <sub>4</sub>
รากกล้วยไม้สิงโตวางข้าว	1.75	1.78	45.0	LiCl+ NaIO <sub>4</sub>
ลำลูกกล้วยกล้วยไม้สิงโตวางข้าว	1.64	1.33	38.8	Hot Phenol

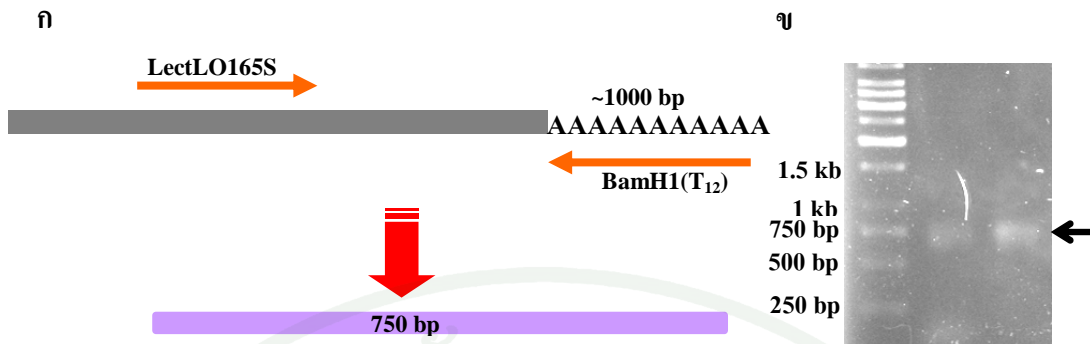
### 3. การสังเคราะห์ดีเอ็นเอจากอาร์เอ็นเอด้วยวิธี RT-PCR

#### 3.1 การสังเคราะห์ดีเอ็นเอยีน *lectin* ของปลาย 3' จากอาร์เอ็นเอในกล้ามไม่สิงโตสมอหิน และสิงโตตรวจข้าว

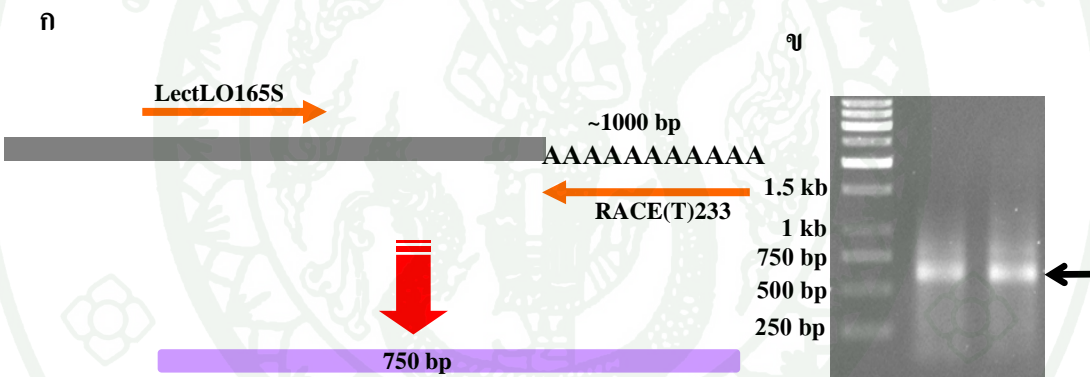
3.1.1 ผลจากการแยกอาร์เอ็นเอรวมจากใบกล้ามไม่สิงโตสมอหินและสิงโตตรวจข้าวด้วย  $\text{LiCl} + \text{NaIO}_4$  นำอาร์เอ็นเอที่ได้ปริมาณ 1 ไมโครกรัม มาสร้างดีเอ็นเอสาขแรก (cDNA) ด้วย Ready-To-Go You-Prime first strand kit โดยใช้ไพรเมอร์ RACE(T) 233 และ BamH1( $T_{12}$ ) ในสิงโตสมอหิน และสิงโตตรวจข้าว สำหรับสังเคราะห์ยีนปลาย 3' จากนั้นเพิ่มปริมาณของดีเอ็นเอด้วยวิธีพีซีอาร์ในหลอดทดลองขนาด 200 ไมโครลิตร โดยใช้เอนไซม์ i-Taq DNA Polymerase (Intron Biotechnology, เกาหลี) จะกล่าวต่อไปดังนี้

##### 3.1.1.1 การเพิ่มปริมาณดีเอ็นเอของยีน *lectin* บริเวณปลาย 3' ของกล้ามไม่สิงโตสมอหินและกล้ามไม่สิงโตตรวจข้าว

นำดีเอ็นเอสาขแรกของใบกล้ามไม่สิงโตสมอหินและสิงโตตรวจข้าวมาเป็นต้นแบบในการสังเคราะห์ยีน *lectin* ด้วยคู่ไพรเมอร์ LectLO165S คู่กับ BamH1( $T_{12}$ ) ในสิงโตสมอหินและคู่ไพรเมอร์ LectLO165S คู่กับ RACE(T)233 ในสิงโตตรวจข้าว ทำพีซีอาร์ด้วยโปรแกรม step up ดังนี้ โปรแกรมที่ 1 ที่ 95 องศาเซลเซียส นาน 5 นาที จำนวน 1 รอบ โปรแกรมที่ 2 ที่ 95 องศาเซลเซียส 30 วินาที 50 องศาเซลเซียส 1 นาที 72 องศาเซลเซียส 2 นาที จำนวน 10 รอบ โปรแกรมที่ 3 ที่ 95 องศาเซลเซียส 30 วินาที 55 องศาเซลเซียส 1 นาที 72 องศาเซลเซียส 2 นาที จำนวน 20 รอบ และโปรแกรมที่ 4 ที่ 72 องศาเซลเซียส นาน 10 นาที นำผลพีซีอาร์ที่ได้มาตรวจสอบ โดยวิธีอิเล็ก troponin test บนเจลอะการ่า 0.8% พบร้าสามารถสังเคราะห์ดีเอ็นเอขนาด 750 คู่เบส ซึ่งดีเอ็นเอที่ได้มีขนาดใกล้เคียงกับขนาดที่คาดหวัง (ภาพที่ 2 และภาพที่ 3)



ภาพที่ 2 การสังเคราะห์ส่วนของยีน *lectin* ปลาย 3' ของกลีวายไม้สิงโตสมอหิน ด้วยวิธีพีซีอาร์  
 (ก) แผนภาพการสังเคราะห์ของยีน *lectin* ปลาย 3'  
 (บ) เจลオリเอ็ก tro-PCR ของชิ้นดีเอ็นเอยีน *lectin* ปลาย 3' โดยคู่ไพรเมอร์ LectLO165S  
 - BamH1(T<sub>12</sub>) ขนาด 750 คูเบต



ภาพที่ 3 การสังเคราะห์ส่วนของยีน *lectin* ปลาย 3' ของกลีวายไม้สิงโตตรวจข้าว ด้วยวิธีพีซีอาร์  
 (ก) แผนภาพการสังเคราะห์ของยีน *lectin* ปลาย 3'  
 (บ) เจลオリเอ็ก tro-PCR ของชิ้นดีเอ็นเอยีน *lectin* ปลาย 3' โดยคู่ไพรเมอร์ LectLO165S  
 - RACE(T)233 ขนาด 750 คูเบต

### 3.2 การสังเคราะห์ดีเอ็นเอยีน *lectin* ของปลาย 5' จากอาร์เอ็นเอในกล้ามไม้สิ่งโตรวงทอง และสิ่งโตรวงข้าว

3.2.1 ผลจากการแยกอาร์เอ็นเอรวมจากใบกล้ามไม้สิ่งโตรวงทองและสิ่งโตรวงข้าว ด้วย LiCl+ NaIO<sub>4</sub> นำอาร์เอ็นเอที่ได้ปริมาณ 1 ไมโครกรัม มาสร้างดีเอ็นเอสายแรค (cDNA) ด้วย Ready-To-Go You-Prime first strand kit โดยใช้ไพรเมอร์ LectBul-R(62) ในสิ่งโตรวงทอง และ สิ่งโตรวงข้าว สำหรับสังเคราะห์ยีนปลาย 5' จากนั้นเพิ่มปริมาณของดีเอ็นเอด้วยวิธีพิชีอาร์ในหลอด ทดลองขนาด 200 ไมโครลิตร โดยใช้เอนไซม์ i-Taq DNA Polymerase (Intron Bioteecnology, เกาหลี) จะกล่าวต่อไปดังนี้

#### 3.2.1.1 การเพิ่มปริมาณดีเอ็นเอของยีน *lectin* บริเวณปลาย 5' ของกล้ามไม้สิ่งโตรวงทองและกล้ามไม้สิ่งโตรวงข้าว

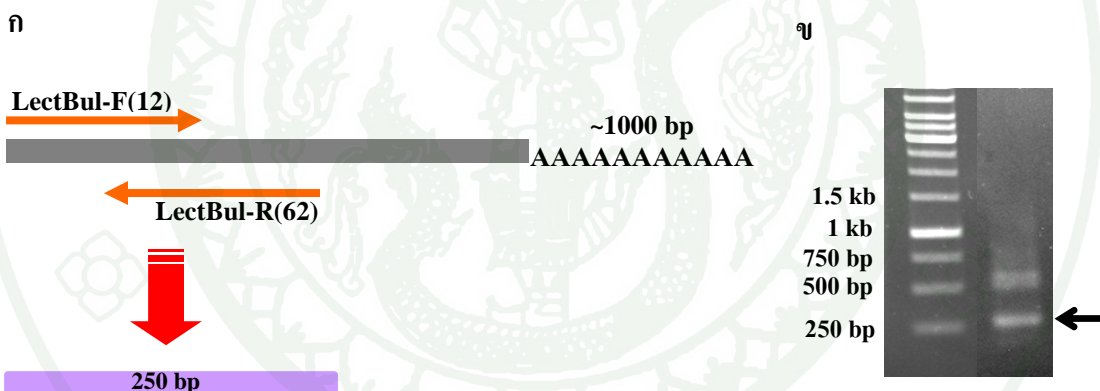
นำดีเอ็นเอสายแรคของใบกล้ามไม้สิ่งโตรวงทองและสิ่งโตรวงข้าวมา เป็นต้นแบบในการสังเคราะห์ยีน *lectin* ด้วยคู่ไพรเมอร์ LectBul-F(12) คู่กับ LectBul-R(62) ทำพิชี อาร์ด้วยโปรแกรมที่ 1 ที่ 95 องศาเซลเซียส นาน 10 นาที จำนวน 1 รอบ โปรแกรมที่ 2 ที่ 95 องศา เซลเซียส 30 วินาที 62 องศาเซลเซียส 1 นาที 72 องศาเซลเซียส 2 นาที จำนวน 30 รอบ และ โปรแกรมที่ 3 ที่ 72 องศาเซลเซียส นาน 10 นาที ตรวจสอบโดยวิธีอิเล็ก tro-ฟอเรชิส บนเจลอะกา โรส 0.8% พนว่าสามารถสังเคราะห์ดีเอ็นเอขนาด 250 คู่เบส ซึ่งดีเอ็นเอที่ได้มีขนาดใกล้เคียงกับ ขนาดที่คาดหวัง (ภาพที่ 4 และภาพที่ 5)



ภาพที่ 4 การสังเคราะห์ส่วนของยีน *lectin* ปลาย 5' ของกล้วยไม้สิงโตร่วงทอง ด้วยวิธีพีซีอาร์

(ก) แผนภาพการสังเคราะห์ของยีน *lectin* ปลาย 5'

(ข) เกลอิเล็ก tro-PCR ชิ้นดีเอ็นเอยีน *lectin* ปลาย 5' โดยคู่ไพรเมอร์ LectBul-F(12)  
- LectBul-R(62) ขนาด 250 คูเบต



ภาพที่ 5 การสังเคราะห์ส่วนของยีน *lectin* ปลาย 5' ของกล้วยไม้สิงโตร่วงข้าว ด้วยวิธีพีซีอาร์

(ก) แผนภาพการสังเคราะห์ของยีน *lectin* ปลาย 5'

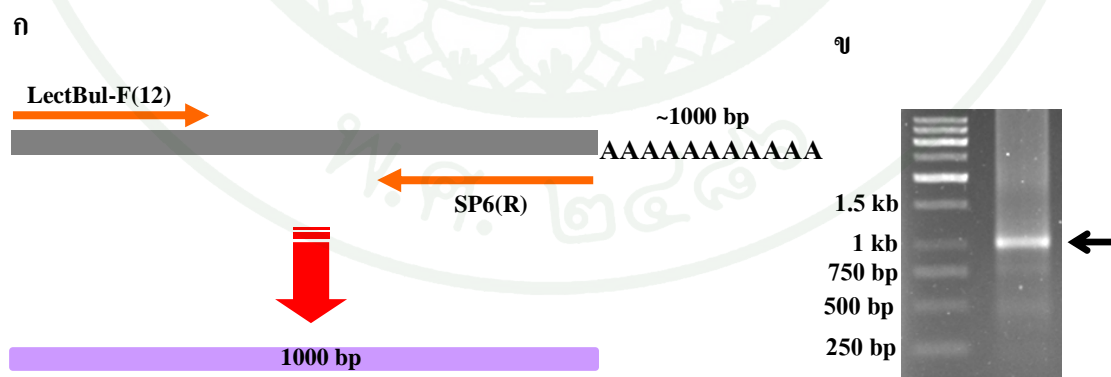
(ข) เกลอิเล็ก tro-PCR ชิ้นดีเอ็นเอยีน *lectin* ปลาย 5' โดยคู่ไพรเมอร์ LectBul-F(12)  
- LectBul-R(62) ขนาด 250 คูเบต

### 3.3 การสังเคราะห์ดีเอ็นเอยีน *lectin* เต็มยีน ในกล้ามไม้สิ่งไตรวงข้าว

3.3.1 ในสิ่งไตรวงข้าวสังเคราะห์ยีนได้จากปลาย 5' และปลาย 3' เมื่อตรวจสอบว่า เป็นยีน *lectin* จากกล้ามไม้สิ่งไตรวงข้าวแล้ว จึงสังเคราะห์ยีน *lectin* เต็มยีนอีกรอบโดยนำโคลนที่ได้มาต่อ กัน ต้มที่น้ำเดือดอุณหภูมิ 100 °C เป็นเวลา 10 นาทีแล้ววางไว้ที่อุณหภูมิห้อง 10 นาที จากนั้นเพิ่มปริมาณของดีเอ็นเอด้วยวิธีพีซีอาร์ในหลอดทดลองขนาด 200 ไมโครลิตร โดยใช้เอนไซม์ i-Taq DNA Polymerase (Intron Biotechnology, เกาหลี) จะกล่าวต่อไปดังนี้

#### 3.3.1.1 การเพิ่มปริมาณดีเอ็นเอของยีน *lectin* เต็มยีนของกล้ามไม้สิ่งไตรวงข้าว

นำ PCR product จากข้อ 3.3.1 ของสิ่งไตรวงข้าวมาเป็นต้นแบบในการสังเคราะห์ยีน *lectin* ด้วยคู่ไพรเมอร์ LectBul-F(12) คู่กับ SP6 ซึ่งเป็น Universal primer ทำพีซีอาร์ด้วยโปรแกรมที่ 1 ที่ 95 องศาเซลเซียส นาน 5 นาที จำนวน 1 รอบ โปรแกรมที่ 2 ที่ 95 องศาเซลเซียส 30 วินาที 55 องศาเซลเซียส 1 นาที 72 องศาเซลเซียส 90 วินาที จำนวน 30 รอบ และโปรแกรมที่ 3 ที่ 72 องศาเซลเซียส นาน 5 นาที ตรวจสอบโดยวิธีอิเล็ก tro-forensics บนเจลอะกัวโรส 0.8% พบร่วมกับขนาดที่คาดหวัง (ภาพที่ 6)



ภาพที่ 6 การสังเคราะห์ส่วนของยีน *lectin* เต็มยีน ของกล้ามไม้สิ่งไตรวงข้าว ด้วยวิธีพีซีอาร์

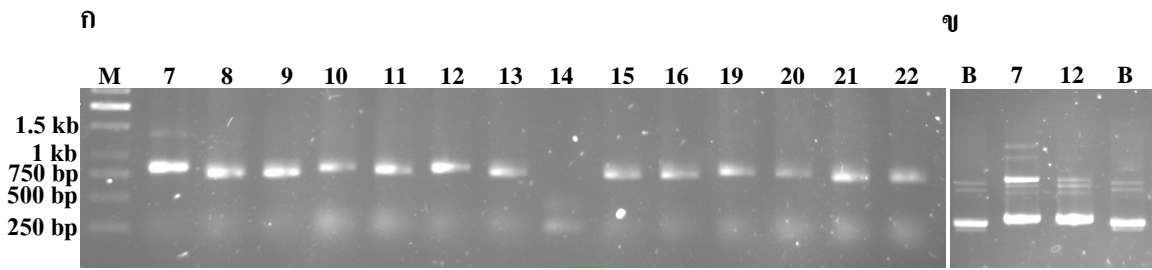
- (ก) แผนภาพการสังเคราะห์ของยีน *lectin* เต็มยีน
- (ข) เجلอิเล็ก tro-forensics ของชิ้นดีเอ็นเอยีน *lectin* เต็มยีน โดยคู่ไพรเมอร์ LectBul-F(12) – SP6 ขนาด 1000 คู่เบส

## 4. การโคลนยืนที่สังเคราะห์ได้จากกลั่วымีสกุลสิงโตในเชื้อแบคทีเรีย *E. coli*

### 4.1 การโคลนยืน *lectin* จากกลั่วымีสิงโตสมอหิน

นำดีเอ็นเอด้านปลาย 3' ของยืน *lectin* ขนาดประมาณ 750 คู่เบส ที่สังเคราะห์ได้จาก อาร์เอ็นเอของกลั่วымีสิงโตสมอหินด้วยวิธีพิชีอาร์ มาทำอิเล็ก tro ไฟรีซิสบันเจโลกาโรส 1% สกัดดีเอ็นเอจากเจลโดยใช้ชุด HiYield Gel/PCR DNA Fragment Extraction Kit นำชิ้นดีเอ็นเอที่ได้มามาเชื่อมต่อกับ พลาสมิด pGEM®-T Easy vector เพื่อถ่ายเข้าในแบคทีเรีย *E. coli* สายพันธุ์ XL-1 Blue คัดเลือกบนอาหารที่มียาปฏิชีวนะแอมพิซิลิน ได้โคลนที่มีโคลนีสีขาวจำนวน 16 โคลน และโคลนีสีฟ้าจำนวน 19 โคลน

การตรวจสอบขนาดดีเอ็นเอที่โคลนได้ โดยเลือกโคลนหนาที่คาดว่าจะได้รับชิ้นดีเอ็นเอจำนวน 14 โคลน คือ โคลนหมายเลข 7, 8, 9, 10, 11, 12, 13, 14, 15, 16, 19, 20, 21 และ 22 นำมาตรวจสอบขนาดชิ้นดีเอ็นเอสายพสม ด้วยวิธีการทำพิชีอาร์ด้วยคู่ไฟเมอร์ SP6-T7 (Universal primer) จากนั้นนำไปตรวจสอบขนาดโดยการทำวิธีอิเล็ก tro ไฟรีซิส บนเจโลกาโรส 0.8% พบว่า ได้โคลนที่มีชิ้นดีเอ็นเอขนาดประมาณ 750 คู่เบส นำโคลนที่มีชิ้นดีเอ็นเอที่มีขนาดถูกต้องมาทำให้บริสุทธิ์โดยการแยกพลาสมิดด้วยวิธีอัลคาไลน์ไลซิส ผลการสกัดพลาสมิดด้วยวิธีนี้ได้พลาสมิดประมาณ 1-2 ไมโครกรัม แต่อย่างไรก็ตาม พลาสมิดที่แยกได้มีการปนเปื้อนของจีโนมิกดีเอ็นเอ ซึ่งอาจส่งผลกระทบกับการปฏิกริยาในการทำพิชีอาร์ในขั้นตอนวิเคราะห์หาลำดับนิวคลีโอไทด์ได้ จึงเลือกโคลนที่จะนำไปวิเคราะห์หาลำดับนิวคลีโอไทด์มาสกัดด้วยชุดสกัดพลาสมิด AxyPrep Plasmid Miniprep kit (Axygen Bioscience, สหรัฐอเมริกา)



**ภาพที่ 7 การตรวจสอบพลาสมิดที่ได้รับชิ้นดีอีนเอกสาร 3' ยีน *lectin* ของกล้วยไม้สิงโตสมอหิน**

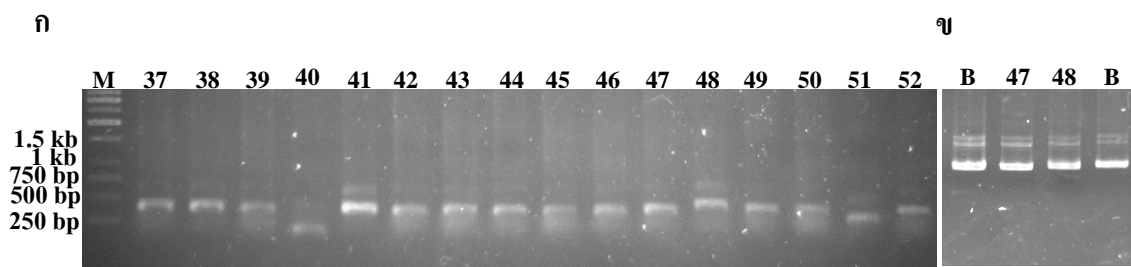
(ก) ขนาดของยีน *lectin* ด้านปลาย 3' ที่สังเคราะห์ได้จาก 14 โคลน

(ข) พลาสมิดสายพsmของยีน *lectin* ด้านปลาย 3' เปรียบเทียบกับ (B) พลาสมิด pGEM<sup>®</sup>-T Easy ที่ไม่ได้รับชิ้นดีอีนเอกสาร

#### 4.2 การโคลนยีน *lectin* จากกล้วยไม้สิงโตตรวจสอบ

นำดีอีนเอกสารด้านปลาย 5' ของยีน *lectin* ขนาดประมาณ 250 คู่เบส ที่สังเคราะห์ได้จาก อาร์อีนเอกสารของกล้วยไม้สิงโตตรวจสอบด้วยวิธีพีซีอาร์ มาทำอิเล็ก tro ไฟรีซิสบันเจลอะกาโรส 1% สกัดดีอีนเอกสารจากเจลโดยใช้ชุด HiYield Gel/PCR DNA Fragment Extraction Kit นำชิ้นดีอีนเอกสารที่ได้มาเชื่อมต่อกับ พลาสมิด pGEM<sup>®</sup>-T Easy vector เพื่อถ่ายเข้าในแบคทีเรีย *E. coli* สายพันธุ์ XL-1 Blue คัดเลือกบนอาหารที่มียาปฏิชีวนะแอมพิซิลลิน ได้โคลนที่มีโคลนีสีขาวจำนวน 74 โคลน และโคลนีสีฟ้าจำนวน 16 โคลน

การตรวจสอบขนาดดีอีนเอกสารโคลนได้ โดยเลือกโคลนีสีขาวที่คาดว่าจะได้รับชิ้นดีอีนเอกสารจำนวน 16 โคลน คือ โคลนหมายเลข 37, 38, 39, 40, 41, 42, 43, 44, 45, 46, 47, 48, 49, 50, 51 และ 52 นำมาตรวจสอบขนาดชิ้นดีอีนเอกสารสายพsm ด้วยวิธีการทำพีซีอาร์ด้วยคู่ไฟรเมอร์ SP6-T7 (Universal primer) จากนั้นนำไปตรวจสอบขนาดโดยการทำวิธีอิเล็ก tro ไฟรีซิส บนเจลอะกาโรส 0.8% พบว่าได้โคลนที่มีชิ้นดีอีนเอกสารขนาดประมาณ 250 คู่เบส นำโคลนที่มีชิ้นดีอีนเอกสารที่มีขนาดถูกต้องมาทำให้บริสุทธิ์โดยการแยกพลาสมิดด้วยวิธีอัลตราไวน์ไลซิส ผลการสกัดพลาสมิดด้วยวิธีนี้ได้พลาสมิดประมาณ 1-2 ไมโครกรัม แต่อย่างไรก็ตาม พลาสมิดที่แยกได้มีการปนเปื้อนของจีโนมิก ดีอีนเอกสาร ซึ่งอาจส่งผลกระทบกับปฏิกริยาการทำพีซีอาร์ในขั้นตอนวิเคราะห์หาลำดับนิวคลีโอ ไทด์ได้ จึงเลือกโคลนที่จะนำไปวิเคราะห์หาลำดับนิวคลีโอ ไทด์มาสกัดด้วยชุดสกัดพลาสมิด AxyPrep Plasmid Miniprep kit (Axygen Bioscience, สาธารณรัฐอเมริกา)



**ภาพที่ 8 การตรวจสอบพลาสมิดที่ได้รับชิ้นดีอีนเอปaley 5' ยีน *lectin* ของกล้วยไม้สิงโต皱纹ทอง**

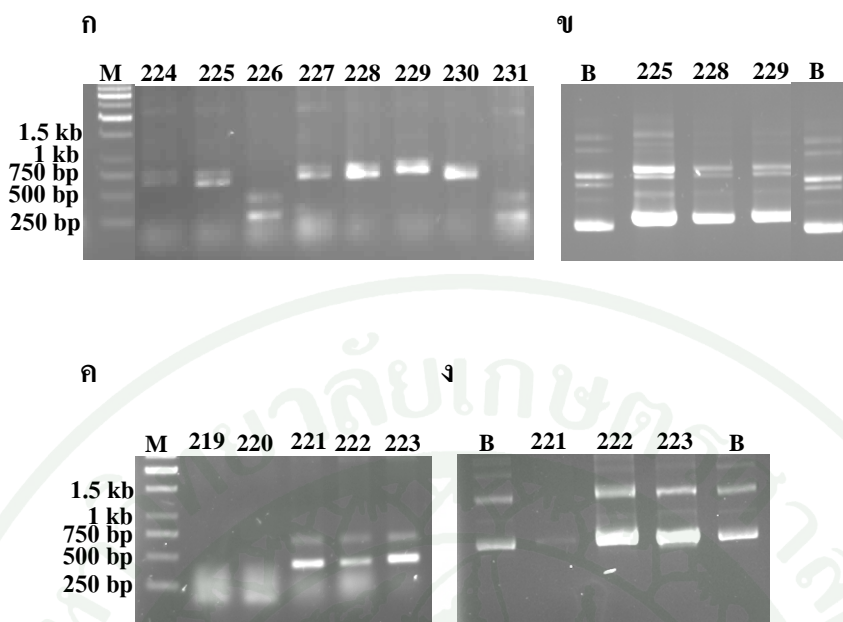
(ก) ขนาดของยีน *lectin* ด้านปลาย 5' ที่สังเคราะห์ได้จาก 16 โคลน

(ข) พลาสมิดสายพสมของยีน *lectin* ด้านปลาย 5' เปรียบเทียบกับ (B) พลาสมิด pGEM<sup>®</sup>-T Easy ที่ไม่ได้รับชิ้นดีอีนเอ

#### 4.3 การโคลนยีน *lectin* จากกล้วยไม้สิงโต皱纹ข้าว

นำดีอีนเอของยีน *lectin* ด้านปลาย 3' และปลาย 5' ที่สังเคราะห์ได้จากการอีนเอของกล้วยไม้สิงโต皱纹ข้าวด้วยวิธีพีซีอาร์ ขนาด 750 คู่เบส และ 250 คู่เบส ตามลำดับ นำมาโคลนในพลาสมิด pGEM<sup>®</sup>-T Easy แล้วคัดเลือกบนอาหารที่มียาปฏิชีวนะแอมพิซิลลิน ผลการค่าอยพลาสมิดพบว่ายีน *lectin* ด้านปลาย 3' ได้โคลนที่มีโคลนีสีขาวจำนวน 25 โคลน ด้านปลาย 5' พบว่าได้โคลนที่มีโคลนีสีขาวจำนวน 5 โคลน และโคลนีสีฟ้าจำนวน 10 โคลน

การตรวจสอบขนาดดีอีนเอที่โคลนได้ โดยเลือกโคลนที่มีโคลนีสีขาว ที่คาดว่าจะได้รับชิ้นดีอีนเอของยีน *lectin* ด้านปลาย 3' คือ โคลนหมายเลข 224, 225, 226, 227, 228, 229, 230 และ 231 จำนวน 8 โคลน และโคลนที่มีโคลนีสีขาวด้านปลาย 5' จำนวน 5 โคลน คือ โคลนหมายเลข 219, 220, 221, 222 และ 223 นำมาตรวจสอบชิ้นดีอีนเอสายพสม ด้วยการทำพีซีอาร์โดยใช้คู่ไพรเมอร์ SP6-T7 (Universal primer) จากนั้นนำไปตรวจสอบขนาดด้วยการทำอิเล็ก tro โฟร์ซิสบนเจลอะกอโรส 0.8% พบร่วงโคลนที่มีชิ้นยีน *lectin* เมื่อทำพีซีอาร์จะได้ดีอีนเอขนาดประมาณ 750 และ 250 คู่เบส ตามลำดับ นำโคลนที่มีชิ้นดีอีนเอที่มีขนาดถูกต้องมาทำให้บริสุทธิ์โดยการแยกพลาสมิดด้วย วิธีอัลคาไลน์ไลซิส ผลการสกัดพลาสมิด ด้วยวิธีนี้พบว่าได้พลาสมิดประมาณ 1-2 ไมโครกรัม แต่อย่างไรก็ตามพลาสมิดที่แยกได้มีการปนเปื้อนของจีโนมิกดีอีนเอ ซึ่งอาจส่งผลกระทบกับภูมิคุ้มกันในการทำพีซีอาร์ในขั้นตอนวิเคราะห์ลำดับนิวคลีโอไทด์ได้ จึงเลือกโคลนที่จะนำไปวิเคราะห์หาลำดับนิวคลีโอไทด์มาสกัดด้วยชุดสกัดพลาสมิด AxyPrep Plasmid Miniprep kit (Axygen Bioscience, สหรัฐอเมริกา)



ภาพที่ 9 การตรวจสอบพลาสมิดที่ได้รับชิ้นดีเอ็นเอปลาย 3' และปลาย 5' ยืน *lectin* ของกลั่วຢายไม้สิงโตร่วงข้าว

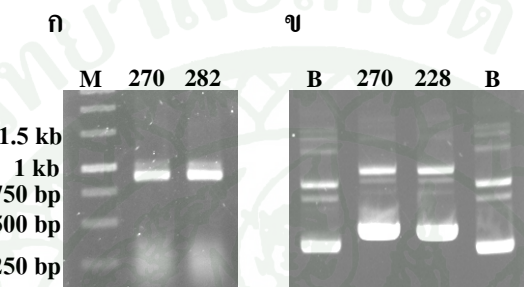
- (ก) ขนาดของยืน *lectin* ด้านปลาย 3' ที่สังเคราะห์ได้จาก 8 โคลน
- (ข) พลาสมิดสายพsmของยืน *lectin* ด้านปลาย 3' เปรียบเทียบกับ (B) พลาสมิด pGEM®-T Easy ที่ไม่ได้รับชิ้นดีเอ็นเอ
- (ก) ขนาดของยืน *lectin* ด้านปลาย 5' ที่สังเคราะห์ได้จาก 5 โคลน
- (จ) พลาสมิดสายพsmของยืน *lectin* ด้านปลาย 5' เปรียบเทียบกับ (B) พลาสมิด pGEM®-T Easy ที่ไม่ได้รับชิ้นดีเอ็นเอ

#### 4.4 การโคลนยืน *lectin* เต็มยืนจากกลั่วຢายไม้สิงโตร่วงข้าว

นำดีเอ็นเอของยืน *lectin* เต็มยืนที่สังเคราะห์ได้จากการอ่านออกกลั่วຢายไม้สิงโตร่วงข้าวด้วยวิธีพีซีอาร์ ขนาด 1000 คู่เบส ตามลำดับ นำมาโคลนในพลาสมิด pGEM®-T Easy แล้วคัดเลือกบนอาหารที่มียาปฏิชีวนะแอมพิซิลลิน ผลการถ่ายพลาสมิดพบว่ายืน *lectin* เต็มยืนได้โคลนที่มีโคลโนนีสีขาวจำนวน 2 โคลน และโคลโนนีสีฟ้าจำนวน 1 โคลน

การตรวจสอบขนาดดีเอ็นเอที่โคลนได้ โดยเลือกโคลนที่มีโคลโนนีสีขาว ที่คาดว่าจะได้รับชิ้นดีเอ็นเอของยืน *lectin* เต็มยืน คือ โคลนหมายเลข 270 และ 282 จำนวน 2 โคลน และนำมาตรวจสอบชิ้นดีเอ็นเอสายพsm ด้วยการทำพีซีอาร์โดยใช้คู่ไพรเมอร์ SP6-T7 (Universal primer) จากนั้นนำไปตรวจสอบขนาดด้วยการทำอิเล็ก tro โฟร์เซิลอบเจลอะก้าโรส 0.8% พบร่ว

โคลนที่มีชิ้นยืน *lectin* เมื่อทำพีซีอาร์จะได้ดีเอ็นเอขนาดประมาณ 1000 คู่เบส ตามลำดับ นำโคลนที่มีชิ้นดีเอ็นเอที่มีขนาดถูกต้องมาทำให้บริสุทธิ์โดยการแยกพลาสมิดด้วย วิธีอัลคาไลซิส ผลการสกัดพลาสมิด ด้วยวิธีนี้พบว่าได้พลาสมิดประมาณ 1-2 ไมโครกรัม แต่อย่างไรก็ตามพลาสมิดที่แยกได้มีการปนเปื้อนของจีโนมิกดีเอ็นเอ ซึ่งอาจส่งผลกระทบกับปฏิกริยาในการทำพีซีอาร์ในขั้นตอนวิเคราะห์ลำดับนิวคลีโอไทด์ได้ จึงเลือกโคลนที่จะนำไปวิเคราะห์หาลำดับนิวคลีโอไทด์มาสกัดด้วยชุดสกัดพลาสมิด AxyPrep Plasmid Miniprep kit (Axygen Bioscience, สหรัฐอเมริกา)



**ภาพที่ 10 การตรวจสอบพลาสมิดที่ได้รับชิ้นดีเอ็นเอยืน *lectin* เดิมยืนของกล้วยไม้สิงโตตรวจข้าว**

- (ก) ขนาดของยืน *lectin* เดิมยืนที่สังเคราะห์ได้จาก 2 โคลน
- (ข) พลาสมิดสายพสมของยืน *lectin* เดิมยืนเปลี่ยนเทียบกับ (B) พลาสมิด pGEM<sup>®</sup>-T Easy ที่ไม่ได้รับชิ้นดีเอ็นเอ

## 5. การวิเคราะห์ลำดับนิวคลีโอไทด์ของยืนที่โคลนได้

### 5.1 ลำดับนิวคลีโอไทด์ปลาย 3' ของยืน *lectin* จากกล้วยไม้สิงโตสมอหิน

ผลจากการศึกษาพบลำดับนิวคลีโอไทด์ของ pBLECT7 พบว่ามีขนาด 363 คู่เบส และเมื่อนำมาวิเคราะห์ข้อมูลลำดับนิวคลีโอไทด์ด้วยโปรแกรม BLAST เพื่อเปรียบเทียบกับข้อมูลที่อยู่ในฐานข้อมูล GenBank พบว่าลำดับนิวคลีโอไทด์ที่ได้ตรงกับลำดับนิวคลีโอไทด์ของยืน *lectin* ในกล้วยไม้สกุล *Cymbidium hybrid* accession# U02516.1 ขนาด 736 คู่เบส มากที่สุด โดยมีความคล้ายคลึงกันที่ร้อยละ 74 เมื่อแปลรหัสลำดับนิวคลีโอไทด์ของ pBLECT7 เป็นลำดับกรดอะมิโนได้โพลีเปปไทด์ขนาด 121 เรสเซิดิวส์ ที่มี 1 open reading frame (ภาพที่ 11) ยืน *lectin* บางส่วนที่โคลนได้จากกล้วยไม้สิงโตสมอหิน ยังขาดลำดับนิวคลีโอไทด์บริเวณปลายด้านปลาย 5' อีกประมาณ 250 คู่เบส การโคลนยืน *lectin* ส่วนที่ขาดหายไปต้องมีการออกแบบไพรเมอร์เพิ่มในส่วนที่เป็นบริเวณอนุรักษ์ โดยทำ multiple alignment เปรียบเทียบกับพืชชนิดอื่นๆ ต่อไป

```

DNA: GACTGCAACCTCGTCCTCTACTACTACCGGAAGAGCTAGATGGGCTTCCGGC
+1: D C N L V L Y Y Y G R A R W A S G
DNA: AGCGACGGTAAAGGCTCAGGCTGCTATGTCACCAGACTGACGGAAAC
+1: S D G K G S G C Y V T M Q T D G N
DNA: CTCGTAGTCTATGACAATGGAAATAGAGCCATATGGGCGAGCAACACTGGC
+1: L V V Y D N G N R A I W A S N T G
DNA: CGAGAAAACGGAAACTATATCCTCATAGTGCAAAAGGATGGTAATGTTGTC
+1: R E N G N Y I L I V Q K D G N V V
DNA: ATATACGGCAACCCATTGGGCCACGGGACTAATTCTATGGATCGGCT
+1: I Y G N P I W A T G T N F Y G S A
DNA: ACTGTTATCGTCGCCGCTGTGCGTAATGGGACAGTGGGGTTCTGGCGCC
+1: T V I V A A V R N G T V G V S G A
DNA: GAGCAAAATAAGGTGAGGGAAATGGGTAAGATTGTGCAAGTTAAGAGTGAT
+1: E Q N K V R E M G K I V Q V K S D
DNA: AAGTAG
+1: K *

```

```

> pBLECT7, frame+1, 121 residues
DCNLVLYYYGRARWASGSDGKGSGCYVTMQTDGNLVYDNGNRAIWASNT
GRENGNYILIVQKDGNVVIYGNPIWATGTNFYGSATVIVAAVRNGTVGV
GAEQNKVREMGKIVQVKSDK*

```

**ภาพที่ 11** ลำดับนิวคลีโอไทด์ของยีน *lectin* ที่ได้จากการถ่ายทอดสืบพันธุ์ ความยาว 363 นิวคลีโอไทด์ แปลรหัสเป็นลำดับกรดอะมิโน 121 เรสซิดิวส์ จัดเร้นใต้แสดง open reading frame

### 5.2 ลำดับนิวคลีโอไทด์ของยีน *lectin* จากกลัวยไม้สิงโตตรวจท่อง

ผลจากการศึกษาพบลำดับนิวคลีโอไทด์ของ pBLECT41 พบว่ามีขนาด 245 คู่เบส และเมื่อนำมาวิเคราะห์ข้อมูลลำดับนิวคลีโอไทด์ด้วยโปรแกรม BLAST เพื่อเปรียบเทียบกับข้อมูลที่อยู่ในฐานข้อมูล GenBank พบว่าลำดับนิวคลีโอไทด์ที่ได้ตรงกับลำดับนิวคลีโอไทด์ของยีน *lectin* ในกลัวยไม้สกุล *Cymbidium hybrid* accession# U02516.1 ขนาด 736 คู่เบส มากที่สุด โดยมีความคล้ายคลึงกันที่ 73 เปอร์เซ็นต์ เมื่อแปลรหัสลำดับนิวคลีโอไทด์ของ pBLECT41 เป็นลำดับกรดอะมิโนได้โพลีเปปไทด์ขนาด 81 เรสซิดิวส์ ที่มี 1 open reading frame (ภาพที่ 12) ยีน *lectin* บางส่วนที่โคลนได้จากการถ่ายทอดท่อง ยังขาดลำดับนิวคลีโอไทด์บริเวณปลายด้านปลาย 3' อีกประมาณ 750 คู่เบส การโคลนยีน *lectin* ส่วนที่ขาดหายไปด้องมีการออกแบบไพรเมอร์เพิ่มในส่วนที่เป็นบริเวณอนุรักษ์ โดยทำ multiple alignment เปรียบเทียบกับพีชชันดีเอ็นฯ ต่อไป

```

DNA: ATGAGTAGCTCTCCATTATTAGGATCCTCTCCTCTGCATTGCATCTTC
+1: M S S F S I I R I L L L C I A S F
DNA: TCACTCCTTGCCTCCCCATCCTTGGCAATCATACAACCACTTGCTCT
+1: S L L A S P S F G Q S Y N H L L S
DNA: GGCGGGCGCCTCAATAACAGGCCGATCCCTCACTCAAGACAGTTGCAACTC
+1: G G R L N T G R S L T Q D S L Q L
DNA: ATCATCCAAGATGATTGCAACCTCGTACTCTACTACCGGAAGAGCTAGA
+1: I I Q D D C N L V L Y Y Y G R A R
DNA: TGGGCTTCGGGCAGCGACGGTAAAGGCTCAGCTGCTATGTC
+1: W A S G S D G K G S A A M

```

```

> pBLECT41, frame+1, 81 residues
MSSFSIIRILLCIASFSLASPSFGQSYNHLLSGGRNLTGRSLTQDSLQ
LIIQDDCNLVLYYGRARWASGSDKGSAAM

```

**ภาพที่ 12 ลำดับนิวคลีโอไทด์ของยีน *lectin* ที่ได้จากกล้าวยไม้สิงโตรวงทอง ความยาว 245 นิวคลีโอไทด์ แปลรหัสเป็นลำดับกรดอะมิโน 81 เรสซิดิวส์ จីดเส้นใต้แสดง open reading frame**

### 5.3 ลำดับนิวคลีโอไทด์ของยีน *lectin* จากกล้าวยไม้สิงโตรวงข้าว

ผลจากการศึกษาพบลำดับนิวคลีโอไทด์ของ pBLECT223 (โคลน *lectin* ด้านปลาย 5') พบว่ามีขนาด 245 คู่เบส และ pBLECT229 (โคลน *lectin* ด้านปลาย 3') มีขนาด 641 คู่เบส เมื่อนำข้อมูลลำดับนิวคลีโอไทด์ที่ได้ มาวิเคราะห์ด้วยโปรแกรม BLAST พบว่าดีเอ็นเอทั้ง 2 โคลน มีลำดับนิวคลีโอไทด์ตรงกับลำดับนิวคลีโอไทด์ของยีน *lectin* ในกล้าวยไม้สกุล *Cymbidium hybrid* และผลจากการต่อโคลนพบว่าได้ยีน *lectin* ครบสมบูรณ์มีขนาด 806 คู่เบส โดยเรียกชื่อใหม่คือ PSWS 691 และมีลำดับนิวคลีโอไทด์ตรงกับลำดับนิวคลีโอไทด์ของยีน *lectin* ในกล้าวยไม้สกุล *Cymbidium hybrid* accession# U02516.1 ขนาด 736 คู่เบส มากที่สุด โดยมีความคล้ายคลึงกันที่ 62 เปอร์เซ็นต์ เมื่อแปลรหัสลำดับนิวคลีโอไทด์เป็นลำดับกรด อะมิโนได้โพลีเปปไทด์ขนาด 268 เรสซิดิวส์ ที่มี 1 open reading frame ขนาด 176 เรสซิดิวส์ (ภาพที่ 13) พบลำดับนิวคลีโอไทด์ที่ใช้เป็นรหัสหยุดการสังเคราะห์โปรตีนยีน *lectin* ของกล้าวยไม้สิงโตรวงข้าวมีรหัส คือ UAG อยู่ลำดับนิวคลีโอไทด์ที่ 526-528 และบริเวณปลาย 3' non coding region มีขนาด 227 คู่เบส

DNA: ATGAGTAGCTCTCCATTATTAGGATCCTCTCCTCTGCATTGCATCTTC  
+1: M S S F S I I R I L L L C I A S F  
DNA: TCACTCCTTGCCTCCCCATCCTTGGCATCCAGACAACCACTTGCTCT  
+1: S L L A S P S F G H P D N H L L S  
DNA: GGGGAGCAGCTCAATAACAGGCCAATCCCTCACTGAAGGCACGTCGCAATT  
+1: G E Q L N T G Q S L T E G T S Q F  
DNA: ATCATCCAAGATGATTGCAACCTCGTCCCTACAAAATGAACATCGTTAAA  
+1: I I Q D D C N L V L Y K M N I V K  
DNA: TGGCAATCGAACACCACCGGTGAAGGCTCAGGCTTATGTCACCTTAAC  
+1: W Q S N T T G E G S G C Y V T F N  
DNA: AAGCAAGGAAACCTCGTAATCCACAATAAAACAGAGTCATATGGTCG  
+1: K Q G N L V I H N N K N R V I W S  
DNA: AGCAACAGTAGCAGAAAGCAAGGAAACTATATCCTCATACTGCAAAAGGAC  
+1: S N S S R K Q G N Y I L I L Q K D  
DNA: GGTAATCTTGTCAATACAGCAAACCTATTGGCTACAGGGACTAATTCC  
+1: G N L V I Y S K P I W A T G T N S  
DNA: TATGGATCGACTGGTATTCTCGCCACTGCGCTTAATGGGACAATAGGG  
+1: Y G S T G V I V A T A L N G T I G  
DNA: GTTACTGGTGCAAAGCAGAATAAGGTGAGGGAAATGGGTAAGATTGCCAG  
+1: V T G A K Q N K V R E M G K I V Q  
DNA: GTTAAGAGTGATAAGTAGGCAAAACTTGTGCACTATCATGAATAAATAA  
+1: V K S D K \* A K L C C T I M N K \*  
DNA: GCAAGCATGTGAATGCTACGTAAATGATCAGCTCGTAGTATTATGTCAAGA  
+1: A S M \* M L R K \* S A R S I M S R  
DNA: TGTCTTGATGTCCTTACTGTCTGTATGTGTCTTATTCCGTGAAACTA  
+1: C L \* C P Y C L Y V C S Y S V K L  
DNA: AGTTCAAGTTGTCGGCTGGAAATTGCCAACGGACTGTTATTGCATTGC  
+1: S S V V V G L E I A N G L L F H C  
DNA: ACAAAATTTAATTTTATGCACCATATATGTGTTCTCTAAGATTGTT  
+1: T N I \* F L C T I Y V F F S K I V  
DNA: TGAAGTTAAAAACAAAAAAACGATGTCGACTCGAGTC  
+1: \* S \* K Q K K K R C R L E

> PSWS\_691, frame+1, 268 residues  
MSSFSIIRILLCIASFLLASPSFGHPDNHLLSGEQLNTGQSLTEGTSQ  
FIIQDDCNLVLYKMNIVKWQSNTTGEGSGCYVTFNKQGNLVIHNKNRVI  
WSSNSSRKQGNYILILQKDGNLVIYSKPIWATGTNSYGSTGVIVATALNG  
TIGVTGAKQNKVREMGKIVQVKSDK\*AKLCCTIMNK\*ASM\*MLRK\*SARS  
IMSRCL\*CPYCLVCSYSVKLSSVVVGLEIANGLLFHCTNI\*FLCTIYVF  
FSKIV\*S\*KQKKKRCRLE

**ภาพที่ 13** ลำดับนิวคลีโอไทด์ของยีน *lectin* ที่ได้จากการอ่านเข้า ความยาว 528

นิวคลีโอไทด์ แบลรหัสเป็นลำดับกรดอะมิโน 176 เรสเซชิวส์ จีดีเอ็นได้แสดง

open reading frame

## 6. การศึกษาตำแหน่งตัดของเอนไซม์ตัดจำเพาะ

เมื่อนำลำดับนิวคลีโอไทด์ยีน *lectin* ของกล้วยไม้สิงโตสมอหิน สิงโตรวมทอง และสิงโตรวมข้าว มาวิเคราะห์หาตำแหน่งตัดด้วยเอนไซม์ตัดจำเพาะ ด้วยโปรแกรม Webcutter (<http://rna.lundberg.gu.se/cutter2>) และโปรแกรม NEBcutter V2.0 (<http://tools.neb.com/NEBcutter2/>) ดังตารางที่ 3 และเขียนแผนที่ตำแหน่งตัดของยีนได้ดังภาพที่ 14 ยีนแต่ละยีนมีรหัสพันธุกรรมที่กำหนดการสร้างโปรตีนแปลครหัสจากลำดับนิวคลีโอไทด์ 121, 81 และ 176 เรซซิเดวส์ ตามลำดับ

ตารางที่ 3 ตำแหน่งตัดด้วยเอนไซม์ตัดจำเพาะที่สำคัญบนยีน *lectin* ของกล้วยไม้สิงโตสมอหิน สิงโตรวมทอง และสิงโตรวมข้าว

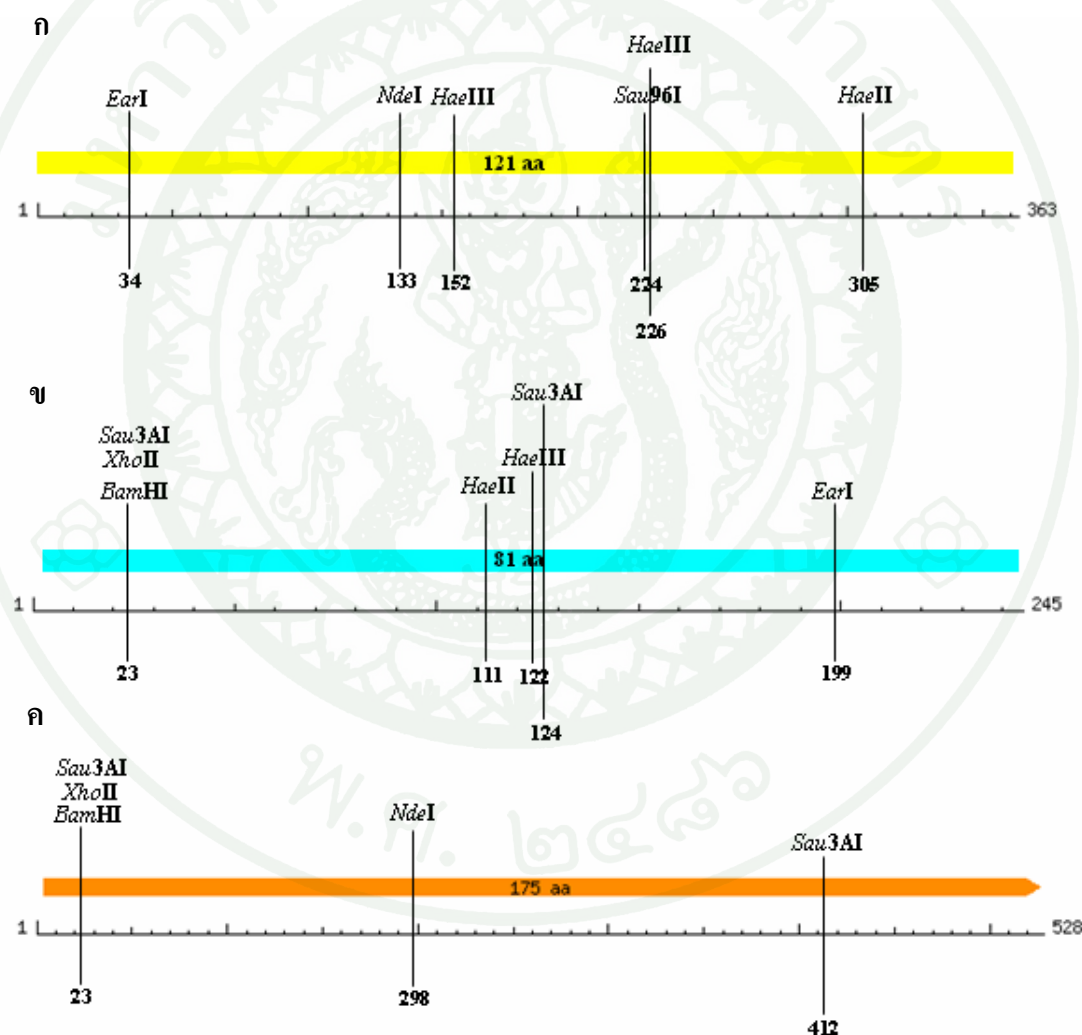
Enzyme		จำนวน/ตำแหน่งจุดตัด		
		ยีน <i>lectin</i> สิงโตสมอหิน	ยีน <i>lectin</i> สิงโตรวมทอง	ยีน <i>lectin</i> สิงโตรวมข้าว
<i>Bam</i> H I	G/GATCC	-	1/23	1/23
<i>Ear</i> I	CTCTTC	1/34	1/199	-
<i>Hae</i> II	RGC/GC/Y	1/305	1/111	-
<i>Nde</i> I	CA/TATG	1/133	-	1/298
<i>Sau</i> 96I	G/GNCC	1/224	-	-
<i>Hae</i> III	GG/CC	2/152, 226	1/122	-
<i>Xho</i> II	R/GATCY	-	1/23	1/23
<i>Sau</i> 3AI	GATC	-	2/23, 124	2/23, 412

หมายเหตุ Y= C หรือ T และ R= G หรือ A

พบว่าเดอเยนเอยน *lectin* ที่โคลนจากกล้วยไม้สิงโตสมอหิน สามารถตัดด้วยเอนไซม์ที่มีจุดตัดหนึ่งตำแหน่ง คือ *Ear*I, *Hae*II, *Nde*I และ *Sau*96I ขณะที่ *Hae*III มี 2 ตำแหน่งตัด ได้ชิ้นดีอีนออกนาค 0.15, 0.06 และ 0.13 กิโลเบส

ดีอีนแอบิน *lectin* ที่โคลนจากกล้วยไม้สิงโตร่วงทอง สามารถตัดด้วยเอนไซม์ที่มีจุดตัดหนึ่งตำแหน่ง คือ *BamHI*, *EarI*, *HaeII*, *HaeIII* และ *XhoII* ขณะที่ *Sau3AI* มี 2 ตำแหน่งตัด ได้ชิ้นดีอีนออกนาค 0.02, 0.11 และ 0.11 กิโลเบส

ดีอีนแอบิน *lectin* ที่โคลนจากกล้วยไม้สิงโตร่วงข้าว สามารถตัดด้วยเอนไซม์ที่มีจุดตัดหนึ่งตำแหน่ง คือ *BamHI*, *NdeI* และ *XhoII* ขณะที่ *Sau3AI* มี 2 ตำแหน่งตัด ได้ชิ้นดีอีนออกนาค 0.02, 0.12 และ 0.38 กิโลเบส



ภาพที่ 14 แผนภาพตำแหน่งตัดของเอนไซม์ตัดจำเพาะของยีน *lectin* จากกล้วยไม้สิงโตสมอหิน  
(ก) กล้วยไม้สิงโตร่วงทอง (ข) และกล้วยไม้สิงโตร่วงข้าว (ค)

## 7. การวิเคราะห์ลำดับกรดอะมิโนของค์ประกอบของโปรตีนที่โคลนได้

### 7.1 การวิเคราะห์กรดอะมิโนของโปรตีน Lectin จากกล้วยไม้สิงโตสมอหิน

#### 7.1.1 BLAST Analysis โปรตีน Lectin ของกล้วยไม้สิงโตสมอหิน

ผลการเปรียบเทียบลำดับกรดอะมิโนของโคลน pBLECT7 ที่ได้จากกล้วยไม้สิงโตสมอหิน ด้วยโปรแกรม Blastp พบว่าตรงกับลำดับกรดอะมิโนของโปรตีน Lectin ในกล้วยไม้ *Cymbidium hybrid* cultivar (accession# AAA19578.1), กล้วยไม้ *Listera ovata* (accession# AAA20899.1), กล้วยไม้ *Epipactis helleborine* (accession# AAA19577.1) ร้อยละ 69, 68 และ 67 และตรงกับลำดับกรดอะมิโนของ mannose-binding lectin ในกล้วยไม้ *Dendrobium officinale* (accession# AAV66418.1) ร้อยละ 53 นอกจากนี้ยังเหมือนกับ mannose-binding lectin ของพืชอื่นๆ อีก 4 ชนิด คือ *Clivia miniata* (accession# AAA19910.1) *Ananas comosus* (accession# AAM28277.1), *Galanthus nivalis* (accession# AAA33345.1) และ *Hippeastrum* sp. (accession# AAA33365.1) ร้อยละ 55, 54, 53 และ 56 ตามลำดับ ดังแสดงในตารางที่ 4

ตารางที่ 4 การเปรียบเทียบ蛋白质ชีนต์ความเหมือนของกรดอะมิโนของค์ประกอบของยีน *lectin* ของกล้วยไม้สิงโตสมอหิน (*Bulbophyllum blepharisters* Rchb.f.) กับพืชชนิดอื่น

Plant species	<i>B. blepharisters</i>		
	aa size*	% Identities	E-value
<i>B. blepharisters</i>	<i>lectin</i>	121	100
AAA19578.1 <i>Cymbidium hybrid</i>	<i>lectin</i>	176	69
AAA20899.1 <i>Listera ovata</i>	<i>lectin</i>	175	68
AAA19577.1 <i>Epipactis helleborine</i>	<i>lectin</i>	172	67
AAA33365.1 <i>Hippeastrum</i> sp.	<i>lectin</i>	116	56
AAA19910.1 <i>Clivia miniata</i>	<i>lectin</i>	162	55
AAM28277.1 <i>Ananas comosus</i>	mannose-binding lectin	164	54
AAA33345.1 <i>Galanthus nivalis</i>	<i>lectin</i>	161	53
AAV66418.1 <i>Dendrobium officinale</i>	mannose-binding lectin	165	53

\* length of polypeptide (amino acid)

## 7.2 การวิเคราะห์กรดอะมิโนของโปรตีน Lectin จากกล้วยไม้สิงโตรวงทอง

### 7.2.1 BLAST Analysis โปรตีน Lectin ของกล้วยไม้สิงโตรวงทอง

ผลการเปรียบเทียบลำดับกรดอะมิโนของโภคิน pBLECT41 ที่ได้จากการวิเคราะห์กรดอะมิโนของโปรตีน Lectin ในกล้วยไม้ *Cymbidium* hybrid cultivar (accession# AAA19578.1), mannose-binding lectin ใน *Zingiber officinale* (accession# ACJ66865.1), กล้วยไม้ *Listera ovata* (accession# AAA20899.1), กล้วยไม้ *Epipactis helleborine* (accession# AAA19577.1) และตรงกับ mannose-binding lectin ในกล้วยไม้ *Dendrobium officinale* (accession# AAV66418.1) ร้อยละ 61, 58, 56, 56 และ 47 ตามลำดับ ดังแสดงในตารางที่ 5

ตารางที่ 5 การเปรียบเทียบเปอร์เซ็นต์ความเหมือนของกรดอะมิโนองค์ประกอบของยีน *lectin* ของกล้วยไม้สิงโตรวงทอง (*Bulbophyllum orientale* Seidenf.) กับพืชชนิดอื่น

Plant species	<i>B. orientale</i>		
	aa size*	% Identities	E-value
<i>B. orientale</i>	<i>lectin</i>	-	100
AAA19578.1 <i>Cymbidium</i> hybrid	<i>lectin</i>	176	61
ACJ66865.1 <i>Zingiber officinale</i>	mannose-binding lectin	169	58
AAA20899.1 <i>Listera ovata</i>	<i>lectin</i>	175	56
AAA19577.1 <i>Epipactis helleborine</i>	<i>lectin</i>	172	56
AAV66418.1 <i>Dendrobium officinale</i>	mannose-binding lectin	165	47

\* length of polypeptide (amino acid)

### 7.3 การวิเคราะห์กรดอะมิโนของโปรตีน Lectin จากกล้วยไม้สิงโตร่วงข้าว

#### 7.3.1 BLAST Analysis โปรตีน Lectin ของกล้วยไม้สิงโตร่วงข้าว

ผลการเปรียบเทียบลำดับกรดอะมิโนของโคลน PSWS 691 ที่ได้จากการวิเคราะห์กรดอะมิโนของโปรตีน Lectin ในกล้วยไม้สิงโตร่วงข้าว ด้วยโปรแกรม Blastp พบว่าตรงกับลำดับกรดอะมิโนของโปรตีน Lectin ในกล้วยไม้ *Cymbidium hybrid* cultivar (accession# AAA19578.1), กล้วยไม้ *Epipactis helleborine* (accession# AAA19577.1), กล้วยไม้ *Listera ovata* (accession# AAA20899.1) และตรงกับลำดับกรดอะมิโนของ mannose-binding lectin ในกล้วยไม้ *Dendrobium officinale* (accession# AAV66418.1) ร้อยละ 61, 57, 56 และ 51 นอกจากนี้ยังเหมือนกับพืชอื่นๆ อีก 4 ชนิด คือ โปรตีน mannose-binding lectin ใน *Tulipa hybrid* cultivar (accession# AAC49386.1), *Clivia miniata* (accession# AAA19911.1), *Galanthus nivalis* (accession# AAA33345.1) และ โปรตีน mannose-binding lectin ใน *Ananas comosus* (accession# AAM28277.1) ร้อยละ 45, 44, 44 และ 42 ดังแสดงในตารางที่ 6 ซึ่งแตกต่างกับโปรตีน mannose-binding lectin ในแบคทีเรีย *Actinomyces odontolyticus* F0309 (accession# ZP\_06608163)

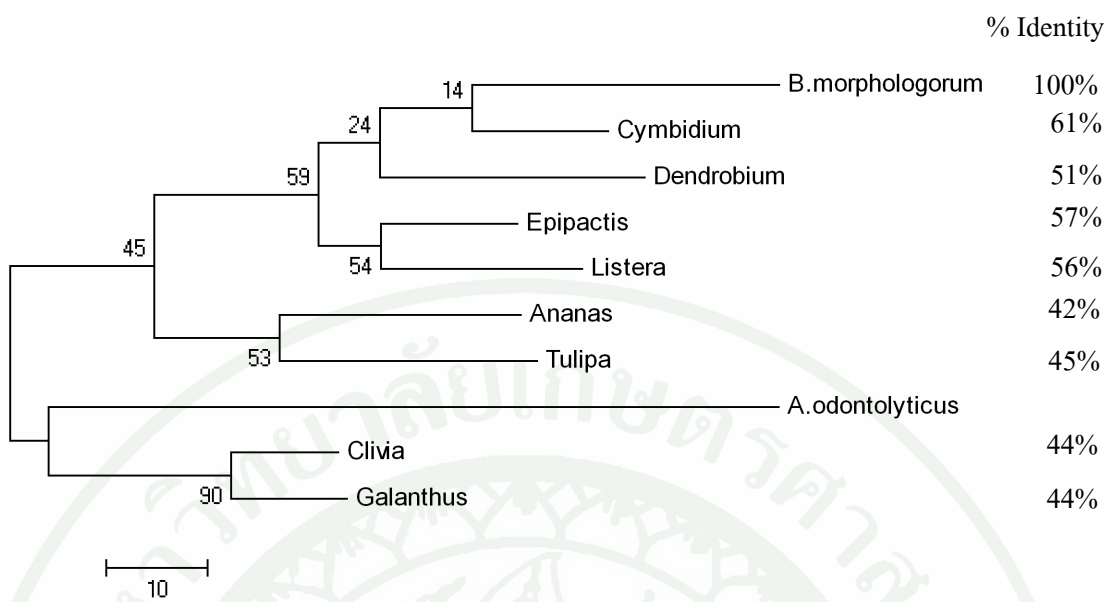
**ตารางที่ 6 การเปรียบเทียบเปอร์เซ็นต์ความเหมือนของกรดอะมิโนองค์ประกอบของยีน lectin ในกล้วยไม้สิง โตรวงข้าว (*Bulbophyllum morphologorum* Kraenzl.) กับพืชชนิดอื่น และในแบคทีเรีย**

Plant species	<i>B. morphologorum</i>			
	aa size*	% Identities	E-value	
<i>B. morphologorum</i>	lectin	175	100	-
AAA19578.1 <i>Cymbidium</i> hybrid	lectin	176	61	9e-47
AAA19577.1 <i>Epipactis helleborine</i>	lectin	172	57	1e-48
AAA20899.1 <i>Listera ovata</i>	lectin	175	56	1e-45
AAV66418.1 <i>Dendrobium officinale</i>	mannose-binding lectin	165	51	1e-34
AAC49386.1 <i>Tulipa</i> hybrid	mannose-binding lectin	177	45	1e-26
AAA19911.1 <i>Clivia miniata</i>	lectin	169	44	7e-29
AAA33345.1 <i>Galanthus nivalis</i>	lectin	161	44	1e-28
AAM28277.1 <i>Ananas comosus</i>	mannose-binding lectin	164	42	3e-27
ZP_06608163 <i>A. odontolyticus</i>	mannose-binding lectin	240	-	-

\* length of polypeptide (amino acid)

### 7.3.2 Phylogenetic Tree โปรตีน Lectin ของกล้วยไม้สิง โตรวงข้าว

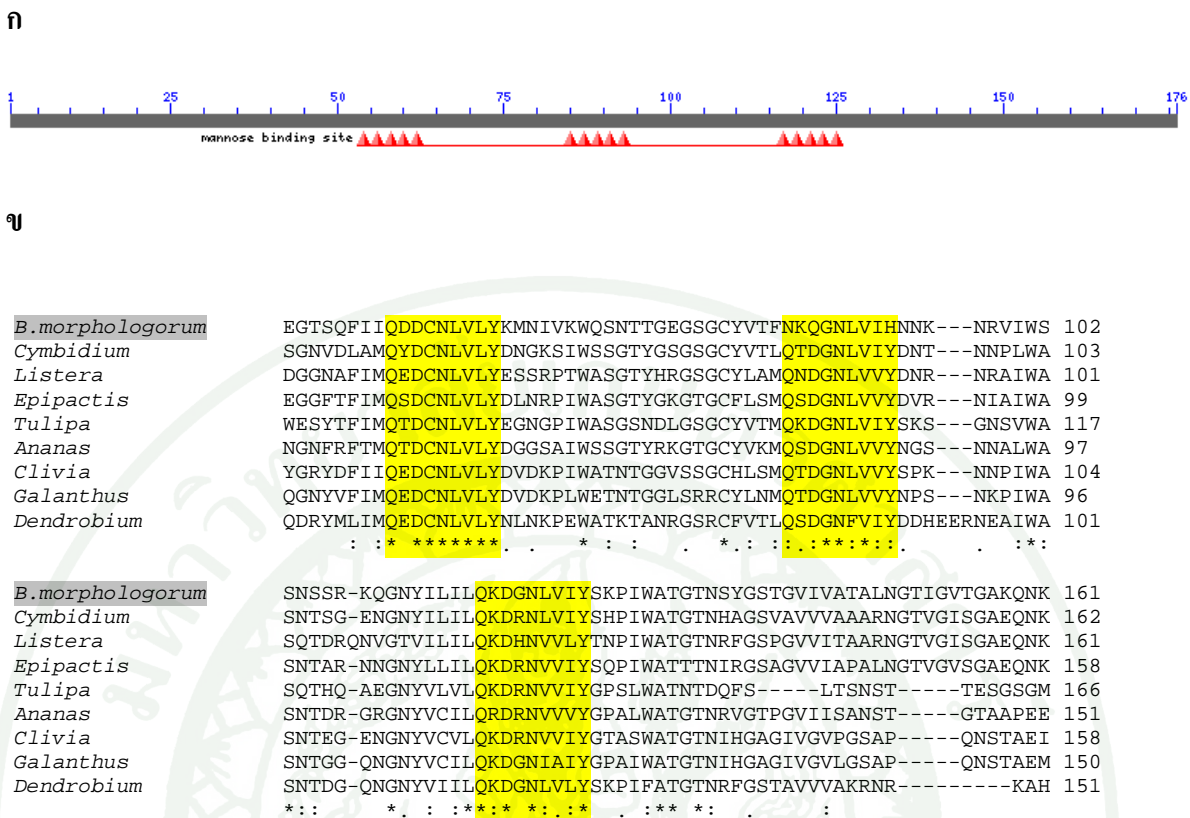
จากการวิเคราะห์ความสัมพันธ์ของโปรตีนโดยการสร้าง phylogenetic tree ของโปรตีน Lectin ที่ได้จากกล้วยไม้สิง โตรวงข้าว กับกล้วยไม้อีก 4 ชนิด ที่มีรายงานในฐานข้อมูล NCBI คือ กล้วยไม้ *Cymbidium* hybrid cultivar, กล้วยไม้ *Listera*, กล้วยไม้ *Epipactis helleborine* และ โปรตีน mannose-binding lectin ในกล้วยไม้ *Dendrobium officinale* ในพืชอื่นๆ อีก 4 ชนิด คือ *Clivia miniata*, *Galanthus nivalis*, mannose-binding lectin ใน *Tulipa* hybrid cultivar และ *Ananas comosus* นอกจากนี้ยังมีโปรตีน mannose-binding lectin ในแบคทีเรีย *Actinomyces odontolyticus* (ตารางที่ 6) ด้วยโปรแกรม MEGA 4.0 พบว่า โปรตีน Lectin ของกล้วยไม้สิง โตรวงข้าว มีความใกล้เคียงกับ โปรตีน Lectin ในกลุ่มกล้วยไม้ โดยใกล้ชิดกับกล้วยไม้ *Cymbidium* hybrid cultivar มากที่สุด (ภาพที่ 15)



ภาพที่ 15 Phylogenetic tree แสดงระดับความสัมพันธ์ของลำดับกรดอะมิโนองค์ประกอบระหว่าง โปรตีน Lectin ในกล้วยไม้สิงโตร่วงข้าวกับพืชชนิดอื่นและในแบคทีเรีย

### 7.3.3 Multiple Alignment Analysis โปรตีน Lectin ของกล้วยไม้สิงโตร่วงข้าว

จากการเปรียบเทียบลำดับกรดอะมิโน Lectin ของกล้วยไม้สิงโตร่วงข้าว โดย การทำ multiple alignment ด้วยโปรแกรม ClustalW(2) กับพืชชนิดอื่น 8 ชนิด พบว่า Lectin ของ กล้วยไม้สิงโตร่วงข้าวจัดอยู่ในกลุ่ม B\_lectin superfamily มีบริเวณอนุรักษ์ในลำดับกรดอะมิโนคือ mannose binding lectin ถึง 3 ตำแหน่งคือ บริเวณกรดอะมิโนลำดับ 50-130 ซึ่งเป็นตำแหน่ง motif ที่จำกัดกรดอะมิโน QXDXNXVXXY (ภาพที่ 16)



**ภาพที่ 16** การวิเคราะห์ตำแหน่ง mannose binding lectin domain ของ B\_lectin superfamily 3 ตำแหน่ง (ก) multiple alignment ระหว่างโปรตีน Lectin ของกล้วยไม้สิงโตร่วงข้าว (*Bulbophyllum morphologorum*) (สีเทา) กับพืชชนิดอื่น สีเหลืองคือตำแหน่งของ mannose binding lectin domain (ข)

จากข้อมูลคำดับกรดอะมิโนของยีน *lectin* ที่โคลนได้จากกล้วยไม้สิงโตร่วงข้าว เป็นโปรตีน Lectin ที่อยู่ในกลุ่ม B\_lectin superfamily ซึ่งบริเวณอนุรักษ์ของยีนนี้คือบริเวณ mannose binding lectin ซึ่งมีตำแหน่งช้ากัน 3 ตำแหน่งในยีน และมีกรดอะมิโนจัดจำเพื่อ QDXDXVXY เช่นเดียวกับการศึกษาของ Chen *et al.* (2005) ที่โคลนยีน mannose-binding lectin จากกล้วยไม้ *Dendrobium officinale* มีขนาด 777 คู่เบส แปลเป็นกรดอะมิโนได้ทั้งหมด 513 คู่เบส จาก start codon ถึง stop codon มีทั้งหมด 170 เรซซิวัล์ พบ domain คือ mannose-binding lectin superfamily ซึ่งเป็นบริเวณ mannose-binding site ซึ่งมีตำแหน่งจดจำ QDNY 3 ช้าในยีน เช่นเดียวกับโคลนที่ได้จากกล้วยไม้สิงโตร่วงข้าว และยังมีการศึกษาของ Smeets *et al.* (1997) ที่พบว่ากรดอะมิโนของโปรตีน Lectin ในกระเทียม (*Allium sativum L.*) มีความเหมือนกับ Lectin ในพืช snowdrop (GNA) มากที่สุด บริเวณอนุรักษ์ในกระเทียม คือ domain ที่เป็นบริเวณ mannose

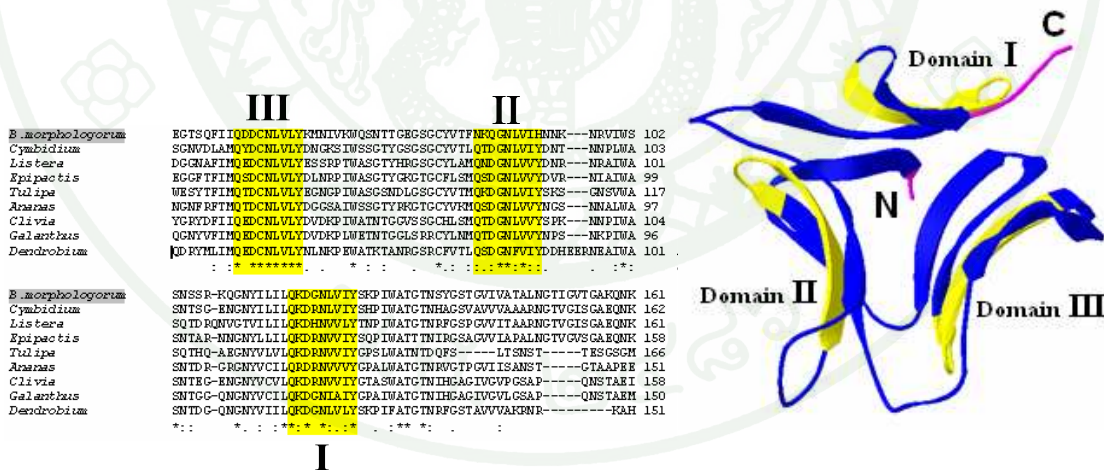
binding site ซึ่งมีตำแหน่งจดจำต่างจากใน snowdrop (QDNY) คือ RDNY, RDSS และ HDLY เช่นเดียวกับ Chai *et al.*(2003) ที่ได้ศึกษาการโคลนยืนและการแสดงออกของยีน mannose binding lectin จากพืชพลีง (*Crinum asiaticum*) ซึ่งเป็นพืชสมุนไพรดั้งเดิมในประเทศไทย โคลนยืนจากดีเอ็นเอสายเดียว (cDNA) ได้ขนาด 820 คู่เบส มี 1 open reading frame ทั้งหมด 528 คู่เบส และสามารถแปลเป็นรหัสกรดอะมิโนได้ 175 เรสซิติวส์ ซึ่งมี 22 เรสซิติวส์ที่เป็น signal peptide และมีบริเวณอนุรักษ์ที่เป็น domain ของ mannose binding site 3 ตำแหน่งซึ่งว่า B-lectin จดจำกรดอะมิโน QDNY นอกจากนี้ Jiang *et al.* (2006) ได้ศึกษาการโคลนยืนและการแสดงออกของยีน *lectin* ที่โคลนได้จากข้าว (*Oryza sativa*) โดยการเพิ่มปริมาณดีเอ็นเอด้วยวิธี RT-PCR ได้โคลน OsJAC1 มีทั้งหมด 1172 คู่เบส ซึ่ง 921 คู่เบสที่แปลรหัสเป็นกรดอะมิโนได้ 306 เรสซิติวส์ เมื่อนำมาดับเบสจากโคลน OsJAC1 มาเปรียบเทียบกับยีน *lectin* จากข้าวต่างชนิดกัน, ข้าวสาลี และพืชชนิดอื่นๆ พบว่า ยีน OsJAC1 มีกรดอะมิโน 12 ตำแหน่งที่เป็นบริเวณอนุรักษ์ใน mannose binding lectin และจากการทำบริสุทธิ์โปรตีน พบว่าสามารถตัดตอนเซลล์เม็ดเลือดแดงในกระต่ายได้

## 8. การทำนายโครงสร้างตดิภูมิ

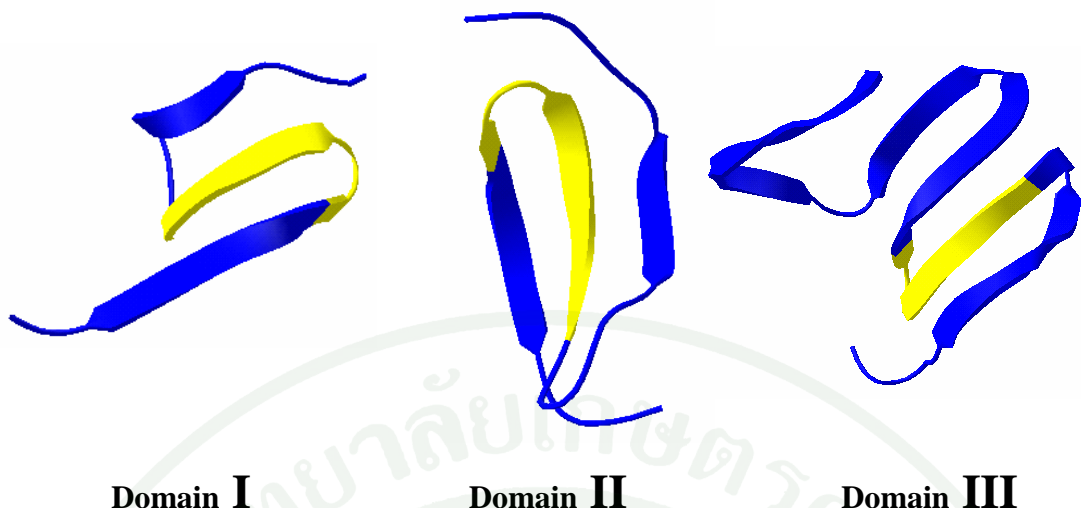
จากการนำดับอะมิโนของโปรตีน lectin จากกลัวไม้สิ่งโตรวงข้าว เปลี่ยนเป็นโครงสร้างตดิภูมิของโปรตีน ด้วยโปรแกรม SWISS-MODEL ที่มีการคำนวณแบบ Homology modeling เปรียบเทียบกับโปรตีนที่มีรายงานโครงสร้างตดิภูมิในฐานข้อมูล พบว่า โปรตีน lectin จากกลัวไม้สิ่งโตรวงข้าว มีตำแหน่งลำดับอะมิโนที่ 29-136 แบ่งเป็น 3 ส่วน กึ่งส่วน domain I ตำแหน่งอะมิโนที่ 117-125 เรสซิติวส์ ที่มีลักษณะอนุรักษ์สูง โปรตีนส่วนที่ 2 (domain II) มีตำแหน่งลำดับอะมิโนที่ 85-93 เรสซิติวส์ โปรตีนส่วนที่ 3 (domain III) มีตำแหน่งลำดับอะมิโนที่ 54-62 เรสซิติวส์ มีลักษณะอนุรักษ์สูงเช่นกัน ภาพที่ 17 และภาพที่ 20 โปรตีนในส่วนที่ 1 และ 2 มีโครงสร้างของโปรตีนเป็นแผ่นช่อนกัน 3 แผ่น แบบ  $\beta$ -sheets โปรตีนในส่วนที่ 3 มีโครงสร้างของโปรตีนเป็นแผ่นช่อนกัน 6 แผ่น แบบ  $\beta$ -sheets ภาพที่ 18 ซึ่งสอดคล้องกับงานวิจัยของ Liu *et al.* (2005) ที่ศึกษาโครงสร้างตดิภูมิของโปรตีน mannose-binding lectin จากกลัวไม้ *Gastrodia elata* ซึ่งเป็นกลัวไม้สมุนไพรในประเทศไทย โครงสร้างที่ Lie และคณาได้ศึกษานี้ ได้นำมาเป็น model ด้านแบบที่ใช้เปรียบเทียบกับโครงสร้างตดิภูมิของโปรตีน lectin จากกลัวไม้ Gastrodia elata ประกอบกันด้วย 4 monomer ซึ่ง monomer A และ B มีขนาด 112 เรสซิติวส์ monomer C มีขนาด 111 เรสซิติวส์ และ monomer D มีขนาด 110 เรสซิติวส์ ใช้ monomer B ในการนำมาเปรียบเทียบกับโปรตีน lectin จากกลัวไม้ สิ่งโตรวงข้าว ซึ่งพบว่า มีความคล้ายคลึงกันร้อยละ 53.153 แตกต่างกันบริเวณปลาย C-terminal

ตั้งแต่ลำดับอะมิโน 126-136 เรสเซอร์วิส ภาพที่ 19 และสอดคล้องกับการทดลองของ Saito *et al.* (1993) ที่พบว่าเลคตินที่แยกจากกล้วยไม้ *Listera ovata* เป็นประเภท  $\alpha$ -D-mannose-lectin จากการทำนายโครงสร้างติดภูมิ พบร่วมกับมีตำแหน่งลำดับอะมิโนที่ 30-139 แบ่งเป็น 3 ส่วน ประกอบด้วย domain I, II และ III ที่ในแต่ละส่วนมีโปรตีนเป็นแผ่นช่องกันแบบ  $\beta$ -sheets เช่นเดียวกับโปรตีน lectin ของกล้วยไม้สิงโตรวงข้าว จากการวิจัยของ Barre *et al.* (1996) พบร่วมจำนวนของ mannose-binding site จะสัมพันธ์กับการโน้มน้าวเครตที่จะมาจับเพื่อทำหน้าที่ ซึ่งเป็นผลให้โปรตีนเลคตินในแต่ละสิ่งมีชีวิตมีหน้าที่แตกต่างกันไป และจากการทดลองของ Chai *et al.* (2003) ที่ทำนายโครงสร้างติดภูมิจากโปรตีน CAA (*Crinum asiaticum*) พบร่วมขนาด 15.79 kDa ประกอบด้วย 3 domain ของ mannose-binding site (QDNY) ซึ่งจากการทำนายพบร่วมคล้ายกับโครงสร้างของ GNA (*Galanthus nivalis agglutinin*) และมีความคล้ายคลึงกับโครงสร้างที่สำคัญในพืชใบเลี้ยงเดียวในกลุ่ม *Amaryllidaceae, Orchidaceae, Alliaceae and Liliaceae*

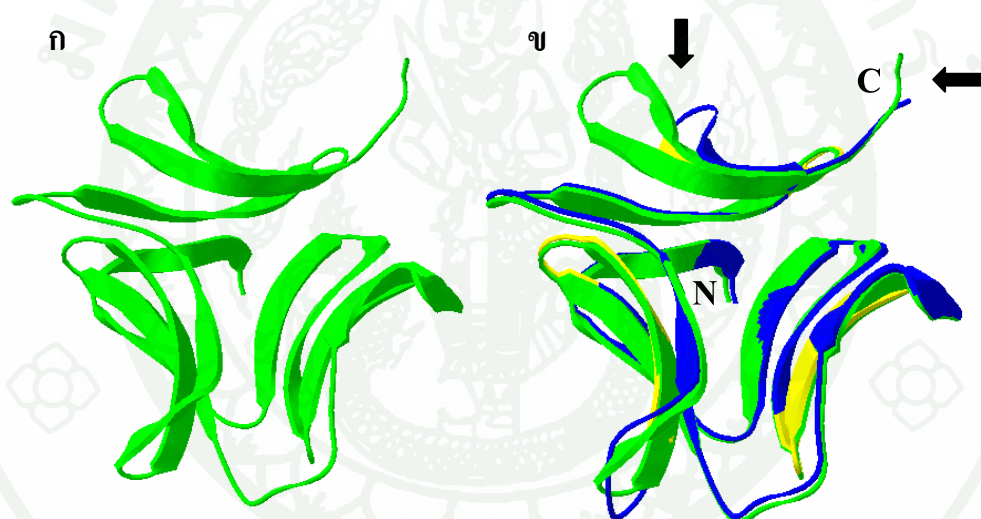
จากการเปรียบเทียบโครงสร้างของโปรตีน lectin จากกล้วยไม้สิงโตรวงข้าว กับโปรตีนเลคตินจากกล้วยไม้ *Gastrodia elata* มีส่วนที่แตกต่างกันมากในบริเวณ domain ที่ 2 และ domain ที่ 1 ปลาย C-terminal ซึ่งอาจจะเกิดจากความแตกต่างของชนิด โปรตีนในแต่ละสิ่งมีชีวิต (Chai *et al.*, 2003)



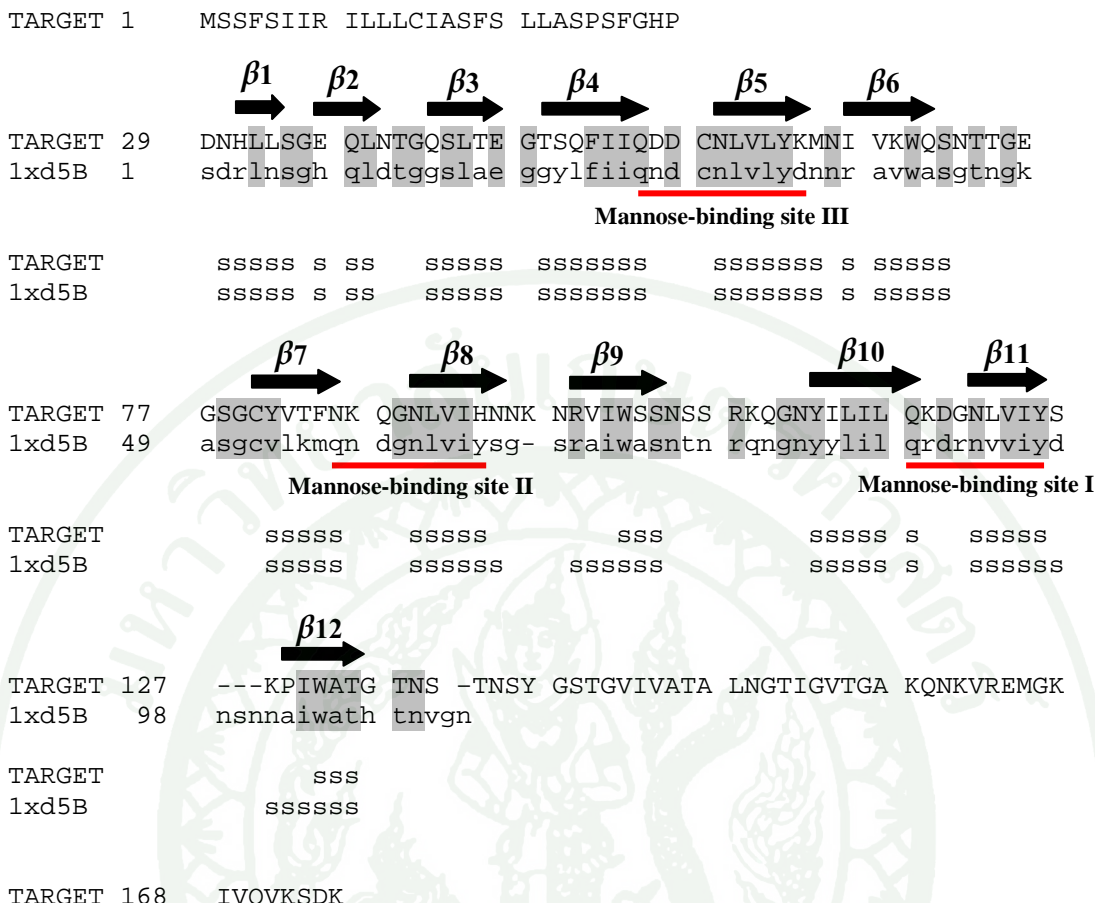
ภาพที่ 17 แสดงโครงสร้างติดภูมิ ของโปรตีน lectin จากกล้วยไม้สิงโตรวงข้าว ซึ่งประกอบไปด้วย 3 domain (สีเหลือง)



ภาพที่ 18 แสดงโครงสร้างแบบ  $\beta$ -sheet ในแต่ละ domain



ภาพที่ 19 โครงสร้างตีบภูมิของโปรตีน mannose-binding lectin จากกล้วยไม้ *Gastrodia elata* (ก) และการเบรียบเที่ยบโครงสร้างของโปรตีน lectin จากกล้วยไม้สิง โตรวงข้าว และกล้วยไม้ *Gastrodia elata* (ข) ลูกศรสีดำ คือบริเวณที่แตกต่างกันของโปรตีน lectin จากกล้วยไม้ทั้ง 2 ชนิดอยู่ในตำแหน่งลำดับอะมิโน 126-136



ภาพที่ 20 ผลการเปรียบเทียบโปรตีน lectin จากกลุ่มไม้สิ่งโตรวงข้าว กับรายงานโครงสร้างตดิภูมิในฐานข้อมูล ด้วยโปรแกรม SWISS-MODEL เพื่อสร้างแบบจำลองตดิภูมิของโปรตีน lectin , **→** แสดงตำแหน่ง  $\beta$ -sheets และ **—** แสดงตำแหน่ง mannose-binding site

## 9. การเปรียบเทียบความเหมือนและแตกต่างของลำดับกรดอะมิโนจากกลุ่มไม้สกุลสิงโตทั้ง 3 ชนิด

จากการเปรียบเทียบลำดับกรดอะมิโนของโปรตีน lectin ที่แยกจากกลุ่มไม้สกุลสิงโตทั้ง 3 ชนิด คือ กลุ่มไม้สิงโตสมอหิน กลุ่มไม้สิงโตวงทอง และกลุ่มไม้สิงโตวงข้าว กลุ่มไม้สิงโตวงข้าวคู่กับกลุ่มไม้สิงโตสมอหิน และ กลุ่มไม้สิงโตวงข้าวคู่กับกลุ่มไม้สิงโตวงทอง โดยใช้โปรแกรม ClustalW(2) จากเว็บไซต์ของ European Bioinformatics Institute (EMBL) ([www.ebi.ac.uk/clustalw/index.html](http://www.ebi.ac.uk/clustalw/index.html)) พบว่าส่วนใหญ่มีบริเวณอนุรักษ์ที่เหมือนกัน (ภาพที่ 21) โดยคุณภาพลักษณะ (\*) มีบางตำแหน่งที่ลำดับกรดอะมิโนแตกต่างกันในกลุ่มไม้แต่ละชนิด

ชั่งกล้วยไม้สกุลสิงโตทั้ง 3 ตัวอย่างมีความคล้ายคลึงกันมากกว่าร้อยละ 50 นอกจากนั้นมีบริเวณที่ลำดับกรดอะมิโนเหมือนกันในกล้วยไม้สิงโตสมอหินและกล้วยไม้สิงโตดวงทองในตำแหน่งที่ 56-78 ซึ่งแตกต่างจากผลการทดลองของ Van Damme *et al.* (1994) ที่โคlon และศึกษาใน mannose-binding lectin ที่แยกจากกล้วยไม้ดิน Twayblade (*Listera ovata*), *Epipactis helleborine* (broad-leaved helleborine) และกล้วยไม้ซิมบิเดียม *Cymbidium hybrid* โดยพบว่ายังแสดงตัวอย่างกล้วยไม้ทั้งสามชนิดแตกต่างกันถึงร้อยละ 50 ทั้งในลำดับกรดอะมิโนและตำแหน่งที่ 56-78 ซึ่งควบคุมด้วยยีนที่เป็น family gene จึงมีผลให้องค์ประกอบของยีนในกล้วยไม้ต่างชนิดมีความแตกต่างกัน

## ก

B.morphologorum B.orientale	MSSFSIIRILLCIASFSLLASPSFGHPDNHLLSGEQLNTGQSLTEGTSQFIIQDDCNLV MSSFSIIRILLCIASFSLLASPSFGQSYNHLSSGGRNLNTGRSLTDSLQLIIQDDCNLV	60 60
B.morphologorum B.orientale	***** LYKMNIVKWQSNTTGEGSGCY----- LYYYGRARWASGSDGKGSAAM----- ** . .: * . : * : *** ..	*****

## ข

B.morphologorum B.blepharisters	----- -----	-DCNLV 60 -DCNLV 5 *****
B.morphologorum B.blepharisters	LYKMNIVKWQSNTTGEGSGCYTFNKQGNLVIHNNKNRVIWSSNSRKQGNYILILQKDG LYYYGRARWASGSDGKGSGCYVTMQTDGNLVYDNGNRAIWASNTRGRENGNYILIVQKDG	120 65
B.morphologorum B.blepharisters	NLVIYSKPIWATGTNSYGSTGVIVATALNGTIGVTGAKQNKVREMGKIVQVKSDK NVVIYGNPIWATGTNFYGSATVVAVRNGTVGVSGAEQNKVREMGKIVQVKSDK	175 120

ภาพที่ 21 เปรียบเทียบลำดับกรดอะมิโนของ Lectin ที่แยกจากกล้วยไม้สกุลสิงโต 3 ชนิด คือ

(ก) กล้วยไม้สิงโตดวงข้าว (*B. morphologorum*) เปรียบเทียบกับกล้วยไม้สิงโตดวงทอง (*B. orientale*)

(ข) กล้วยไม้สิงโตดวงข้าว (*B. morphologorum*) เปรียบเทียบกับกล้วยไม้สิงโตสมอหิน (*B. blepharisters*)

กรดอะมิโนตำแหน่งเดียวกันระหว่างกล้วยไม้สิงโตสมอหิน (*B. blepharisters*)

กล้วยไม้สิงโตดวงทอง (*B. orientale*) และกล้วยไม้สิงโตดวงข้าว (*B. morphologorum*)

ตารางที่ 7 เปรียบเทียบความเหมือนและแตกต่างของลำดับอะมิโนในกล้ามไม้ทั้ง 3 ชนิด

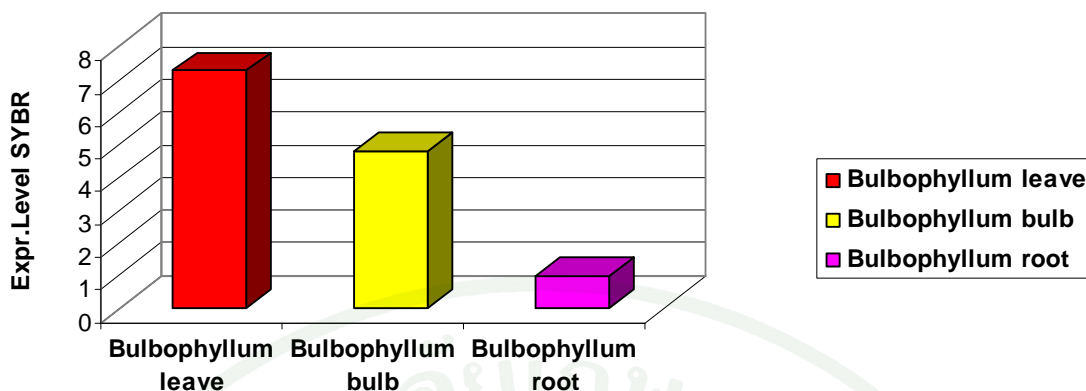
พันธุ์กล้ามไม้ (pairwise)	aa size*	% Similarlity
สิงโตสมอหิน/สิงโตรวมข้าว	121/176	68
สิงโตรวมทอง/สิงโตรวมข้าว	81/176	69

\* length of polypeptide (amino acid)

#### 10. การตรวจสอบการแสดงออกของยีน *lectin* ในกล้ามไม้สิงโตรวมข้าว ด้วยวิธี qPCR

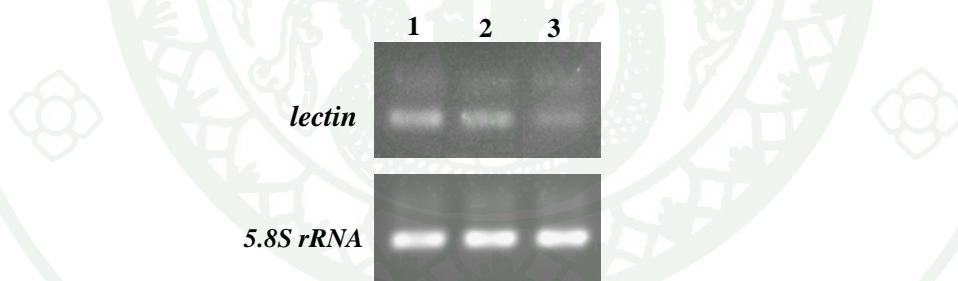
ผลจากการทำ qPCR ที่ ระดับอุณหภูมิ 51 องศาเซลเซียส เพื่อเปรียบเทียบระดับการแสดงออกของยีน *lectin* ที่แสดงออกในเนื้อเยื่อราข ใบ และลำลูกกล้าม ของกล้ามไม้สิงโตรวมข้าว ดังแสดงเป็นกราฟของจุดเริ่มต้นของการสังเคราะห์ยีนและปริมาณของสารติดตาม SYBR green ที่ใช้ไปด้วยจำนวนที่แตกต่างกันในแต่ละเนื้อเยื่อ ทั้งนี้ขึ้นกับปริมาณของยีน *lectin* (ภาพพนวกที่ 8) และการคำนวณระดับการแสดงออกของยีน *lectin* ที่เป็นค่า relative relation ratio (ตารางพนวกที่ 1) โดยการใช้ระดับการแสดงออกของยีน *lectin* ในส่วนราขของกล้ามไม้สิงโตรวมข้าวที่คาดว่ามีการแสดงออกของยีนต่ำที่สุด ในการปรับระดับการแสดงออกของยีนให้อยู่ในมาตรฐานเดียวกัน (calibrator)

เมื่อนำค่า relative expression ratio มาแสดงเป็นกราฟแท่ง (ภาพที่ 22) ด้วยโปรแกรม Microsoft Exel (Microsoft, สหรัฐอเมริกา) พบร่วางในแต่ละเนื้อเยื่อกล้ามไม้มีรูปแบบการแสดงออกของยีน *lectin* แตกต่างกัน คือ ในใบมีการแสดงออกของยีนสูงที่สุด รองลงมาคือลำลูกกล้ามและราข ตามลำดับ โดยมีค่า expression ratio ในใบ 7.27 เท่า ลำลูกกล้าม 4.80 เท่า



ภาพที่ 22 ระดับการแสดงออกของยีน *lectin* ในเนื้อเยื่อ ใน ลำต้นกล้วย และราก ของกล้วยไม้สิงโต ตรวจสอบด้วยวิธี qPCR

ความแตกต่างการแสดงออกของยีน *lectin* ในแต่ละเนื้อเยื่อของกล้วยไม้สิงโต ตรวจข้าวแสดงด้วยการสังเคราะห์ดีเอ็นเอ ณ รอบที่ 24 ผลการทดลองสอดคล้องกับการตรวจสอบขนาดดีเอ็นเอด้วย อิเล็ก tro โฟร์ซิสบันเจลอะก้าโรส 0.8% (ภาพที่ 23) เมื่อเปรียบเทียบกับยีน 5.8S rRNA ในแต่ละส่วนของกล้วยไม้สิงโต ตรวจข้าว



ภาพที่ 23 ปริมาณดีเอ็นเอของยีน *lectin* ที่สังเคราะห์ จากเนื้อเยื่อส่วนต่างๆ ของกล้วยไม้สิงโต ตรวจข้าว ด้วยวิธี qPCR ได้แก่ ใน ลำต้นกล้วย และราก และใช้ 5.8S rRNA เป็น มาตรฐาน (control) เปรียบเทียบ

ผลการทดลองนี้สอดคล้องกับ การศึกษาการแสดงออกของยีน *lectin* ในข้าว (*Oryza sativa*) จากส่วนลำต้น, ใบ, ยอดอ่อน และราก ซึ่งพบว่ามีการแสดงออกในมากที่สุด รองลงมา คือ ลำต้น และยอดอ่อน ตามลำดับ แต่ไม่มีการแสดงออกในส่วนราก (Jiang et al., 2006) ซึ่งต่างจากการทดลองของ Zhao et al. (2003) ที่ศึกษาการแสดงออกของยีน mannose binding lectin จาก

ส่วน ช่อดอก, ใบ และ หัวใต้ดิน ของ *Arisaema heterophyllum* อุ่งไร์กีตามการแสดงออกของยีน  
พบมากที่สุดในส่วนของหัวใต้ดิน

Chen et al. (2005) ศึกษาการแสดงออกของยีน *mannose-binding lectin* ในกล้วยไม้ *Dendrobium officinale* ด้วยวิธี Semi-Quantitative RT-PCR จากส่วนราก ลำต้น และใบ โดยใช้ 5.8S rRNA เป็นมาตรฐาน (control) เปรียบเทียบ ซึ่งพบว่ามีการแสดงออกมากที่สุดในลำต้นและมีการแสดงออกน้อยที่สุดในใบ และยังมีการทดลองของ Van Damme et al. (1994) ที่ศึกษาการแสดงออกของยีน mannose binding lectin จากกล้วยไม้ 3 ชนิด คือ *Listera ovata*, *Epipactis helleborine* และ *Cymbidium hybrid* ด้วยวิธี Northern-blot โดยในกล้วยไม้ *L. ovata* แยกอาร์เอ็นเอ จากส่วนราก ใน ลำต้น ดอก และรังไข่ (ovaries) ซึ่งมีการแสดงออกของยีนมากที่สุดในส่วนรังไข่ และดอก มีการแสดงออกของยีนน้อยที่สุดในส่วนราก ในกล้วยไม้ *E. helleborine* แยกอาร์เอ็นเอ จากส่วนดอก ใน และลำต้น ซึ่งมีการแสดงออกของยีนมากที่สุดในส่วนดอก และใน มีการแสดงออกของยีนน้อยที่สุดในส่วนลำต้น ในกล้วยไม้ *Cymbidium hybrid* แยกอาร์เอ็นเอจากส่วนรังไข่ (ovaries) เกสรตัวผู้ (stamens) ดอก ใน และ ปลายราก (root tips) พบว่ามีการแสดงออกของยีนมากที่สุดในส่วนปลายราก รังไข่ และเกสรตัวผู้ มีการแสดงออกของยีนน้อยที่สุดในส่วนของดอก และใบ

## สรุป

1. วิธีการแยกสารอีนเอของกล้ามไม้สกุลสิงโต โดยประยุกต์วิธี LiCl ซึ่งเติม sodium periodate ลงไปในบันฟเฟอร์ ได้ปริมาณสารอีนเอรวมที่มีปริมาณมาก มีคุณภาพดีในส่วนของใบ และราก และคุณภาพพอใช้ในส่วนของลำลูกกล้ำยซึ่งสักด้วยวิธี Hot phenol เหมาะสำหรับใช้ในการทำงานวิจัยในครั้งนี้
2. ยีนที่โคลนได้จากกล้ำยไม้สิงโตสมอพิน คือ บางส่วนของยีน *lectin* ด้านปลาย 3' ขนาด 750 คู่เบส การโคลนยีน *lectin* ส่วนที่ขาดหายไปต้องมีการออกแบบไพรเมอร์ในส่วนที่เป็นบริเวณอนุรักษ์ เพรียบเทียบกับพีชนิดอื่น ๆ ต่อไป
3. ยีนที่โคลนได้จากกล้ำยไม้สิงโตระหว่างทอง คือ บางส่วนของยีน *lectin* บริเวณด้าน 5' ขนาด 250 คู่เบส การโคลนยีน *lectin* ส่วนที่ขาดหายไปต้องมีการออกแบบไพรเมอร์ในส่วนที่เป็นบริเวณอนุรักษ์ เพรียบเทียบกับพีชนิดอื่น ๆ ต่อไป
4. ยีน *lectin* ที่โคลนได้จากกล้ำยไม้สิงโตระหว่างข้าว มีลำดับนิวคลีโอไทด์ 806 คู่เบส จาก start codon atg ถึง stop codon tag ครบสมบูรณ์มี 528 คู่เบส แปลเป็นกรดอะมิโนได้ 176 เ rek ชีดิวส์
5. ยีน *lectin* จากกล้ำยไม้สิงโตระหว่างข้าว เป็นโปรตีน Lectin ที่อยู่ในกลุ่ม B\_lectin superfamily บริเวณอนุรักษ์ของยีนนี้คือบริเวณ mannose binding site QXDXNXVXY ซึ่งมีตำแหน่งซ้ำกัน 3 ตำแหน่งในยีน
6. ยีน *lectin* ในกล้ำยไม้สิงโตระหว่างข้าว มีการแสดงออกสูงที่สุดในใบ เมื่อตรวจสอบด้วย Real-Time Quantitative PCR (qRT-PCR)

## เอกสารและสิ่งอ้างอิง

กิตติยา แสงสว่าง. 2553. การโคลนยืนทอร์ปีนชินเทสที่เกี่ยวข้องกับการสร้างกลินของตะไคร้หอม และมะกรูด. วิทยานิพนธ์ปริญญาโท. มหาวิทยาลัยเกษตรศาสตร์.

กล้วยไม้ไทย ชุมพร. 2549. เอ็องพวงอุ่น. แหล่งที่มา : <http://www.muangsiri.com/relax/data/1056.html>, 16 มีนาคม 2553.

กรมส่งเสริมการส่งออก. 2553. มูลค่า บริมาณ และราคากำหนดเข้าและส่งออกกล้วยไม้โลก (WTA/GTA). แหล่งที่มา: [http://orchidnet.doae.go.th/form/report\\_importwta.php](http://orchidnet.doae.go.th/form/report_importwta.php), 7 พฤษภาคม 2554.

จิตราพรรณ พิลึก. 2546. การปลูกเลี้ยงกล้วยไม้. ภาควิชาพืชสวน คณะเกษตร มหาวิทยาลัยเกษตรศาสตร์.

จันทนา กาญจน์กมล, อมรัตน์ พรหมบุญ, พรรรณภา ศักดิ์สูง และ สุนันทา รัตนาโก. 2546. การศึกษาสมบัติของ cDNA ที่เป็นรหัสของเลคตินในใบหม่อน, n. 36-43. ใน รายงานการประชุมทางวิชาการของมหาวิทยาลัยเกษตรศาสตร์ ครั้งที่ 41 (สาขาวิทยาศาสตร์ การจัดการทรัพยากรและสิ่งแวดล้อม). มหาวิทยาลัยเกษตรศาสตร์, กรุงเทพฯ.

ชринทร์ เกษตรลักษณ์ และนัตรชัย เงินแสงราย. 2552. อนุกรรมวิชานของกล้วยไม้สกุลสิงโต บริเวณโคอนกรีตในเขตกรุงเทพฯ จังหวัดปักกูหหลวง จังหวัดเลย, n. 12-19. ใน เรื่องเต็ม การประชุมทางวิชาการของมหาวิทยาลัยเกษตรศาสตร์ ครั้งที่ 47: สาขาวิทยาศาสตร์. มหาวิทยาลัยเกษตรศาสตร์, กรุงเทพฯ.

ชยพร แอกครั้น. 2551. ตำรากล้วยไม้ออนไลน์. แหล่งที่มา: <http://gotoknow.org/blog/orchid145/215419>, 5 พฤษภาคม 2554.

เด่น ศรีบุญ. 2551. สิงโตรวมข้าวหมู. แหล่งที่มา: <http://www.212cafe.com/freewebboard/view.php?user=homeorchid&id=205>, 5 พฤษภาคม 2554.

ทรงศักดิ์ แสงศรี. 2546. การทำบริสุทธิ์และศึกษาคุณลักษณะของเลคตินจากถั่วฝักยาว.

วิทยานิพนธ์ปริญญาโท. มหาวิทยาลัยสงขลานครินทร์.

ไทยรัฐ. 2552ก. จุหลัน *Cymbidium ensifolium* – กับสรรพคุณทางสมุนไพร. แหล่งที่มา :

<http://www.thairath.co.th/column/edu/paperagriculturist/35153>, 16 ธันวาคม 2553.

ไทยรัฐ. 2552ข. เอื้องสายสีดอก-สายแก้วหีดໄได. แหล่งที่มา : <http://www.thairath.co.th/column/edu/paperagriculturist/24654>, 16 ธันวาคม 2553.

ธัญญลักษณ์ เหล็กพิมาย. 2553. คุณค่าทางสมุนไพรของถั่วยไม้บางชนิด ตอนที่ 1. แหล่งที่มา:

[http://www.uniserv.buu.ac.th/forum2/topic.asp?TOPIC\\_ID=4473](http://www.uniserv.buu.ac.th/forum2/topic.asp?TOPIC_ID=4473), 16 ธันวาคม 2553.

บ้านเมือง. 2553. ขออนุมัติดำเนินงานตามยุทธศาสตร์การแบ่งชั้นกล้วยไม้ไทยในตลาดโลก พ.ศ.

2554-2559. แหล่งที่มา: <http://www.ryt9.com/s/cabt/921938>, 7 พฤษภาคม 2554.

ปฐม การยุภมิ. 2543. การประยุกต์ใช้เลคตินจากเมล็ดจำปาดะ. วิทยานิพนธ์ปริญญาโท.

มหาวิทยาลัยสงขลานครินทร์.

เพ็ญสุข จารัชานะเพท. 2538. การกระตุ้นการแบ่งตัวของเซลล์ลิมโฟไซด์โดยเลคตินจากสะตอ.

วิทยานิพนธ์ปริญญาโท. มหาวิทยาลัยสงขลานครินทร์.

ไฟฟูร์ย์ อรรถมยานนท์. 2536. การทำให้บริสุทธิ์และศึกษาคุณสมบัติของเลคตินจากเมล็ดเหรียง.

วิทยานิพนธ์ปริญญาโท. มหาวิทยาลัยสงขลานครินทร์.

วีระชัย ณ นคร และสุรางค์รัชต์ อินทะมุสิก. 2552. สักษณะทั่วไปของถั่วยไม้. แหล่งที่มา

<http://www.tjorchid.com/>, 21 มีนาคม 2554.

ศรีประไฟ ธรรมแสง, กาญจนा รุ่งรักษานนท์, ทรงสุภา พุ่มชุมพล และมนตรี เป็งชัยโน. 2549.

โครงการรวบรวมข้อมูลพันธุ์ถั่วยไม้พื้นเมืองในจังหวัดอุบลราชธานี. คณะเกษตรศาสตร์

มหาวิทยาลัยอุบลราชธานี, อุบลราชธานี.

สารานุกรมไม้ประดับในประเทศไทย เล่ม 1. 2548. รายชื่อกล้วยไม้ในประเทศไทย. สำนักพิมพ์บ้าน  
และสวน, กรุงเทพฯ.

สุภากรณ์ สีทะหา. 2553. การแสดงออกของเลคตินจากใบหม่อนในเซลล์แบคทีเรียและเซลล์เมล็ด  
และศึกษาการจับกันระหว่างเลคตินและน้ำตาลในคอมพิวเตอร์. วิทยานิพนธ์ปริญญาโท.  
มหาวิทยาลัยเกษตรศาสตร์, กรุงเทพฯ

สุปรีดี ไถนุกูล. 2534. เลคตินจากยางพารา. วิทยานิพนธ์ปริญญาโท.  
มหาวิทยาลัยสงขลานครินทร์.

สำนักงานพัฒนาเศรษฐกิจจากฐานชีวภาพ. 2553. บัญชีรายการทรัพย์สินชีวภาพ กล้วยไม้ไทย.  
สำนักงานพัฒนาเศรษฐกิจจากฐานชีวภาพ(องค์การมหาชน), กรุงเทพฯ.

สำนักบริหารจัดการพื้นที่ป่าอนุรักษ์ 6 นครศรีธรรมราช. 2550. พรรณไม้สมุนไพร-กระกร่อง.  
แหล่งที่มา : [http://www.takhli.ac.th/thumpet/herbal\\_29.html](http://www.takhli.ac.th/thumpet/herbal_29.html), 16 ธันวาคม 2553.

สำนักงานอุทยานการเรียนรู้ สงกัดสำนักงานบริหารและพัฒนาองค์ความรู้ (องค์การมหาชน). 2006.  
มหาศจรรย์พรรณพฤกษ์ ตอน เสน่ห์กล้วยไม้. แหล่งที่มา: [http://www.tkpark.or.th/tk/index.php?option=com\\_content&view=article&id=428&Itemid=270&lang=th](http://www.tkpark.or.th/tk/index.php?option=com_content&view=article&id=428&Itemid=270&lang=th), 16  
ธันวาคม 2553.

อุบล ตันสม. 2541. การวิเคราะห์สมบัติทางชีวเคมีของเลคตินจากเมล็ดจำปาดะ. วิทยานิพนธ์  
ปริญญาโท. มหาวิทยาลัยสงขลานครินทร์.

อัญชรี ตั้งจิตมั่นธรรม. 2548. การเปรียบเทียบวิธีการสกัด RNA และการแสดงออกของยีน ACC  
*Synthase, ACC Oxidase* และ *Ethylene Receptor* ในส่วนต่าง ๆ ของกล้วยไม้สกุลหวาน  
BOM 17. วิทยานิพนธ์ปริญญาโท. มหาวิทยาลัยเกษตรศาสตร์.

อบพันธ์ ไทยทอง. 2543. กล้วยไม้เมืองไทย. พิมพ์ครั้งที่ 3. ออมรินทร์ พринติ้งแอนพับลิชิ่ง จำกัด,  
กรุงเทพฯ.

ออร์คิด-ชูกิ. 2553. กล้วยไม้ชนิดสำคัญและใหม่ (ตอนที่ 1 กล้วยไม้สมุนไพร). แหล่งที่มา :

<http://orchidsuki.blog.com/>, 12 มกราคม 2554.

Arnold, K., L. Bordoli, J. Kopp and T. Schwede. 2006. The SWISS-MODEL Workspace: A web-based environment for protein structure homology modelling. **Bioinformatics** 22: 195-201.

Barre, A., E. J. M. Van Damme, W. J. Peumans and P. Rougé. 1996. Structure-Function Relationship of Monocot Mannose-Binding Lectins. **Plant Physiol** 112: 1531-1540.

Barondes, S.H. 1988. Bifunctional properties of lectins: lectins redefined. **Trends Biochem Sci** 12 : 2 - 480.

Brown, T. A. 1998. **Molecular Biology, LAB fax 1. Recombinant DNA**. Academic Press California. USA.

Chai, Yourong, Y. Pang, Z. Liao, L. Zhang, X. Sun, Y. Lu, S. Wang and K. Tang. 2003. Molecular cloning and characterization of a mannose-binding lectin gene from *Crinum asiaticum*. **J. Plant Physiol.** 160: 913–920.

Charungchittrak, S., A. Petsom, P. Sangvanich and A. Karnchanat. 2011. Antifungal and antibacterial activities of lectin from the seeds of *Archidendron jiringa* Nielsen. **Food Chem** 126: 1025-1032.

Chen, Z., X. Sun and K. Tang. 2005. Cloning and expression of a novel cDNA encoding a mannose-binding lectin from *Dendrobium officinale*. **Toxicon** 45: 535-540.

Goldstein, I.J., R.C. Hughes, M. Monsigny, T. Osawa and N. Sharon. 1980. What should be called a lectin?. **Nature** 285: 66.

- Guex, N. and M. C. Peitsch. 1997. SWISS-MODEL and the Swiss-PdbViewer: An environment for comparative protein modelling. **Electrophoresis** 18: 2714-2723.
- Hsieh, C.L., J.J. Lin, S.Y. Chiang, S.Y. Su, N.Y. Tang, G.G. Lin, I.H. Lin, C.H. Liu, C.Y. Hsiang ,J.C. Cheng and T.Y. Ho. 2007. *Gastrodia elata* modulated activator protein 1 via c-Jun N-terminal kinase signaling pathway in kainic acid-induced epilepsy in rats. **Ethnopharmacol** 109: 241-247.
- Janjic, S., M. Kostic, V. Vucinic, S. Dimitrijevic, K. Popovic, M. Ristic and P. Skundric. 2009. Biologically active fibers based on chitosan-coated lyocell fibers. **Carbohydrate Polymers** 78: 240-246.
- Jiang, J. F., Y. Han, L. J. Xing, Y. Y. Xu, Z. H. Xu and K. Chong. 2006. Cloning and expression of a novel cDNA encoding a mannose-specific jacalin-related lectin from *Oryza sativa*. **Toxicon** 47: 133-139.
- Kocourek, J. 1986. **Historical background.** In I.E. Liener *et al.* (eds.): **The Lectin.** Academic Press Inc. New York. USA.
- Lievens, S., S. Goormachtig and M. Holsters. 1997. Identification of differentially expressed mRNAs using the differential display technique, pp. 1-17. In **Workshop on Genome Diversity and Genome Expression in Plants EMBO-Course.** Ledeganckstraat, Netherlands.
- Livak, K.J. and T.D. Schmittgen. 2001. Analysis of relative gene expression data using real-time quantitative PCR and the  $2^{-\Delta\Delta_{CT}}$  method. **Methods** 25: 402 - 408.
- Liu, B., H.J. Bian and J.K. Bao. 2010. Plant lectins: Potential antineoplastic drugs from bench to clinic. **Cancer Lett.** 287: 1-12.

- Liu, W., N. Yang, J. Ding, R. Huang, Z. Hu and D.C. Wang. 2005. Structural mechanism governing the quaternary organization of monocot mannose-binding lectin revealed by the novel monomeric structure of an orchid lectin. **Biol Chem** 15: 14865–14876.
- Liu, X.D., N. Nishi, S. Tokura and N. Sakairi. 2001. Chitosan coated cotton fiber: preparation and physical properties. **Carbohydrate Polymers** 44: 233-238.
- Manickavelu, A., K. Kambarab, K. Mishina and T. Koba. 2007. An efficient method for purifying high quality RNA from wheat pistils colloids and surfaces. **Bull Biointerfaces** 54: 254 - 258.
- Nikolic, T., M. Kostic, J. Praskalo, B. Pejic, Z. Petronijevic and P. Skundric. 2010. Sodium periodate oxidized cotton yarn as carrier for immobilization of trypsin. **Carbohydrate Polymers** 82: 976-981.
- Ooi, L. S. M., S. S. M. SUN, H. Wang and V. E. C. Ooi. 2004. New mannose-binding lectin isolated from the rhizome of Sarsaparilla *Smilax glabra* Roxb. (Liliaceae). **J Agric Food Chem.** 52: 6091-6095.
- Peng, H., H. Lv, Y. Wang , Y. hong Liu, C. yang Li, L. Meng, F. Chen and J. ku Bao. 2009. Clematis montana lectin, a novel mannose-binding lectin from traditional Chinese medicine with antiviral and apoptosis-inducing activities. **Peptides** 30: 1805–1815.
- Peumans, W.J. and E. J. M. Van Damme. 1995. Lectins as plant Defense proteins. **Plant Physiol** 109: 347-352.
- Rüdiger, H. and H. J. Gabius. 2001. Plant lectin: Occurrence, biochemistry, functions and applications. **Glycoconjugate** 18: 589-613.

Saito, K., A. Komae, M. Kakuta, E. J. M. Van Damme, W. J. Peumans and I. J. Goldstein and A. Misaki. 1993. The  $\alpha$ -mannosyl-binding lectin from leaves of the orchid twayblade (*Listera ovata*) Application to separation of  $\alpha$ -D-mannans from  $\alpha$ -D-glucans. **Eur J Biochem.** 217: 677-681.

Sambrook, J., E.F. Fritsch and T. Maniatis. 1989. **Molecular Cloning, A Laboratory Manual.** Cold Spring Harbor Labolatory Press. New York. USA.

Schwede, T., J. Kopp, N. Guex and M. C. Peitsch. 2003. SWISS-MODEL: an automated protein homology-modeling server. **Nucl Acids Res** 31: 3381-3385.

Sharon, N. and H. Lis. 1972. Lectin : cell- agglutinating and sugar- specific protein. **Science** 177: 949-958.

Sharon, N. 1977. Lectins. **Sci American** 236 : 108-119.

Sharon, N. and H. Lis. 1995. Lectins-proteins with a sweet tooth : function in cell recognition. **Essays Biochem** 30: 59 – 75.

Sharon, N. and H. Lis. 2004. History of lectins: from hemagglutinins to biological recognition molecules. **Glycobiol** 14: 53-62.

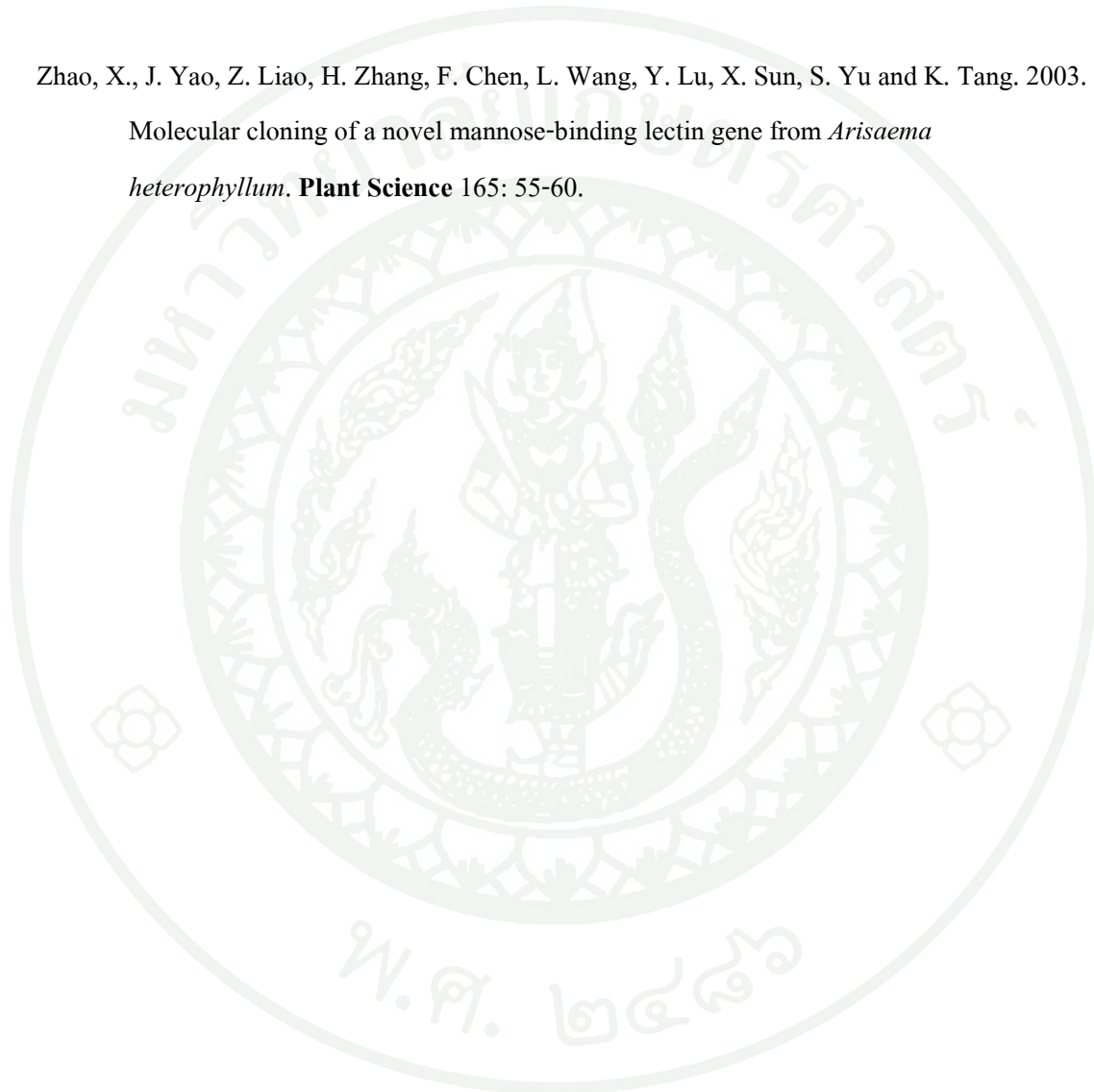
Sharma, A.D., P. K. Gill and P. Singh. 2003. RNA isolation from plant tissue rich in polysaccharides. **Anal Biochem** 314: 319-321.

Surzycki, S. 2000. **Basic Techniques in Molecular Biology.** Springer-Verlag, Berlin, Heidellberg, Germany.

- Salzman, R.A., T. Fujita, K. Zhu-Salzman, P.M. Hasegawa and R.A. Bressan. 1999. An improved RNA isolation method for plant tissues containing high levels of phenolic compounds or carbohydrates. **Plant Mol Biol Rep.** 17: 11 - 17.
- Smeets, K., E. J.M. Van Damme, P. Verhaert, A. Barre, P. Roug'e, F. Van Leuven and W. J. Peumans. 1997. Isolation, characterization and molecular cloning of the mannose-binding lectins from leaves and roots of garlic (*Allium sativum L.*). **Plant Molec Biol** 33: 223–234.
- Van Damme, E. J. M., K. Smeets, S. Torrekens, F. Van Leuven and W. J. Peumans. 1994. Characterization and molecular cloning of mannose-binding lectins from the Orchidaceae species *Listera ovata*, *Epipactis helleborine* and *Cymbidium* hybrid. **Eur J Biochem.** 221: 769-777.
- Van Damme, E. J. M., A. K. Allen and W. J. Peumans. 1987. Leaves of the orchid twayblade (*Listera ovata*) contain a mannose-specific lectin. **Plant Physiol.** 85: 566-569.
- Van Damme, E.J.M., A.K. Allen and W.J. Peumans. 1988. Related mannose-specific lectins from different species of the family of Amaryllidaceae. **Plant Physiol.** 73: 52-57.
- Wanqian, L., W. Bochu, D. Chuanren and L. Biao. 2005. A method for isolating functional RNA from callus of *Dendrobium candidum* contented rich polysaccharides. **Colloids Surfaces B: Biointerfaces** 42: 259 - 262.
- Wang, X., G. Bauw1, E. J.M. Van Damme, W. J. Peumans, Z. L. Chen, M. Van Montagu, G. Angenon and W. Dillen. 2001. Gastrodianin-like mannose-binding proteins: a novel class of plant proteins with antifungal properties. **Plant J** 25(6) :651-661.

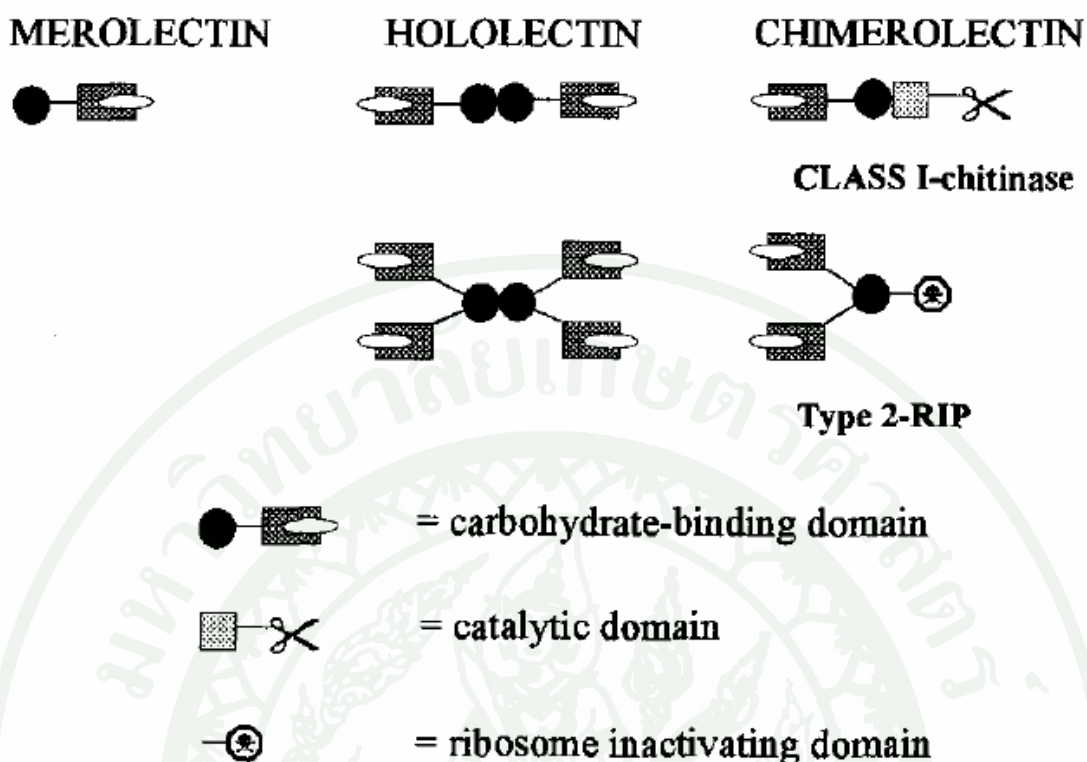
Wood, D.D., L.M. Wright, C.D. Reynolds, P.J. Rizkallah, A.K. Allen, W.J. Peumans and E.J.M. Van Damme. 1999. X-ray structure of the native (unligated) mannose-specific bulb lectin from *Scilla campanulata* (bluebell) at 1.7 Å resolution. **Acta Crystallogr D55:** 1264-1272.

Zhao, X., J. Yao, Z. Liao, H. Zhang, F. Chen, L. Wang, Y. Lu, X. Sun, S. Yu and K. Tang. 2003. Molecular cloning of a novel mannose-binding lectin gene from *Arisaema heterophyllum*. **Plant Science** 165: 55-60.





สิงหนาท มหาวิทยาลัยเกษตรศาสตร์



ภาพผนวกที่ 1 การแสดงโครงสร้างของเลคตินตามโครงสร้างในธรรมชาติ

ที่มา: Peumans and Van Damme (1995)



ภาพพนวกที่ 2 สิงโตสมอหิน (*Bulbophyllum blepharistes* Rchb.f.)

ที่มา: ศรีประไฟ และกมล (2549); ชยพร (2551)



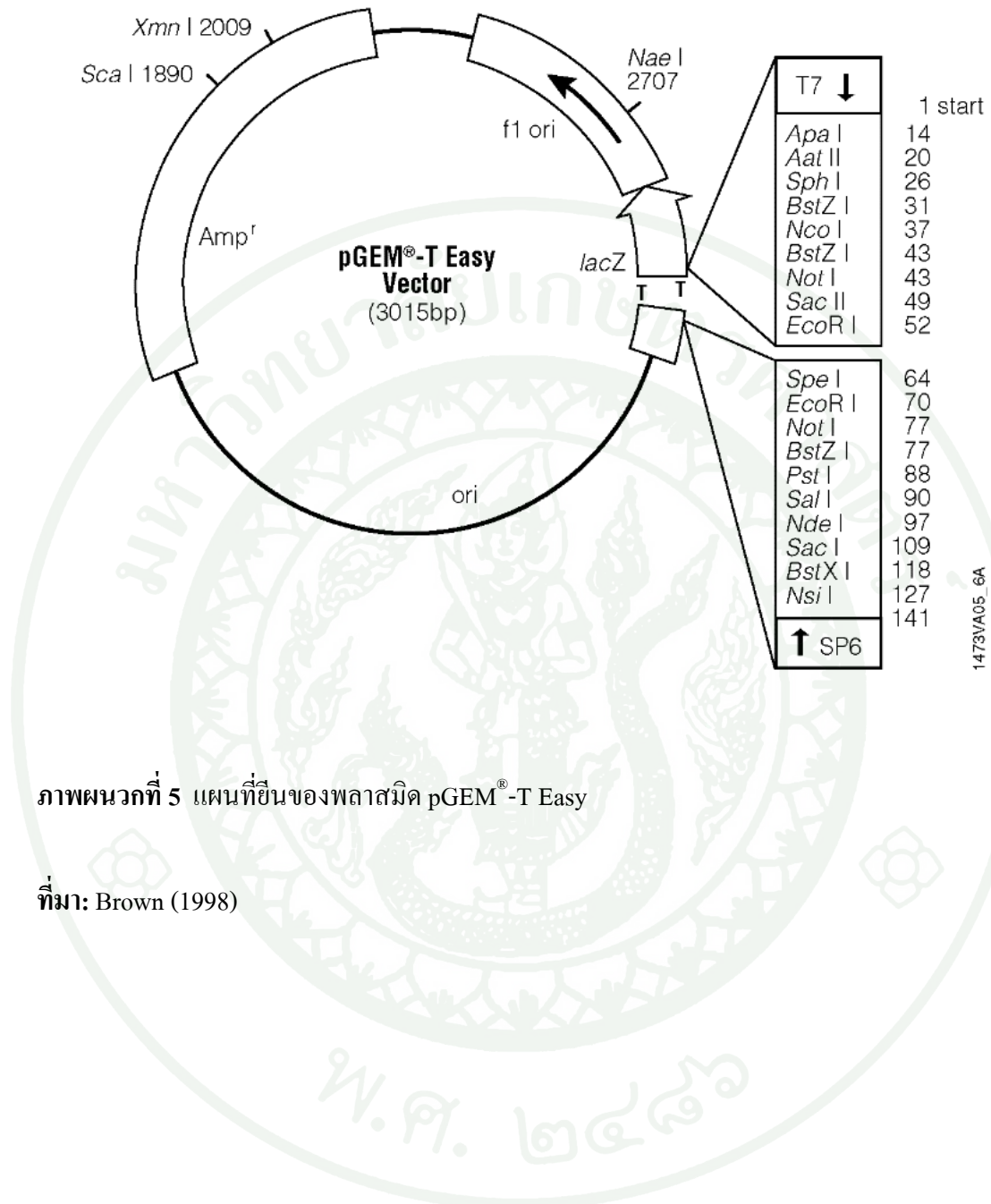
ภาพพนวกที่ 3 สิงโตร่วงขา (*Bulbophyllum morphologorum* Kraenzl.)

ที่มา: เด่น (2551); สารานุกรมไม้ประดับในประเทศไทย เล่ม 1 (2548)



ภาพพนวกที่ 4 สิงโตรวงทอง (*Bulbophyllum orientale* Seidenf.)

ที่มา: ชรินทร์ และนัตรชัย (2552)



ภาพผนวกที่ 5 แผนที่ยืนของพลาสมิด pGEM®-T Easy

ที่มา: Brown (1998)

gi 431097 Listera	VPTKNGFSIMCILLCAASLALLLAIPS-----SGSNTLGGG 36
gi 436825 Epipactis	----MASSIMTLLCAASLTLLLAIPS-----SGDNHLLTG 32
gi 436827 Cymbidium	--MGIFSIIRTLLLCAASLTILLANPSF-----CQCNNHLLSG 36
gi 1141765 Tulipa	SPMALPQSSIAILLIIPТИLGLLAAPSYSRKILSGEKAEPCTPNVLYTG 50
gi 28932747 Crinum	MAR-----NYILLPAAIFGLLLTC-----MAAN---VLYSG 29
gi 33943121 Typhonium	MAPPAKRSLPALLLLVLGALSGPS-----MAVDRGSTLNSN 39
	* : * . . . . .
gi 431097 Listera	ERLNNGESLTEGACVFIMQE DCNLVLY ESSRPTWASGSYHQGSGCYVTLQ 86
gi 436825 Epipactis	QLTTGSLTEGGFTFIMQS DCNLVLY DLRPIWASGTYGKGTGCFLSMQ 82
gi 436827 Cymbidium	ERLNPGQSLTSGNVDLAMQY DCNLVLY DNGKSIWSSGTYGSGSGCYVTLQ 86
gi 1141765 Tulipa	ESLYGGQSLTWESYTFIMQTDCNLVLY EGNGPIWASGSNDLGSGCYVTMQ 100
gi 28932747 Crinum	QALSTGASLSFAAYQFVMQADCNLVLY DNGNPVWASGTONGRGSGCQCRMQ 79
gi 33943121 Typhonium	ASLNTGDYLSVKAYKFIMQE DCNLVLY DAGTAIWSSGTYGRGYGCRC TMQ 89
	* * : * : * * : * . . * : * : * : * : * : * : * : * :
gi 431097 Listera	NDGNLVVYNNRNRAVWASDTVRENIGNVILILQKDHNVVLYS--LPIWA 133
gi 436825 Epipactis	SDGNLVVYDVRNIAIWASN TARNN-GNYLLILQKDRNVIYS--QPIWA 128
gi 436827 Cymbidium	TDGNLVIYDNTNNPLWASNTSGEN-GNYILILQKDRNVIYS--HPIWA 132
gi 1141765 Tulipa	KDGNLVIYSKSGNSVWASQTHQAE-GNYVLVLQKDRNVIY G--PSLWA 146
gi 28932747 Crinum	YDGNLVVYVTSGNRAVWASNTNRGT-GRYQCILQRDRN VVYDPQGRPIWA 128
gi 33943121 Typhonium	DDGNLVVYNSRSEAWSSRTYRAK-GFYILVLQGDRNVIYS-RGAAIWS 137
	* * * : * . . : * : * * : * * : * : * : * : * : * : * : * :
gi 431097 Listera	TGTNRYG-SGV-----VVSPARNGTVGISGAEQNKVSEIV 167
gi 436825 Epipactis	TTTNIRGSAGV-----VIAPALNGTVGVSGAEQNKVSEMT 163
gi 436827 Cymbidium	TGTNHAGSVAV-----VVAARNGTVGISGAEQNKVREIR 167
gi 1141765 Tulipa	TNTDQFS-----LTSNSTTESGSMANEKGIA MVT 176
gi 28932747 Crinum	TGTNVAAS-----NVT LA-----AAAAAHGPTNVTVAALNPAAKTT 166
gi 33943121 Typhonium	TGTYVRGAKPAVIIDDAVLGGRKANPAGAVAGGGKATASGAVAGVEATSA 187
	* * . . . . .
gi 431097 Listera	RIVDVTGSV- 176
gi 436825 Epipactis	NILEVTANV- 172
gi 436827 Cymbidium	KILKIMTDE- 176
gi 1141765 Tulipa	K----- 177
gi 28932747 Crinum	AKTTAAGGN- 175
gi 33943121 Typhonium	GAVAGEGSNN 197

ภาพผนวกที่ 6 multiple alignment ของยีน *lectin* และส่วนอนุรักษ์ในการออกแบบไพรเมอร์  
(••••ไพรเมอร์สำหรับสังเคราะห์ยีนปลาย 3')

gi|431097|Listera  
gi|436825|Epipactis  
gi|436827|Cymbidium

VPTKNGFSIMCILLCAASLALLAIPS--SGSNTLGGGERLNNGESLTEGACVFIMQEDC 58  
---MASSIMTLLLCASLTLLAIPS--SGDNHLLTGQRLTTGSFLTEGGFTFIMQSDC 54  
---MGIFSIIRTLLCAASLTILLANPSFCQCNCNNHLLSGERLNPGQLTSGNVDLAMQYDC 58

\* :\*\*\*\*\*: :\*\*\* \* . . \* \* :\*\*\*..\*. \*\*.\* : \*\* \*\*

gi|431097|Listera  
gi|436825|Epipactis  
gi|436827|Cymbidium

NLVLYESSRPTWASGSYHQGSGCYVTLQNDGNLVVYNNRNRAWWASDTVRENIGNVILIL 118  
NLVLYDLNRPPIWASGTYGKGTGCFLSMQSDGNLVVYDVRNIAIWASNTRNN-GNYLLIL 113  
NLVLYDNGKSIWSSGTYGSGSGCYVTLQTDGNLVIYDNTNNPLWASNNTSGEN-GNYILIL 117

\*\*\*\*\*: . . \*:\*\*\*: \* .:\*\*\*:::\*. \*\*\*: \* \* .:\*\*\*: \* : \* \*\*\* :\*\*\*

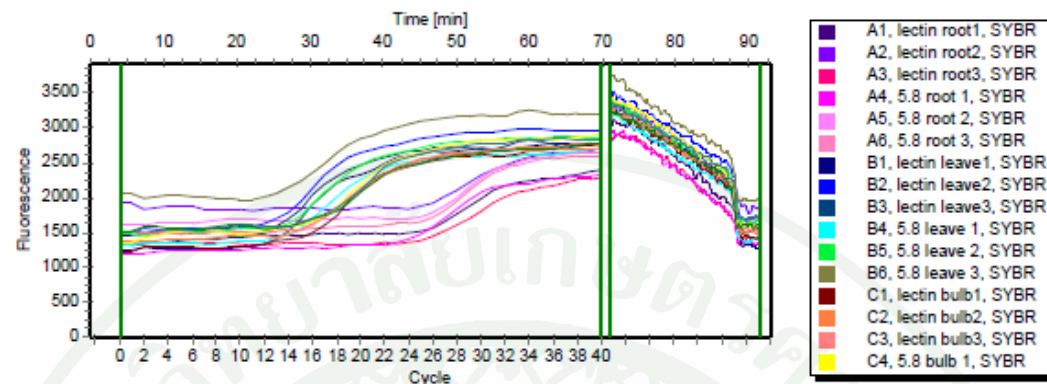
gi|431097|Listera  
gi|436825|Epipactis  
gi|436827|Cymbidium

QKDHNVVLYSLPIWATGTNRYG-SGVVSPARNGTVGISGAEQNKVSEIVRIVDVTGSV 176  
QKDRNVVIYSQPIWATTNIRGSAGVVIAPALNGTVGVSGAEQNKVSEMTNILEVTANV 172  
QKDRNLVIYSHPIWATGTNHAGSVAVVVAARNGTVGISGAEQNKVREIRKILKIMTDE 176

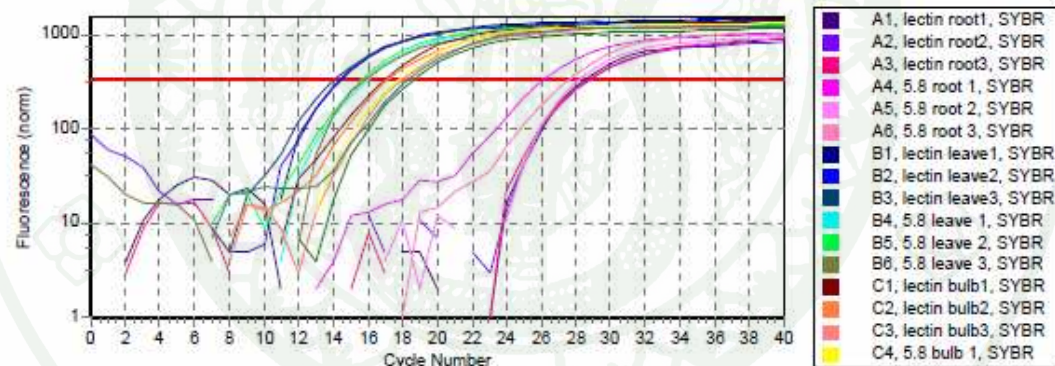
\*\*\*\*\*: \* .:\*\*\*: \* .:\*\*\*: \* .:\*\*\*: \* .:\*\*\*: \* .:\*\*\*: \* .:\*\*\*: .

ภาพผนวกที่ 7 multiple alignment ของเข็ม lectin และส่วนอนุรักษ์ในการออกแบบไพรเมอร์  
 (..... ไพรเมอร์สำหรับสังเคราะห์ยีนปลาย 3', — ไพรเมอร์สำหรับสังเคราะห์  
 ยีนปลาย 5' และ ⇔ คู่ไพรเมอร์สำหรับตรวจสอบการแสวงหา)

ก

**Fluorescence Profile**

ก

**Amplification Plot****ภาพผนวกที่ 8 ข้อมูลคิบท์ได้จากการทำ qPCR**

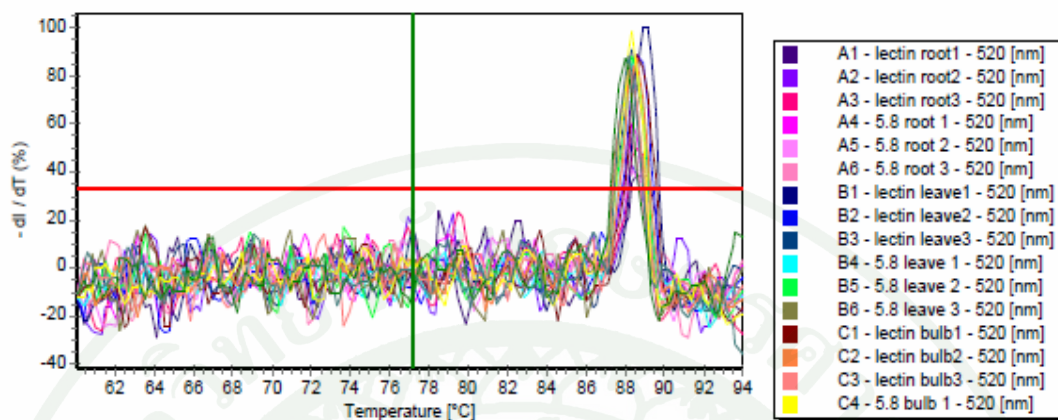
ก. Fluorescent profile

ก. Amplification plot

ก. Melting curve

ค

### Melting curve



### ภาพผนวกที่ 8 (ต่อ)

ตารางผนวกที่ 1 ค่า expression ratio ที่ได้จากการทำ qPCR โดยคำนวณค่าตามวิธีการของ Livak and Schmittgen (2001)

tissue	<i>lectin</i> mean CT	5.8 <i>rRNA</i> mean CT	deltaCT	deltadeltaCT	expression ratio
<i>(B. morphologorum)</i>					
ใบ	14.30	15.78	-1.48	-2.87	7.31
ลำลูกคลื่ว	17.40	18.28	-0.88	-0.27	1.21
ราก	28.67	27.28	1.39	0	1

โดยกำหนดให้

$$\text{deltaCT} = \text{lectin mean CT} - 5.8 \text{ rRNA mean CT}$$

$$\text{deltadeltaCT} = \text{deltaCT} - \text{deltaCT}_{\text{ราก}}$$

$$\text{expression ratio} = 2^{-\text{deltadeltaCT}}$$

ตารางผนวกที่ 2 ค่า expression ratio ที่ได้จากการทำ qPCR

Pos	Name	Ct SYBR	Ct mean SYBR	Expr. Level SYBR	Range SYBR
A1	lectin root1	28.53	28.67		
A2	lectin root2	28.73	28.67		
A3	lectin root3	28.73	28.67		
A4	5.8 root 1	26.13	27.28		
A5	5.8 root 2	28.13	27.28		
A6	5.8 root 3	27.58	27.28		
B1	lectin leave1	14.36	14.30	7.27	6.10-8.67
B2	lectin leave2	14.49	14.30	7.27	6.10-8.67
B3	lectin leave3	14.06	14.30	7.27	6.10-8.67
B4	5.8 leave 1	15.91	15.78		
B5	5.8 leave 2	15.66	15.78		
B6	5.8 leave 3	15.78	15.78		
C1	lectin bulb1	17.02	17.40	4.80	3.01-7.64
C2	lectin bulb2	17.19	17.40	4.80	3.01-7.64
C3	lectin bulb3	17.98	17.40	4.80	3.01-7.64
C4	5.8 bulb 1	17.81	18.28		
C5	5.8 bulb 3	18.34	18.28		
C6	5.8 bulb 3	18.68	18.28		

## ประวัติการศึกษา และการทำงาน

<b>ชื่อ – นามสกุล</b>	นางสาวศิริกาญจน์ กอบเกียรติถวิล
<b>วัน เดือน ปี ที่เกิด</b>	21 กรกฎาคม พ.ศ. 2527
<b>สถานที่เกิด</b>	อำเภอปากพนัง จังหวัดนครศรีธรรมราช
<b>ประวัติการศึกษา</b>	วท.บ. (ชีววิทยา) มหาวิทยาลัยทักษิณ (พ.ศ. 2550)
<b>ตำแหน่งหน้าที่การงานปัจจุบัน</b>	-
<b>สถานที่ทำงานปัจจุบัน</b>	-
<b>ผลงานเด่นและรางวัลทางวิชาการ</b>	-
<b>ทุนการศึกษาที่ได้รับ</b>	ทุนวิจัยมหาบัณฑิต สภ. ประจำปี 2552
<b>ผลงานนำเสนอ</b>	เรื่องเต็มและภาคบรรยายเรื่อง การโคลนยืนเลกตินชนิดใหม่จากกล้วยไม้สกุลสิงโต (Molecular Cloning of a Novel Lectin Gene from Bulbophyllum orchid) งานประชุมวิชาการ พฤกษศาสตร์แห่งประเทศไทย ครั้งที่ 5